

# 港湾技研資料

TECHNICAL NOTE OF  
PORT AND HARBOUR RESEARCH INSTITUTE  
MINISTRY OF TRANSPORT, JAPAN

No. 21

海の波の回折計算法と回折図…………森平倫生・奥山育英

昭和 40 年 11 月

運輸省港湾技術研究所



港 湾 技 研 資 料 No. 21

正 誤 表

場 所	誤	正
1頁 條外	水工部防波堤研究室	水工部防波堤研究室
3頁 右 下から 5 行目	$I_A = (-S_1 + S_2) \sin ky + (W_1 + zW)$	$I_A + (-S_1 + S_2) \sin ky + (W_1 + W_2)$
6頁 右 (29)式	$\arg f(u) = \tan^{-1} \frac{S(u) - C(u)}{1 + C(u) + S(u)}$	$\arg f(u) = \tan^{-1} \frac{C(u) - S(u)}{1 + C(u) + S(u)}$
7頁 左 (36)式	$u^2 = 2 \{\sqrt{(x/L)^2 + (y/L)^2} - y/L\}$	$u^2 = 4 \{\sqrt{(x/L)^2 + (y/L)^2} - y/L\}$
7頁 右 上から 3 行目	点に関するの値	点に関する $u^2$ の値
8頁 左 (39)式	$\sqrt{R_A'^2 I_A'^2}$	$\sqrt{R_A'^2 + I_A'^2}$
9頁 左 下から 16 行目	$K = \sqrt{R^2 + I^2}$	$K = \sqrt{R^2 + I_m^2}$
10頁 右 上から 6 行目	を併用した。	を使用した。
11頁 左 参考文献(1)	were	wave
29頁 みだし	$\frac{B}{L} = 12$	$\frac{B}{L} = 1.2$
附録 1 頁右 (1-6)式	$W_t = \frac{1}{2} [S(ui) - C(ui)]$	$W_t = \frac{1}{2} [S(ui) - C(ui)]$

# “海の波の回折計算法と回折図”

## 目 次

第1章 はじめに .....	1
第2章 回折現象とその理論式 .....	1
第1節 半無限直立防波堤による回折について（防波堤に波が直角に入射する場合） .....	1
第2節 半無限捨石防波堤による回折について（防波堤に波が直角に入射する場合） .....	7
第3章 Digital Computerによる計算方法 .....	9
第4章 計算結果 .....	11
謝辞 .....	11
参考文献 .....	11
附録1 回折の理論式 .....	1
(1) 半無限直立防波堤に任意の角度で波が入射する場合の理論式 .....	1
(2) 防波堤開口部に波が直角に入射する場合の理論式 .....	2
附録2 Fresnel の積分表 .....	4

# 海の波の回折計算法と回折図

森 平倫生\* 奥山 育英\*\*

## 第1章 はじめに

海の波の回折現象は、防波堤、島あるいは岬などで遮蔽された領域に波が入り込む現象をいう。この遮蔽された領域に生じる波高を決めるのに回折図が使用される。これまで作成された海の波の回折図は、その計算手続きの煩雑さのために、Johnson<sup>(1)</sup>, Wegel<sup>(2)</sup>, 掘口<sup>(3)</sup>のように、回折係数の算定範囲が20波長程度にとどまり、防波堤開口部からの回折図のケースも少なく、実際に使用する場合にかなり不便であった。

この資料は、こうした実際に使用するときの不便さをなくすために、半無限防波堤に任意の角度で波が入射する場合と防波堤開口部に直角に入射する場合の、多くの回折図を作成したものである。また、あわせてそのもととなる計算法の詳述も行なつた。なお、計算はすべて港研の Digital Computer, TOSBAC-3123 で行なつた。

回折係数を算定しようとする場合に、Fresnel の積分表が必要となつてくるので、今後ここにかけた範囲外の回折係数を算定しなければならなくなつたときに利用できるよう、この積分表の作成も行なつた。

ここで作成した回折図の範囲ならびにケースは、つぎのとおりである。

### (i) 半無限防波堤による回折図

計算範囲：防波堤端を原点として半径 100 波長までの範囲

ケース：防波堤に対する波の入射角  $\theta$  を  $15^\circ \sim 180^\circ$  まで  $15^\circ$  ごとに 12 ケース

### (ii) 防波堤開口部に波が直角に入射する場合の回折図

計算範囲：防波堤開口部の中心点を原点として、波の進行方向へ 100 波長、防波堤延長方向へ 100 波長の矩形範囲

ケース：防波堤開口幅を 0.5 波長から 10 波長まで 22 ケース

また、ここに作成した Fresnel の積分表は、 $x$  が 0 から 0.01 ごとに 59.99 までのものである。これまでの

Fresnel の積分表<sup>(4)</sup>は、 $x$  が 0 から 0.1 ごとに 8.5 までのもので実際の使用に不便であつた。

なお、防波堤開口部に波が斜めに入射する場合については、確立された計算方法がないため、Blue の重ね合せの原理を拡張して回折図の作成を行つた。しかし、波が防波堤に対してほぼ平行に入射する場合に問題点があつたので、この資料には採用していない。開口部に斜めに波が入射する場合は、仮想開口幅を用いて、波が直角に入射する場合の回折図を適用すれば、実用上充分であることがいわれている。

## 第2章 回折現象とその理論式

海の波の回折も、光や音の回折と同様に、Heyghen's の原理にしたがう。Penney と Price<sup>(5)</sup>(1944) は、Sommerfeld の与えた光の回折に関する解が水波の回折問題の解であることを示した。この理論は、Putnum と Arthur<sup>(6)</sup> (1948) により検証され、Blue と Johnson<sup>(7)</sup> (1949) および Johnson<sup>(8)</sup> (1953) により実験的に検証されている。Sommerfeld の与えた解は、半無限スクリーン端における光波の回折に関するものであり、Penney と Price による解は、長い防波堤端における海の波の回折に関するものである。一方、防波堤開口部からの回折問題の解は、半無限堤に対する 2 つの解を重ね合わせることにより得られることを Blue が示した。この方法による解は厳密ではないが、定性的にはよい解を与えるようである。

左右の防波堤が一直線上にない場合の開口部よりの回折や島堤による回折については、田中清博士が詳細な理論<sup>(9)</sup>を展開している。

ここでは、半無限堤（直立防波堤と捨石防波堤）に直角に波が入射する場合の回折式を厳密解、簡易解について詳述した。半無限堤に波が任意の角度で入射する場合と防波堤開口部に波が直角に入射する場合の回折式の誘導については、附録 1 を参照されたい。

### 第1節 半無限直立防波堤による回折について (防波堤に波が直角に入射する場合)

#### 〔1〕 厳密解について

海の波の回折現象の解はつぎの仮定にもとづいて導び

\* 水工部防堤波研究室

\*\* 設計基準部計算室

かかる。

- (1) 水は理想流体で非圧縮性である。
- (2) 水の運動は非回転で、速度ポテンシャル  $\phi$  は、Laplace の方程式を満足する。

$$\frac{\partial^2 \phi}{\partial x^2} + \frac{\partial^2 \phi}{\partial y^2} + \frac{\partial^2 \phi}{\partial z^2} = 0 \quad \dots \dots \dots (1)$$

ここに、 $x$   $y$  軸は静水面内にあり、 $z$  は鉛直軸を表わす。

- (3) 波高は非常に小さい。
- (4) 水表面  $z = \eta(t)$  における圧力は一定である。
- (5) 表面に垂直な流体速度のコンポーネントは、表面に垂直な面の速度に等しい。
- (6) 固定境界面に垂直な流体速度は 0 である。
- (7) 水深は一定である。

速度ポテンシャル  $\phi$  と水位変動  $\eta$  はつきのようになる。

$$\phi = A e^{ikz} \cosh kh(h+z) \cdot F(x, y) \quad \dots \dots \dots (2)$$

$$\eta = \frac{A i k c}{g} e^{ikz} \cosh kh \cdot F(x, y) \quad \dots \dots \dots (3)$$

したがつて、(4)式に示す Helmholtz の方程式を満足するように、関数  $F(x, y)$  を定めればよいわけである。

$$\frac{\partial^2 F}{\partial x^2} + \frac{\partial^2 F}{\partial y^2} + k^2 F = 0 \quad \dots \dots \dots (4)$$

ここに、 $k = 2\pi/L$ 、 $L$  = 波長、 $c$  = 波速、 $h$  = 水深、 $i = \sqrt{-1}$ 、 $g$  = 重力の加速度である。

防波堤がない場合に  $y$  軸の正方向に進行する波に対し

ては

$$F(x, y) = e^{-iky} \quad \dots \dots \dots (5)$$

である。つぎに仮定(6)によれば、原点から  $x$  軸の正方向に拡がつた直立壁に対しては（図-1 参照）

$$v = -\frac{\partial \phi}{\partial y} = -\frac{\partial F}{\partial y} = 0 \quad \dots \dots \dots (6)$$

$(x \geq 0, y = 0 \text{ のとき})$

となる。

半無限直立防波堤に波が直角に入射する場合の回折現象の解を得るためにには、 $x$   $y$  平面を図-1 に示すように 3 つの領域に分けて考えると都合がよい。 $F(x, y)$  の絶対値と偏角はそれぞれ回折波の波高と位相のずれを決定するから、問題は境界条件(6)式と  $x$  が負の無限遠において(5)式が成立するという条件を満足するように、(4)式の解を見出すことに帰着されるわけである。

(4)式を防波堤の位置  $x \geq 0, y = 0$  において  $\partial F / \partial y = 0$ 、および防波堤端から十分遠方の地点  $x = -\infty$  において、 $F(x, y) = e^{-iky}$  なる条件のもとに解けば(7)式のようになる。

$$\begin{aligned} F(x, y) &= \frac{1}{\sqrt{2}} e^{i(\pi/4 - ky)} \int_{-\infty}^{u_1} e^{-i\pi w^2/2} dw \\ &\quad + \frac{1}{\sqrt{2}} e^{i(\pi/4 + ky)} \int_{-\infty}^{u_2} e^{-i\pi w^2/2} dw \\ &= e^{-iky f(u_1)} + e^{iky g(u_2)} \quad \dots \dots \dots (7) \end{aligned}$$

ここに、

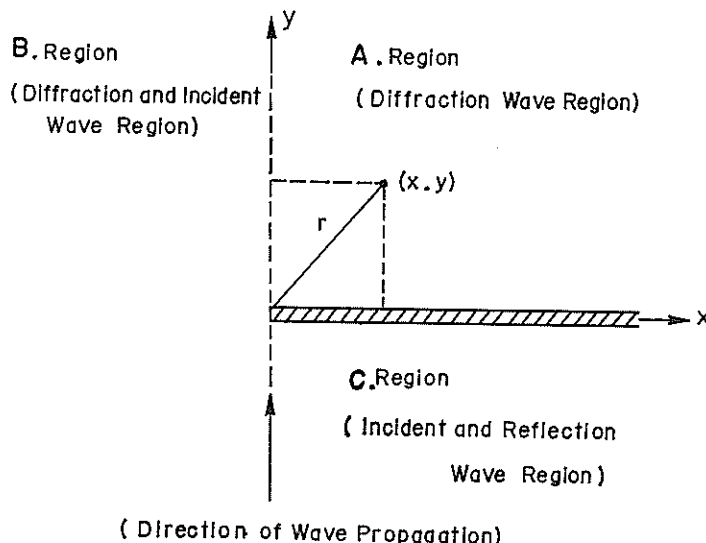


図-1 半無限防波堤に波が直角に入射する場合の回折  
Diffraction from semi-infinite breakwater when waves propagate to breakwater at right angle



$$\begin{aligned}
F(x, y) &= e^{-iky}f(u_1) + e^{iky}g(-u_2) \\
&= e^{-iky}\{1-f(-u_1)\} + e^{iky}g(-u_2) \\
&= (\cos ky - i \sin ky)(1-S_1 - iW_1) \\
&\quad + (\cos ky + i \sin ky)(S_2 + iW_2) \\
&= (1-S_1+S_2)\cos ky + (-W_1-W_2)\sin ky \\
&\quad + i\{(-1+S_1+S_2)\sin ky \\
&\quad + (-W_1+W_2)\cos ky\} \quad \dots \dots \dots (20)
\end{aligned}$$

$$\therefore K = \sqrt{R_E^2 + I_B^2} \quad \dots \dots \dots (21)$$

ここで、

$$R_B = (1-S_1+S_2)\cos ky + (-W_1-W_2)\sin ky$$

$$I_B = (-1+S_1+S_2)\sin ky + (-W_1+W_2)\cos ky$$

である。

### (3) C領域（入射波反射波領域）

この領域においては、 $u_1, u_2$ ともに正であるから、(14)式の関係からつぎのようになる。

$$\begin{aligned}
F(x, y) &= e^{-iky}f(u_1) + e^{iky}g(u_2) \\
&= e^{-iky}\{1-f(-u_1)\} + e^{iky}\{1-g(-u_2)\} \\
&= (\cos ky - i \sin ky)(1-S_1 - iW_1) \\
&\quad + (\cos ky + i \sin ky)(1-S_2 - iW_2) \\
&= (2-S_1-S_2)\cos ky + (-W_1+W_2)\sin ky \\
&\quad + i\{(S_1-S_2)\sin ky + (-W_1-W_2)\cos ky\} \quad \dots \dots \dots (22)
\end{aligned}$$

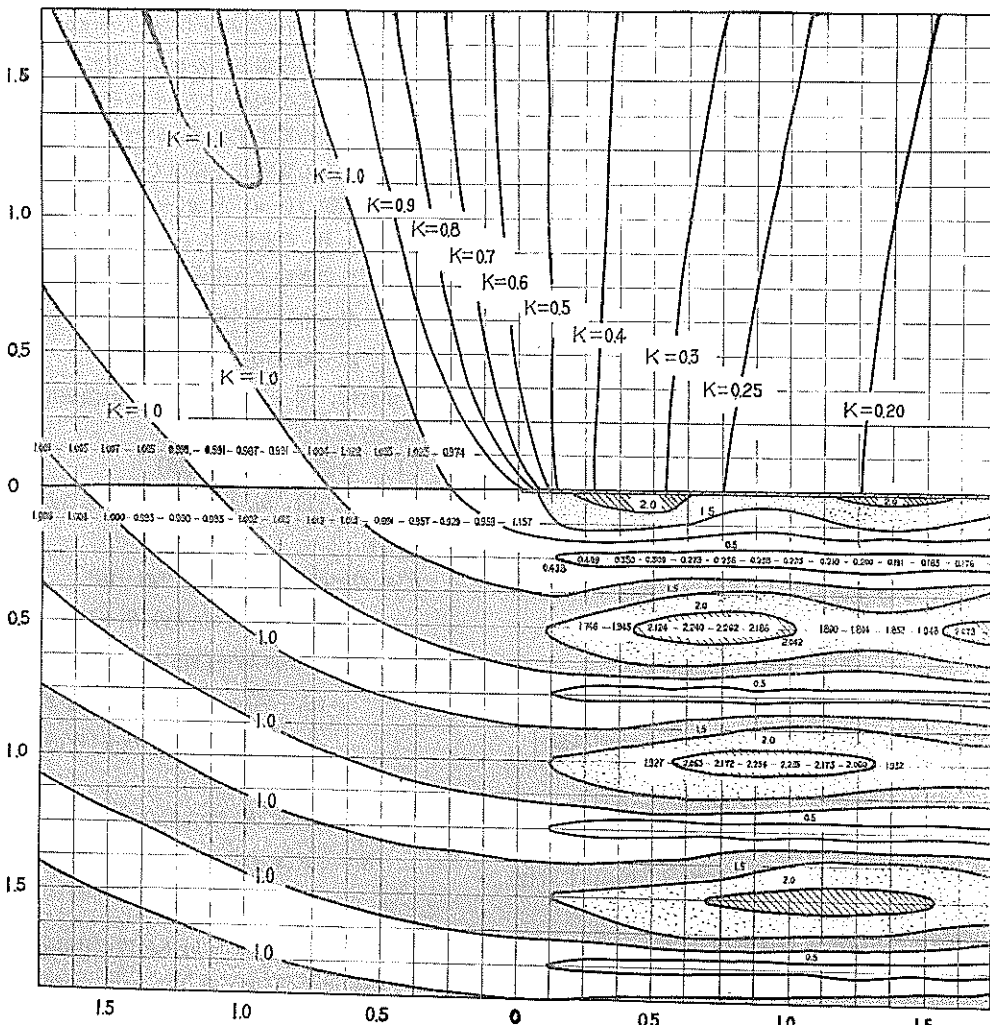


図-2 半無限防波堤による回折図（厳密解）直立防波堤の場合

Diffraction diagram for a single up-right breakwater

Normal incidence (complete solution)

$$\therefore K = \sqrt{R_C^2 + I_C^2} \quad \dots \dots \dots \quad (23)$$

ここに、

$$R_C = (2 - S_1 - S_2) \cos ky + (-W_1 + W_2) \sin ky$$

$$I_C = (S_1 - S_2) \sin ky + (-W_1 - W_2) \cos ky$$

である。

また、 $S_1$ ,  $S_2$ ,  $W_1$ ,  $W_2$  は Fresnel の積分の関数で  
つきのとおりである。

$$\left. \begin{aligned} S_1 &= \frac{1}{2} \{1 - C(u_1) - S(u_1)\} \\ S_2 &= \frac{1}{2} \{1 - C(u_2) - S(u_2)\} \\ W_1 &= \frac{1}{2} \{S(u_1) - C(u_1)\} \\ W_2 &= \frac{1}{2} \{S(u_2) - C(u_2)\} \end{aligned} \right\} \quad (24)$$

(19), (21), (23) 式を使用すれば半無限直立防波堤に波が直角に入射する場合の厳密解を得ることができる。この計算結果を全領域について示したものが図-2である。

この図によれば、直立防波堤からの反射の状態ならびに回折の状態をよく理解することができる。すなわち、防波堤の前面では防波堤を腹として沖側  $1/2$  波長ごとに腹、沖側  $1/4$  波長の地点から  $1/2$  波長ごとに筋が表わされる。

れ、防波堤により遮蔽された領域では回折係数  $K$  は 0.5 以下となつてゐる。

## [2] 簡易解について

Putnum と Arther はこの問題に対する簡易解<sup>(10)(11)</sup>として、(7)式の第2項を無視した形で与えている。これは第2項が回折波領域ではほとんど有効でないことによつたものである。図-3に  $y/L = 1.0$  における簡易解と厳密解の比較を行つた。この図によれば、第2項の影響は実用的には無視できるようである。第2項を無視すれば(7)式は(25)式のようになる。

この簡易解を(5)式と比較すれば、 $f(u)$ の絶対値 $|f(u)|$ は防波堤のない場合の波高に対する防波堤のある場合の波高比を決定する。すなわち、

$$\text{回折係数} = \frac{\text{回折波高}}{\text{入射波高}} = |f(u)| \dots\dots(26)$$

また、(25)式を書きなおせば、(27)式のようになり、回折波の位相は  $-ky + \arg f(u)$  となる。よって、 $-ky + \arg f(u) = \text{const}$  なる曲線が等波密線となる。

$$F(x, y) = e^{-ik(y - \arg f(u)/k)} \cdot |f(y)| \dots (27)$$

この  $f(u)$  の絶対値および偏角は Fresnel の積分から決定できる。何故ならば、

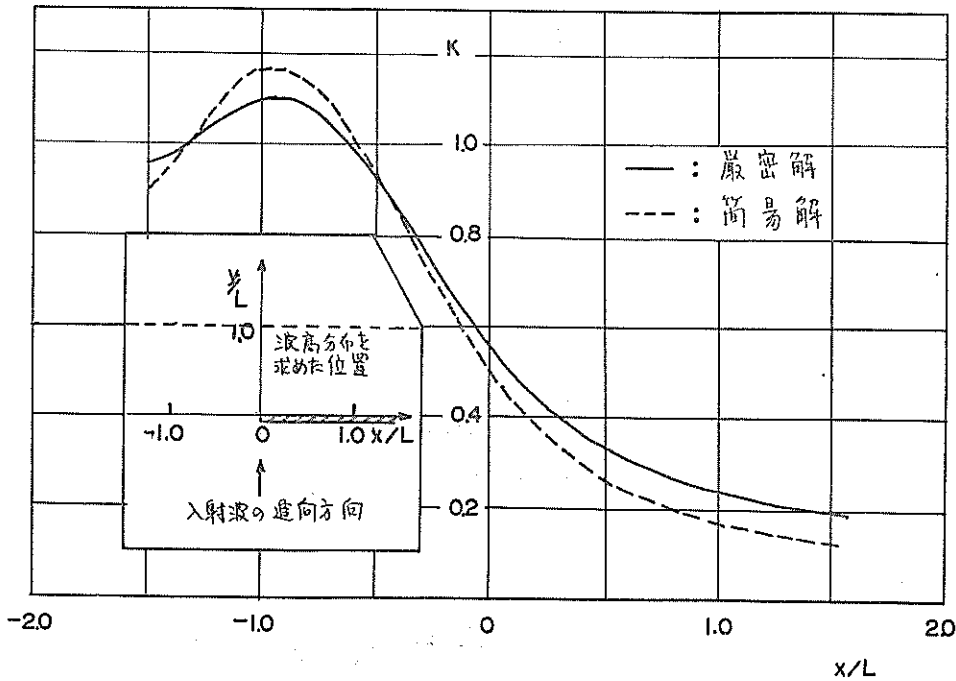


図-3 波が直角に入射する場合の  $y/L = 1.0$  線上における波高分布

Wave height distribution at  $y/L=1.0$  line when waves propagate at right angle

$$C(u) - iS(u) = \int_0^u e^{-i\pi w^2/2} dw, \quad (u > 0) \quad \dots \dots \dots (28)$$

であり、 $f(-u) = 1 - f(u)$  であることはすでに示した。  
 $f(u)$  の絶対値ならびに偏角は  $u$  の正負に対してつぎの  
 ようになる。

$u \geq 0$  のとき

$$\begin{cases} |f(u)| = \frac{1}{2}[1 + 2\{C^2(u) + S^2(u)\} + 2\{C(u) + S(u)\}]^{1/2} \\ \arg f(u) = \tan^{-1} \frac{S(u) - C(u)}{1 + C(u) + S(u)} \end{cases} \quad \dots \dots \dots (29)$$

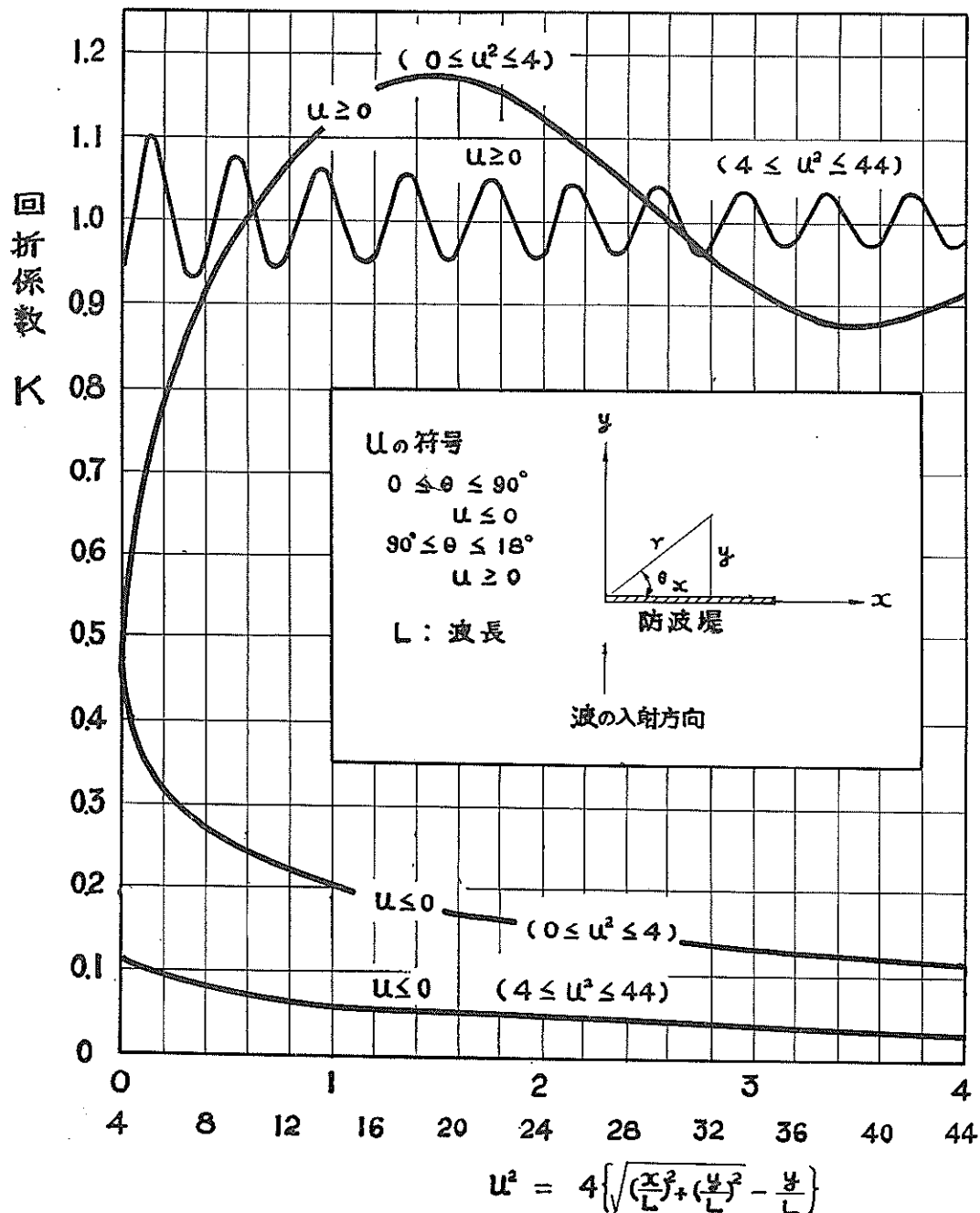


図-4 半無限防波堤による海の波の回折係数算定曲線（簡易解）  
 Diffraction coefficient for a single breakwater-Normal incidence (simplified solution)

$u \leq 0$  のとき

$$\begin{cases} |f(u)| = \frac{1}{2} [1 + 2\{C^2(u) + S^2(u)\} - 2\{C(u) + S(u)\}]^{1/2} \\ \arg f(u) = \tan^{-1} \frac{S(u) - C(u)}{1 - C(u) - S(u)} \end{cases} \quad (30)$$

この簡易解に対する解を厳密解のとき示した同じ表示方法をとればつぎのようになる。 $f(-u) = S + iW$  とおくと

$u \geq 0$  のとき

$$F(x, y) = e^{-iky} \{(1-S) + i(-W)\} \quad (31)$$

$u \leq 0$  のとき

$$F(x, y) = e^{-iky} (S + iW) \quad (32)$$

ここに、 $S, W$  はすでに(24)式に示したように Fresnel の積分の関数である。

よって、簡易解による回折係数はつぎのようになる。

$u \leq 0$  のとき（回折波領域）

$$K = \sqrt{S^2 + W^2} \quad (34)$$

$u \geq 0$  のとき（入射波回折波領域）

$$K = \sqrt{(1-S)^2 + W^2} \quad (35)$$

ここに、

$$w^2 = 2 \{ \sqrt{(x/L)^2 + (y/L)^2} - y/L \} \quad (36)$$

である。

図-4 は簡易解による回折係数算定曲線を示したもの

である。この図を使用して回折係数を算出するには、つぎの手順によればよい。まず回折係数を求めようとする点に関する値を(36)式で算出し、求めようとする点が回折波領域にあるか入射波領域にあるかによって  $u$  の符号を決定し、それに応じた曲線を使用すればよい。なおこの図において  $u \leq 0$  の曲線は振幅の非常に小さい振動を持つているが、ほとんど無視できるくらい小さいので図には滑らかな曲線として示している。図において明らかなように、 $y$  軸上の正の部分においては、 $x=0$  であるから、 $w^2=0$  となり、回折係数は 0.5 と一定となる。また、図-5 はこの方法による回折図を示したものである。

## 第2節 半無限捨石防波堤による回折について

(防波堤に波が直角に入射する場合)

### (1) 厳密解について

捨石防波堤による回折現象の解は田中博士によればつぎのようである。捨石防波堤を、防波堤からの反射の全然ない理想化された防波堤と考え、防波堤前面で  $\eta=0$  という条件を用いて(4)式を解き(37)式のような解を得ている。

$$\begin{aligned} F(x, y) &= \frac{1}{\sqrt{2}} e^{i(\pi/4 - ky)} \int_{-\infty}^{u_1} e^{-i\pi w^2/2} dw \\ &\quad - \frac{1}{\sqrt{2}} e^{i(\pi/4 + ky)} \int_{-\infty}^{u_2} e^{-i\pi w^2/2} dw \\ &= e^{-iky} f(u_1) - e^{-iky} g(u_2) \end{aligned} \quad (37)$$

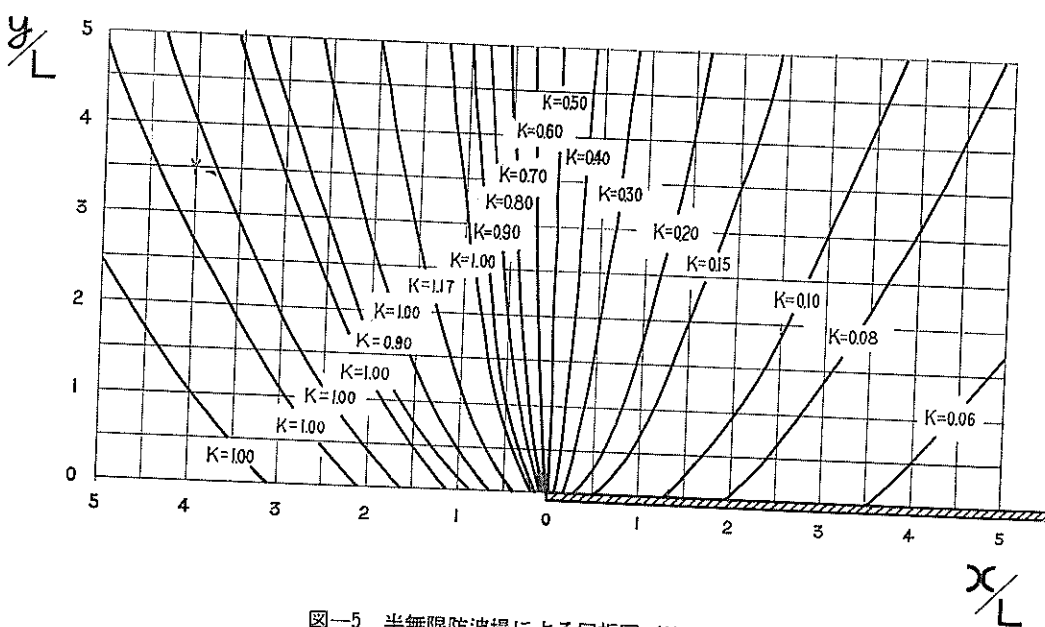


図-5 半無限防波堤による回折図（簡易解）  
Diffraction diagram for a single breakwater-Normal incidence (simplified solution)

直立防波堤の場合と同様な演算を行なえば、回折係数  $K$  はつぎのようになる。

(1) A領域(回折波領域)

$$\begin{aligned} F(x, y) &= (S_1 - S_2) \cos ky + (W_1 + W_2) \sin ky \\ &\quad + i\{(-S_1 - S_2) \sin ky + (W_1 - W_2) \cos ky\} \\ &= R_A' + iI_A' \end{aligned} \quad (38)$$

$$\therefore K = |F(x, y)| = \sqrt{R_A'^2 + I_A'^2} \quad (39)$$

(2) B領域(回折波入射波領域)

$$\begin{aligned} F(x, y) &= (1 - S_1 - S_2) \cos ky + (-W_1 + W_2) \sin ky \\ &\quad + i\{(-1 + S_1 - S_2) \sin ky \\ &\quad + (-W_1 - W_2) \cos ky\} \end{aligned}$$

$$= R_B' + iI_B' \quad (40)$$

$$\therefore K = |F(x, y)| = \sqrt{R_B'^2 + I_B'^2} \quad (41)$$

(3) C領域(入射波領域)

$$\begin{aligned} F(x, y) &= (-S_1 + S_2) \cos ky + (-W_1 - W_2) \sin ky \\ &\quad + i\{(-2 + S_1 + S_2) \sin ky \\ &\quad + (-W_1 + W_2) \cos ky\} \\ &= R_C' + iI_C' \end{aligned} \quad (42)$$

$$\therefore K = \sqrt{R_C'^2 + I_C'^2} \quad (43)$$

得られた(38), (39), (40)式を使用して、半無限捨石防波堤による回折図を作成したものが図-6に示されている。この図によれば、防波堤前面水域で防波堤からの

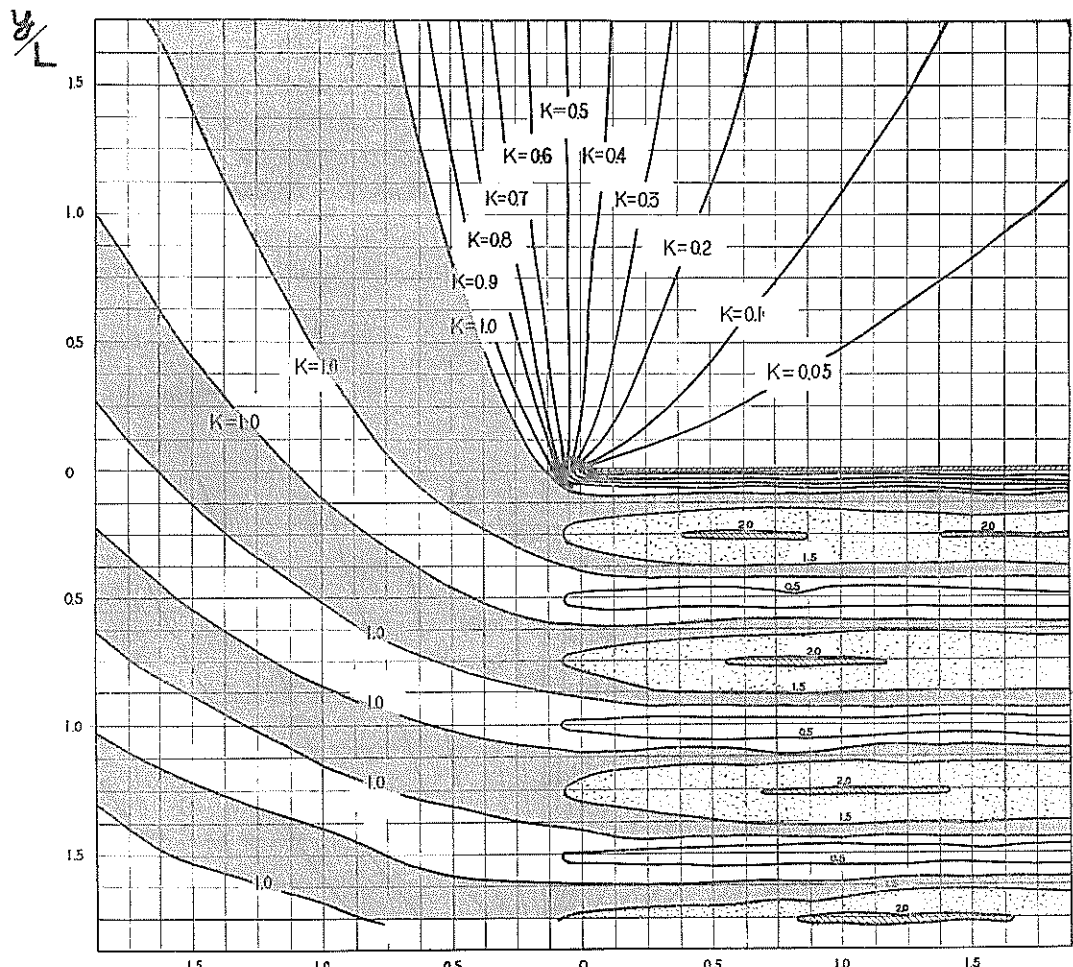


図-6 半無限防波堤による回折図(厳密解)

捨石防波堤の場合

Diffraction diagram for a single rubble mound breakwater-  
Normal incidence (complete solution)

反射の影響が表われていて、防波堤からの反射波のない捨石防波堤の解として不適当である。これは、 $\eta=0$  なる境界条件が、防波堤からの反射波がないことを表わしていないことを物語るものである。

しかしながら、すでに図-3に示したように、防波堤からの反射波を表わす  $g(u)$  項の回折波領域に与える影響の小さいことを考えれば、捨石防波堤の場合でも、直立防波堤による回折図を使用すれば実用上さしつかえないと考えてよい。

### 第5章 Digital Computer による計算方法

前章や附録-1に示した理論式で回折係数が求まる。この計算はすべて Digital Computer, TOSBAC-3123 で行なつた。回折係数を求めるプログラムに関しては、Fresnel の積分をのぞいてはそのままプログラムすればよい。ここでは、一本直立防波堤に波が斜めに入射する場合のプログラムの内容と Fresnel の積分の数値計算法を示す。

#### 第1節 半無限直立防波堤に波が斜めに入射する場合の回折計算（波が斜めに入射する場合）

防波堤に波長  $L$  の波が  $\theta$  の角度で入射するとき、ある点  $X(r, \theta)$  の回折係数は

$$K = \sqrt{R^2 + I^2}$$

である。ここに、 $R_e, I_m$  はある点  $X(r, \theta)$  が A 領域 ( $\theta > \theta$ ) のとき

$$R_e = S_1 \cos \alpha + W_1 \sin \alpha + S_2 \cos \beta + W_2 \sin \beta$$

$$I_m = -S_1 \sin \alpha + W_1 \cos \alpha - S_2 \sin \beta + W_2 \cos \beta$$

であり、B 領域 ( $\theta \leq \theta$ ) のとき

$$R_e = \cos \alpha - S_1 \cos \alpha - W_1 \sin \alpha + S_2 \cos \beta + W_2 \sin \beta$$

$$I_m = -\sin \alpha + S_1 \sin \alpha - W_1 \cos \alpha - S_2 \sin \beta + W_2 \cos \beta$$

である。ここに

$$\alpha = 2\pi R \cos(\theta - \Theta)$$

$$\beta = 2\pi R \cos(\theta + \Theta)$$

$$S_1 = \frac{1}{2} \{1 - C(u_1) - S(u_1)\}$$

$$S_2 = \frac{1}{2} \{1 - C(u_2) - S(u_2)\}$$

$$W_1 = \frac{1}{2} \{S(u_1) - C(u_1)\}$$

$$W_2 = \frac{1}{2} \{S(u_2) - C(u_2)\}$$

$$u_1 = \left| \sqrt{8R} \sin \frac{\theta - \Theta}{2} \right|$$

$$u_2 = \left| -\sqrt{8R} \sin \frac{\theta + \Theta}{2} \right|$$

$$R = \frac{r}{L}$$

である。 $C(u), S(u)$  は Fresnel の積分

$$C(u) = \int_0^u \cos \frac{\pi}{2} w^2 dw$$

$$S(u) = \int_0^u \sin \frac{\pi}{2} w^2 dw$$

である。

以上の計算式により、 $R, \Theta, \theta$  を与えて、 $K$  を求め るサブルーチンを作成した。ブロックチャートを図-7 に示す。

#### 第2節 Fresnel 積分の計算

Fresnel 積分は、初等関数では表わされないことが証明されている。ここではこの計算に用いた数値計算法を示す。

(i)  $x$  が充分大きいとき ( $x > 5$ )

$$S(x) = \int_0^x \sin \frac{\pi}{2} x^2 dx$$

$$= \int_0^\infty \sin \frac{\pi}{2} x^2 dx - \int_x^\infty \sin \frac{\pi}{2} x^2 dx$$

$$= \frac{1}{2} - \int_x^\infty \sin \frac{\pi}{2} x^2 dx$$

$$C(x) = \int_0^x \cos \frac{\pi}{2} x^2 dx$$

$$= \int_0^\infty \cos \frac{\pi}{2} x^2 dx - \int_x^\infty \cos \frac{\pi}{2} x^2 dx$$

$$= \frac{1}{2} - \int_x^\infty \cos \frac{\pi}{2} x^2 dx$$

である。また部分積分を用いることにより、

$$\begin{aligned} \int_x^\infty \frac{1}{w^n} \sin \frac{\pi}{2} w^2 dw &= \frac{1}{\pi} \left\{ \frac{1}{x^{n+1}} \cos \frac{\pi}{2} x^2 \right. \\ &\quad \left. - (n+1) \int_x^\infty \frac{1}{w^{n+2}} \cos \frac{\pi}{2} w^2 dw \right\} \end{aligned}$$

$$\begin{aligned} \int_x^\infty \frac{1}{w^n} \cos \frac{\pi}{2} w^2 dw &= \frac{1}{\pi} \left\{ \frac{1}{x^{n+1}} \sin \frac{\pi}{2} x^2 \right. \\ &\quad \left. + (n+1) \int_x^\infty \frac{1}{w^{n+2}} \sin \frac{\pi}{2} w^2 dw \right\} \end{aligned}$$

をうる。この式に  $n=0, 2, 4, 6, 8, 10$  を逐次代入して整理するとつきのようになる。

$$\begin{aligned} \int_x^\infty \sin \frac{\pi}{2} w^2 dw &= \cos \frac{\pi}{2} x^2 \left\{ \frac{1}{\pi x} - \frac{3}{\pi^3 x^5} + \frac{3 \cdot 5 \cdot 7}{\pi^5 x^9} \right\} \\ &\quad + \sin \frac{\pi}{2} x^2 \left\{ \frac{1}{\pi^2 x^3} - \frac{3 \cdot 5}{\pi^4 x^7} + \frac{3 \cdot 5 \cdot 7 \cdot 9}{\pi^6 x^{11}} \right\} - e_1 \end{aligned}$$

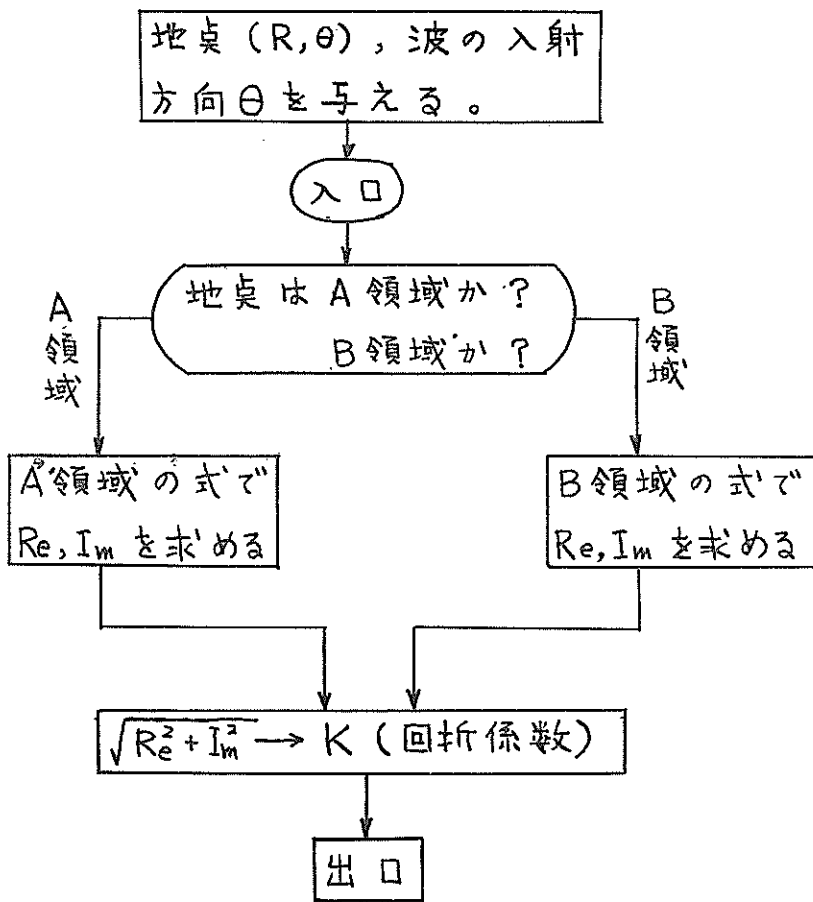


図-7 プロツクチャート

$$\int_x^\infty \cos \frac{\pi}{2} w^2 dw = \sin \frac{\pi}{2} x^2 \left\{ -\frac{1}{\pi x} + \frac{3}{\pi^3 x^5} - \frac{3 \cdot 5 \cdot 7}{\pi^5 x^9} \right. \\ \left. + \cos \frac{\pi}{2} x^2 \left\{ \frac{1}{\pi^2 x^3} - \frac{3 \cdot 5}{\pi^4 x^7} + \frac{3 \cdot 5 \cdot 7 \cdot 9}{\pi^6 x^{11}} \right\} - \varepsilon_2 \right\}$$

ここに、

$$\varepsilon_1 = \frac{3 \cdot 5 \cdot 7 \cdot 9 \cdot 11}{\pi^6} \int_x^\infty \frac{1}{w^{12}} \sin \frac{\pi}{2} w^2 dw$$

$$\varepsilon_2 = \frac{3 \cdot 5 \cdot 7 \cdot 9 \cdot 11}{\pi^6} \int_x^\infty \frac{1}{w^{12}} \cos \frac{\pi}{2} w^2 dw$$

である。

ここで、 $\varepsilon_1$ ,  $\varepsilon_2$  を考えてみると

$$|\varepsilon_1| = \left| \frac{3 \cdot 5 \cdot 7 \cdot 9 \cdot 11}{\pi^6} \int_x^\infty \frac{1}{w^{12}} \sin \frac{\pi}{2} w^2 dw \right| \\ < \frac{3 \cdot 5 \cdot 7 \cdot 9 \cdot 11}{\pi^6} \int_x^\infty \frac{1}{w^{12}} dw = \frac{3 \cdot 5 \cdot 7 \cdot 9}{\pi^6 x^{11}}$$

$$|\varepsilon_2| < \frac{3 \cdot 5 \cdot 7 \cdot 9}{\pi^6 x^{11}}$$

である。よって、 $x > 5$  のとき、 $|\varepsilon_1|$ ,  $|\varepsilon_2|$  ともに  $10^{-7}$  より小となるから、 $x > 5$  の場合の数値計算では  $\varepsilon_1$ ,  $\varepsilon_2$  の項を無視した。

(ii)  $x$  が小さいとき ( $x \leq 5$  のとき)

$S(x)$ ,  $C(x)$  は、 $x \leq 5$  の範囲では変動がそれほどはげしくないので、定積分の近似公式を併用した。使用した近似公式はシンプソン公式で、0.01 毎に積分を行なつた。分点は、最終的には sin, cos の誤差をも入れねばならないのであるが、1つの巾で  $10^{-9}$  におさえるようにきめた。したがつて、 $0 \leq x \leq 4$  の範囲では2等分に、 $4 \leq x \leq 5$  の範囲では4等分にして公式を使用した。

以上の方針で 0.1 每の積分値を表にして Computer のメモリーにしまつておき、例えば、 $x=3.87654\dots$  の  $S(x)$ ,  $C(x)$  を求めるときには、 $x=3.8$  の値を表からひきだし、その積分値に 3.8 と 3.87654\dots との間の積

分値を計算して加えることにより、演算時間の短縮を行なつた。

## 第4章 計 算 結 果

半無限防波堤による回折図を図-8～図-19に示す。これらの図には使用に便利なように、10波長までの範囲と100波長までの範囲をそれぞれ示している。

また、防波堤開口部による回折図を、図-20～図-41に示している。これらの図においても、半無限堤の場合と同じように、10波長までの範囲と100波長までの範囲をそれぞれ示している。

### 謝 辞

この資料作成にあたり、有益な助言をいただいた伊藤喜行防波堤研究室長ならびに合田良実模型試験課長に深甚なる謝意を表するとともに、計算の実施、回折図の作成にあたり、協力いただいた竹田英章技官、北畠正記技官に深甚なる謝意を表するものである。

- (1) Johnson, J. W. : "Generalized wave diffraction diagrams", Proceedings of First Conference on Coastal Engineering, 1951.
- (2) Wiegel, R. L. : "Diffraction of waves by semi-

infinite breakwater", Proc. A. S. C. E. Vol. 88, No. HY1, Part, 1962.

- (3) 堀口孝男：“波浪調査法” 港湾技術要報 No. 5, 1953年8月
- (4) 数学ハンドブック編集委員会編：“理工学のための数学ハンドブック” pp. 489～490, 1960.
- (5) Penny-Price : "Diffraction of sea waves by breakwaters", Artificial Harbours, Dire. Misc. Weapon Develop. Tech. His. No. 26, 1944.
- (6) Putnum-Arthur : "Diffraction of water waves by breakwaters", Trans. AGU. Vol. 29, No. 4, 1948.
- (7) Blue-Johnson : "Diffraction of water waves passing through a breakwater gap", Trans. AGU. Vol. 30, No. 5, 1949.
- (8) Johnson, J. W. : "Engineering aspects of diffraction and refraction", Proc. A.S.C.E. Vol. 118, 1953.
- (9) 田中清：“海岸と港湾の問題” 応用水理学中 II. pp. 529～538, 1958.
- (10) 前出の(6)
- (11) 前出の(7)

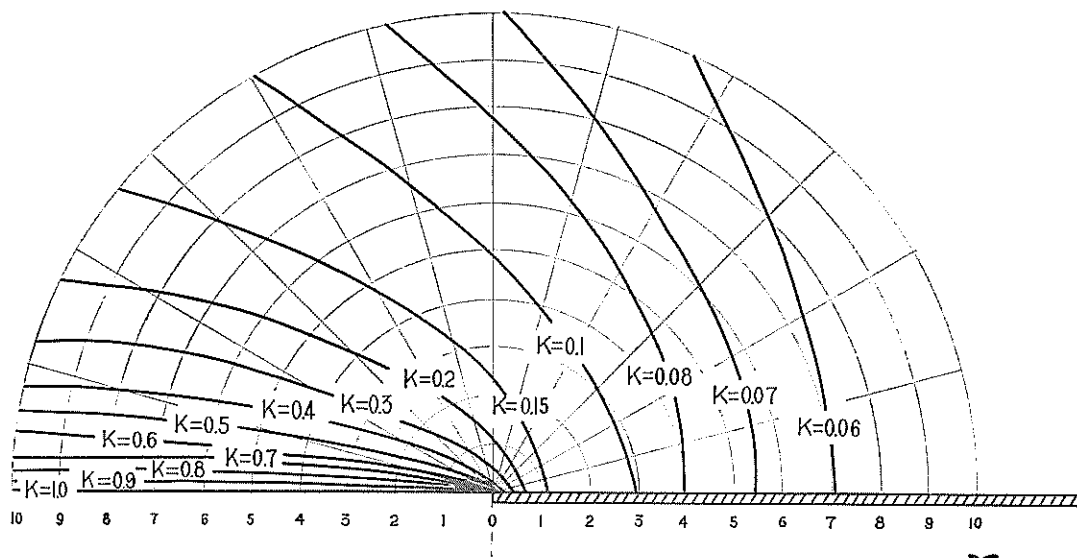
(昭和40年8月17日受付)

図-8 半無限波堤による回折図

Diffraction diagram for a single breakwater

(direction of wave propagation  $\Theta=180^\circ$ )

$$r/L = 0 \sim 10$$

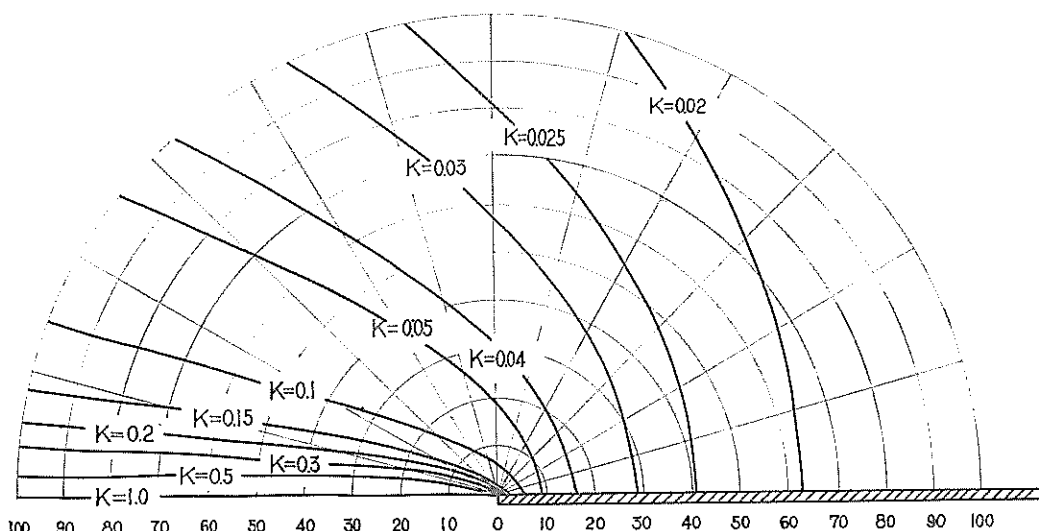


$r/L$

←

DIRECTION OF WAVE PROPAGATION

$$r/L = 0 \sim 100$$



$r/L$

←

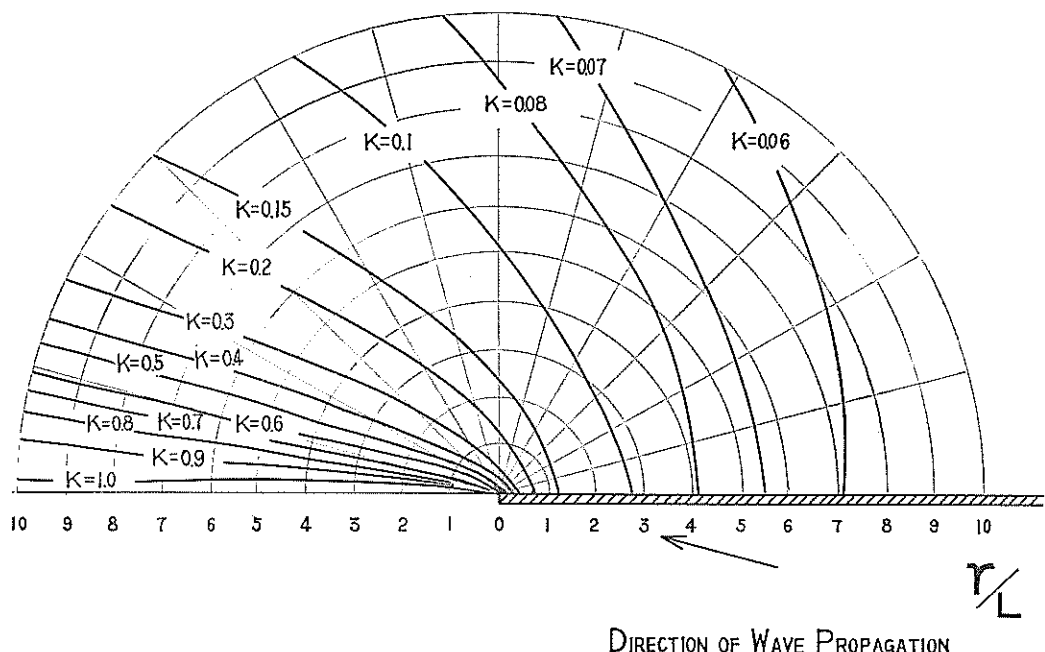
DIRECTION OF WAVE PROPAGATION

図-9 半無限防波堤による回折図

Diffraction diagram for a single break water

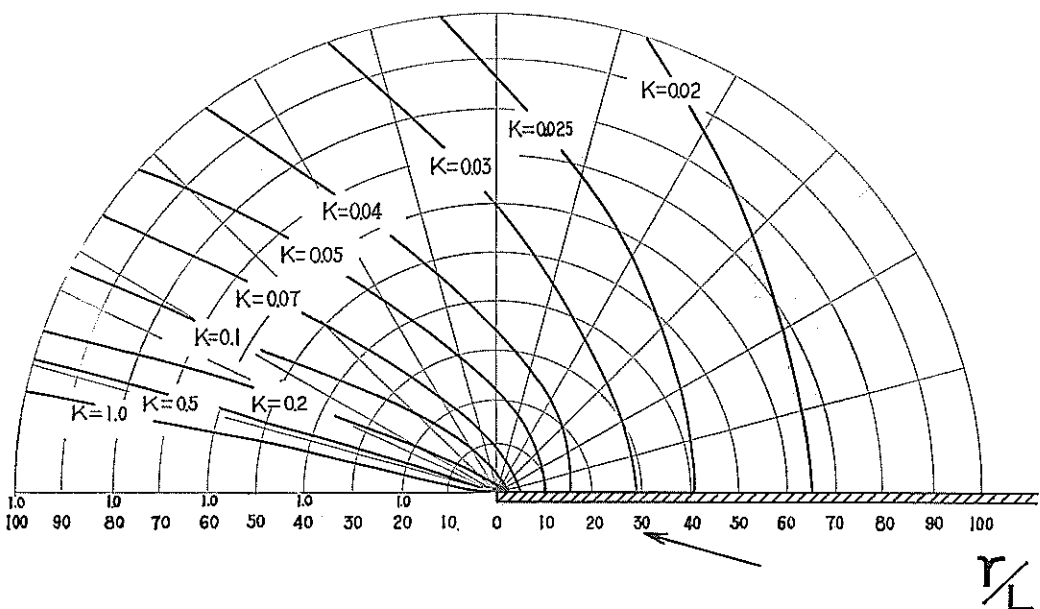
(direction of wave propagation  $\Theta=165^\circ$ )

$$r/L = 0 \sim 10$$



DIRECTION OF WAVE PROPAGATION

$$r/L = 0 \sim 100$$



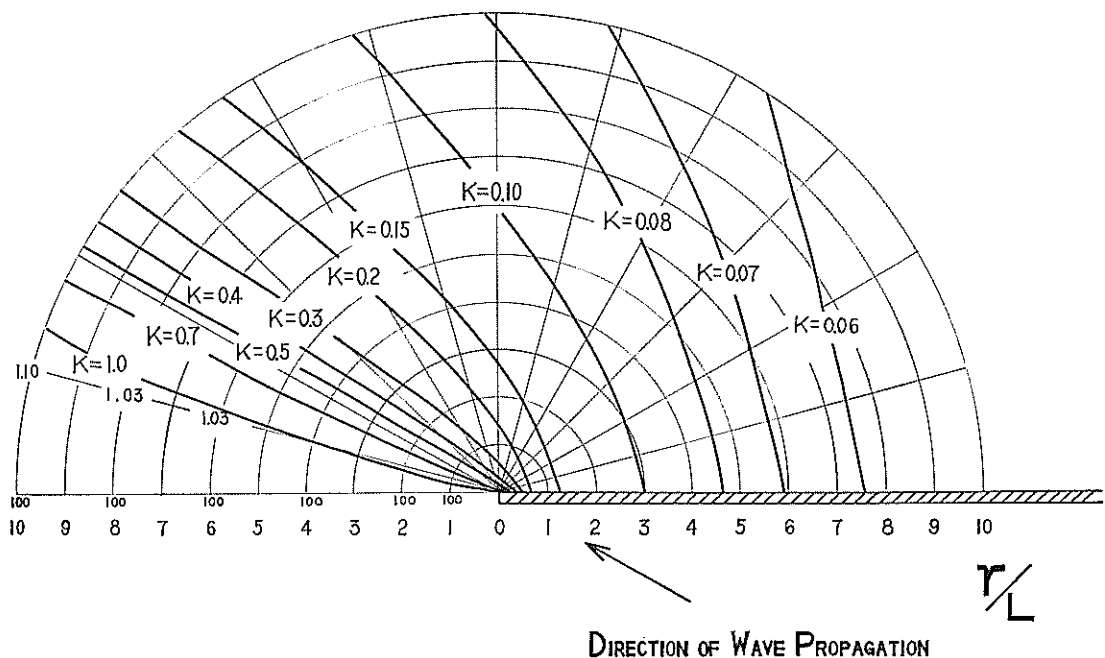
DIRECTION OF WAVE PROPAGATION

図-10 半無限防波堤による回折図

Diffraction diagram for a single breakwater

(direction of wave propagation  $\theta=150^\circ$ )

$$r/L = 0 \sim 10$$



$$r/L = 0 \sim 100$$

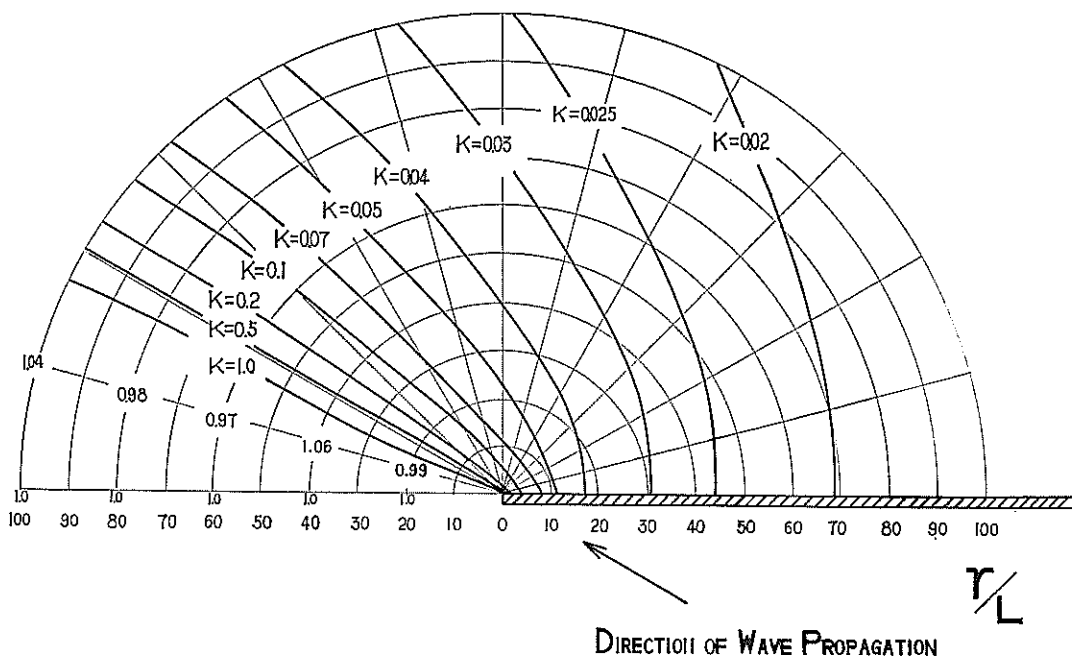
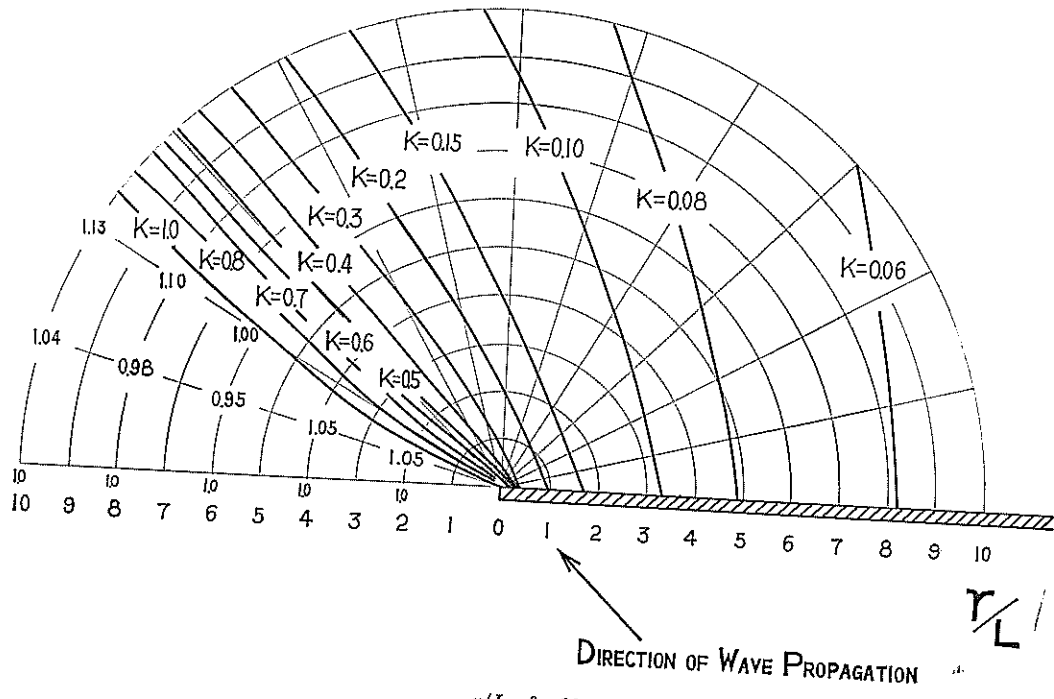


図-11 半無限防波堤による回折図

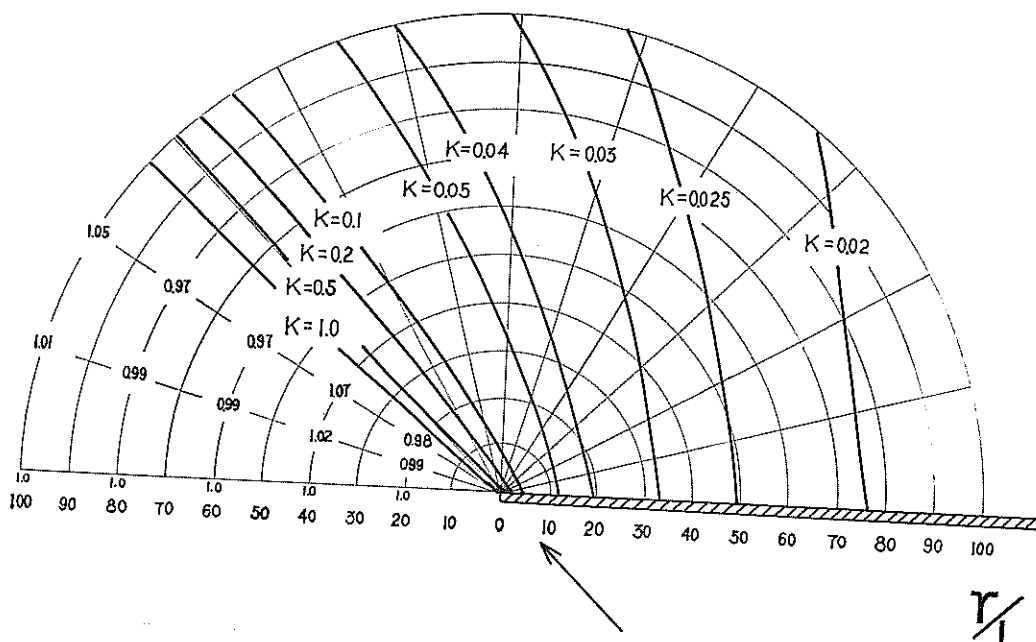
Diffraction diagram for a single break water  
(direction of wave propagation  $\Theta=135^\circ$ )

$r/L=0 \sim 10$



DIRECTION OF WAVE PROPAGATION

$r/L=0 \sim 100$



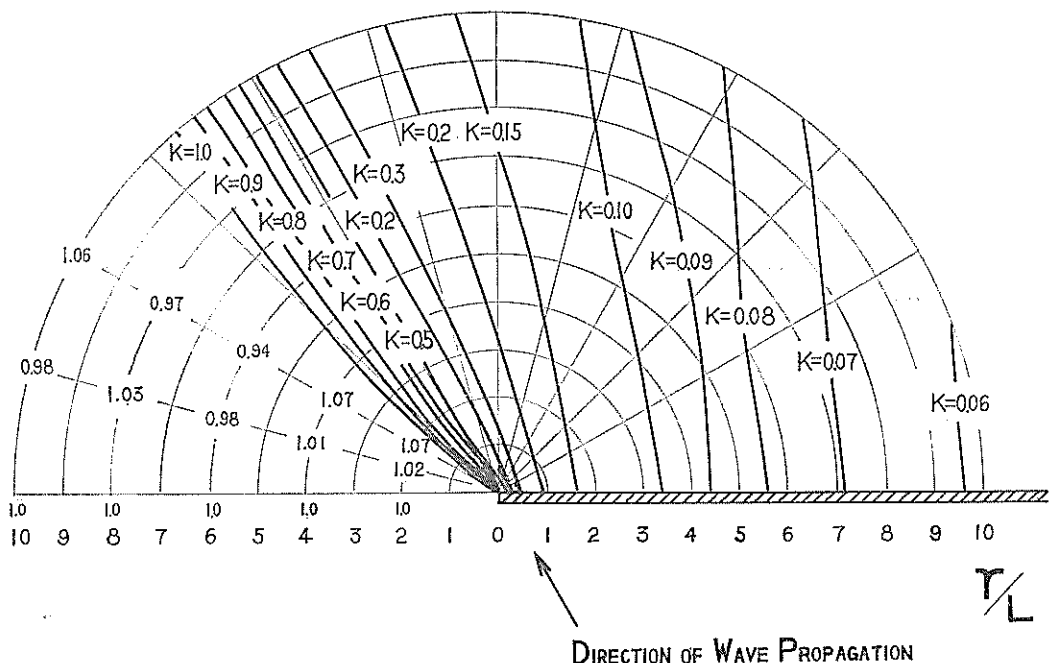
DIRECTION OF WAVE PROPAGATION

図-12 半無限防波堤による回折図

Diffraction diafram for a single breakwater

(direction of wave propagation  $\Theta=120^\circ$ )

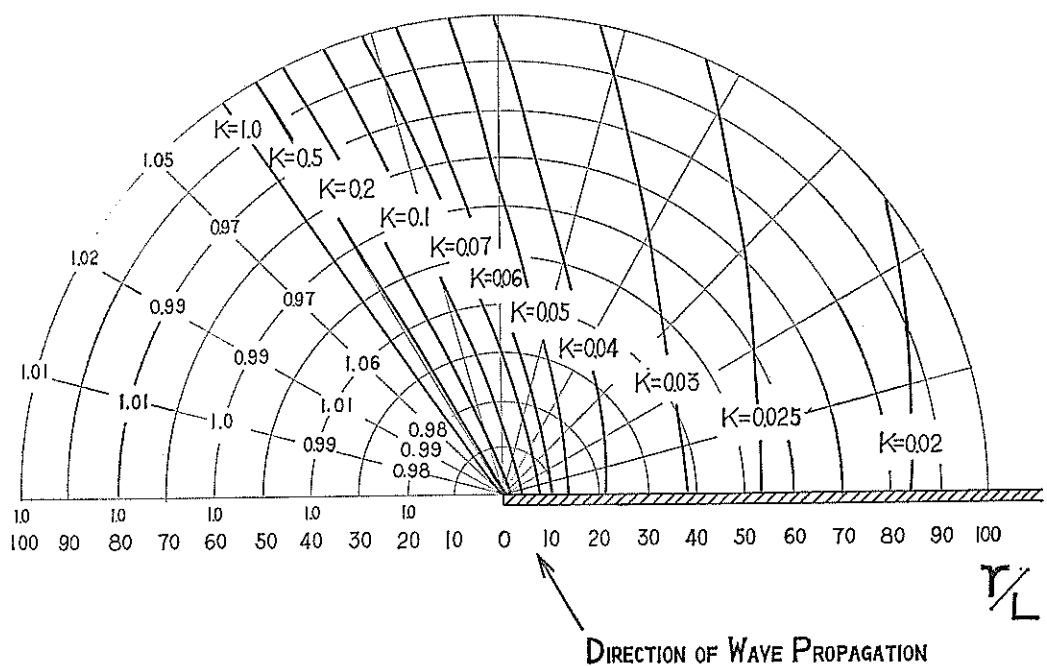
$r/L=0 \sim 10$



T  
L

DIRECTION OF WAVE PROPAGATION

$r/L=0 \sim 100$



T  
L

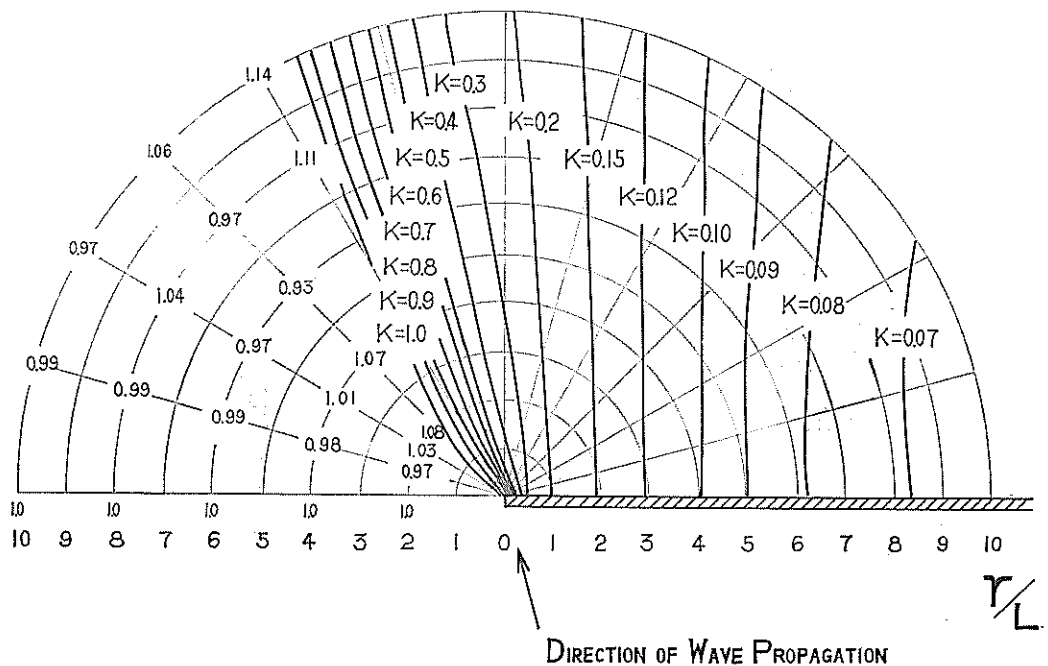
DIRECTION OF WAVE PROPAGATION

図-13 半無限防波堤による回折図

Diffraction diagram for a single break water

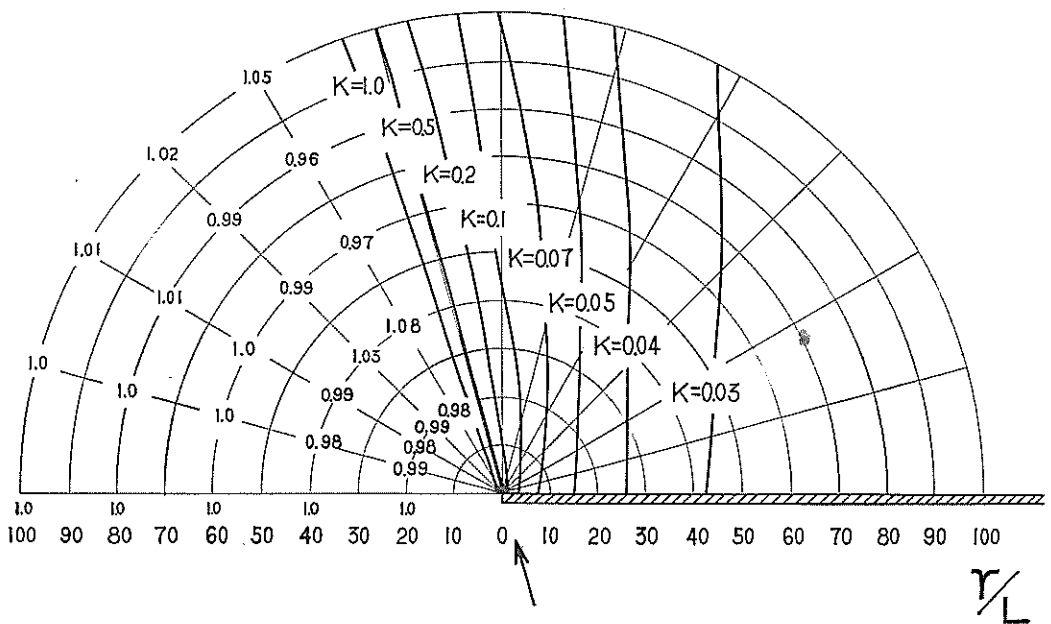
(diraction of wave propagation  $\Theta=105^\circ$ )

$r/L=0 \sim 10$



DIRECTION OF WAVE PROPAGATION

$r/L=0 \sim 100$



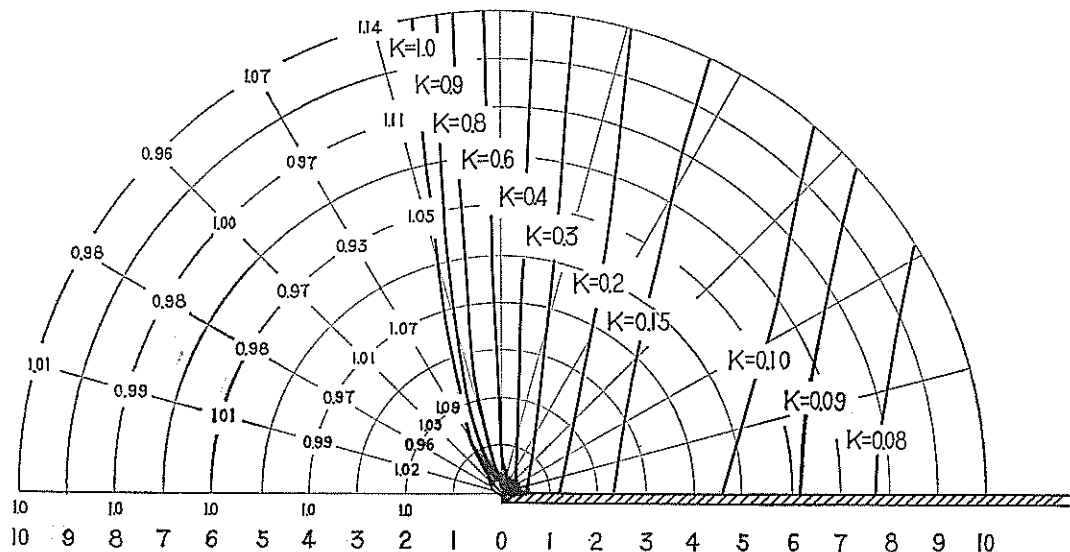
DIRECTION OF WAVE PROPAGATION

図-14 半無限防波堤による回折図

Diffractogram for a single break water

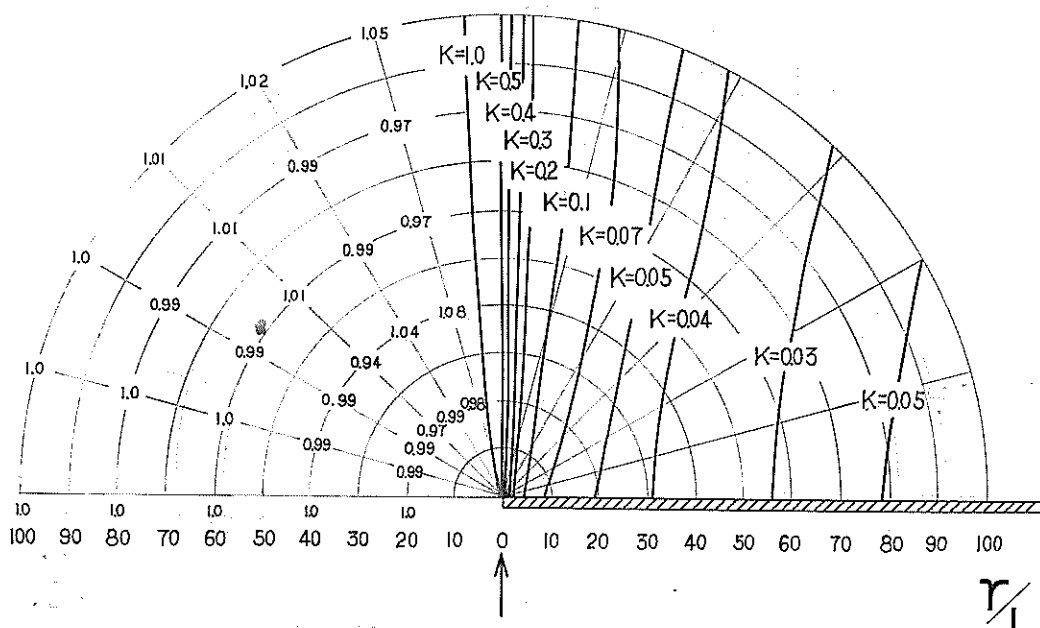
(diraction of wave propagation  $\Theta=90^\circ$ )

$$r/L = 0 \sim 10$$



### DIRECTION OF WAVE PROPAGATION

$r/L = 0 \sim 100$



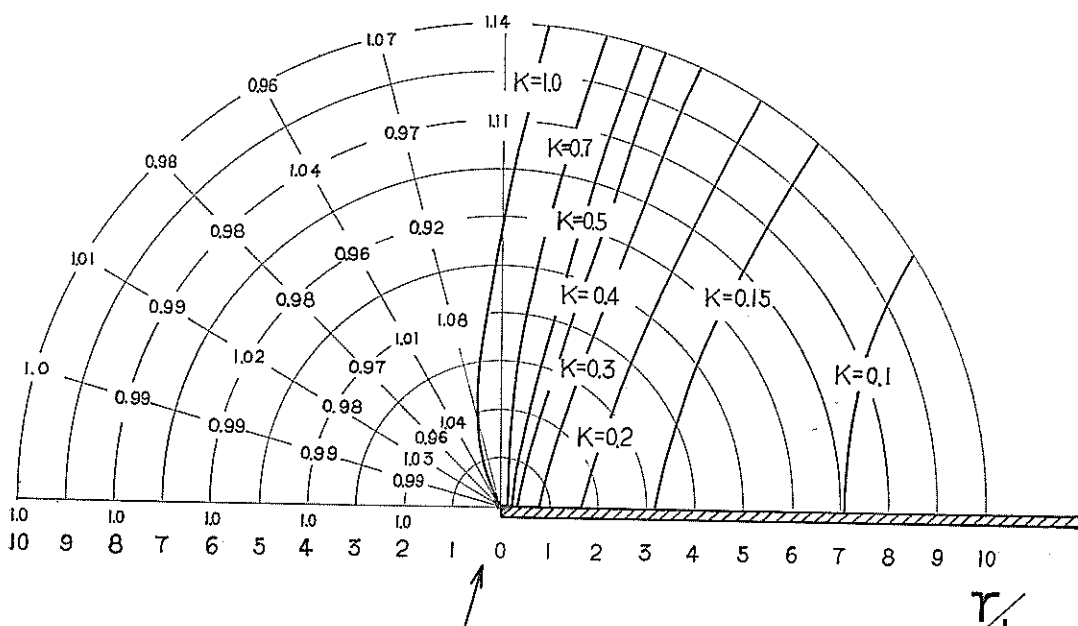
## DIRECTION OF WAVE PROPAGATION

図-15 半無限防波堤による回折図

Diffraction diagram for single break water

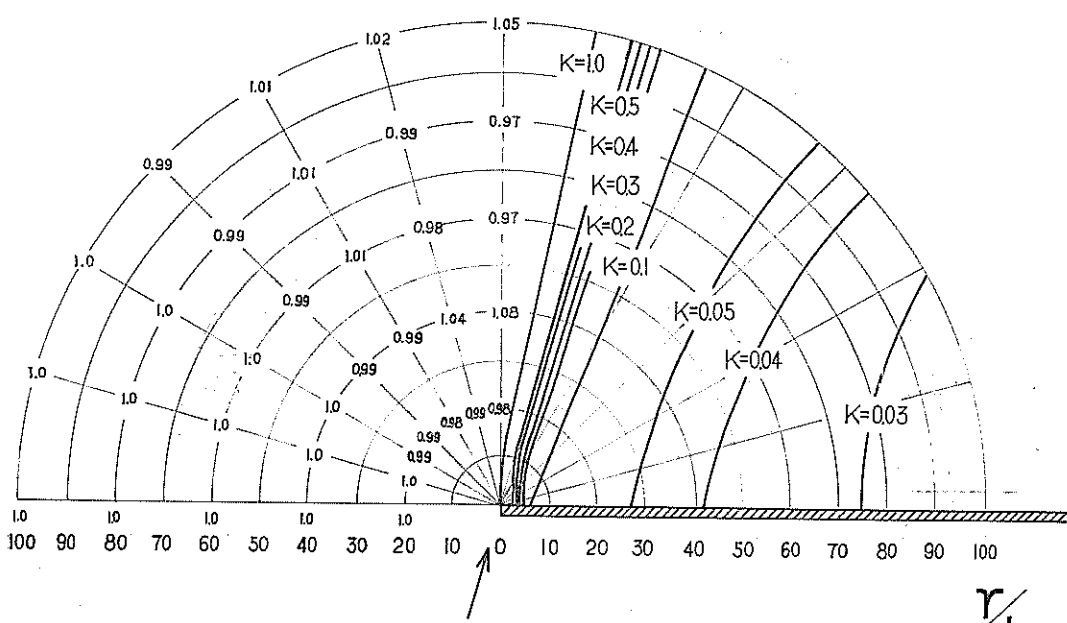
(direction of wave propagation  $\Theta=75^\circ$ )

$r/L = 0 \sim 10$



DIRECTION OF WAVE PROPAGATION

$r/L = 0 \sim 100$



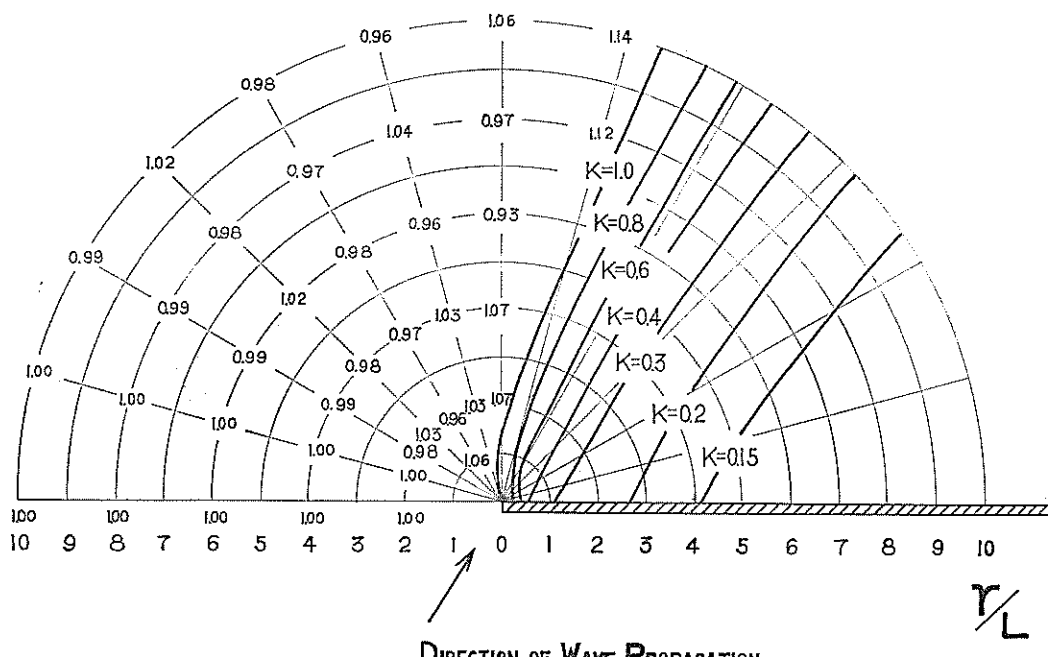
DIRECTION OF WAVE PROPAGATION

図-16 半無限防波堤による回折図

Diffraction diagram for a single break water

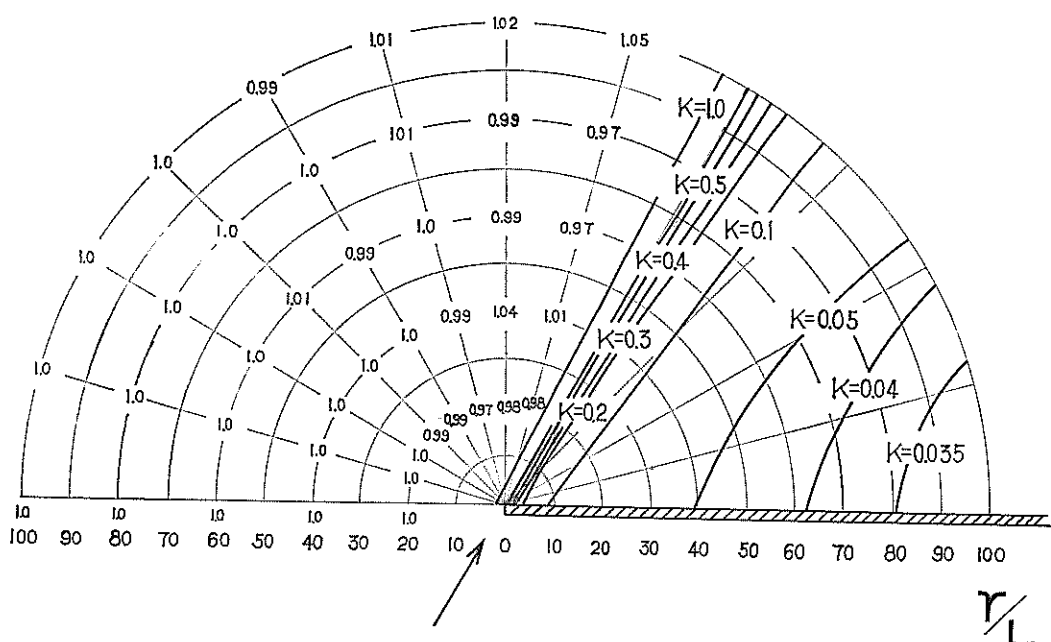
(direction of wave propagation  $\Theta=60^\circ$ )

$$r/L = 0 \sim 10$$



DIRECTION OF WAVE PROPAGATION

$$r/L = 0 \sim 100$$

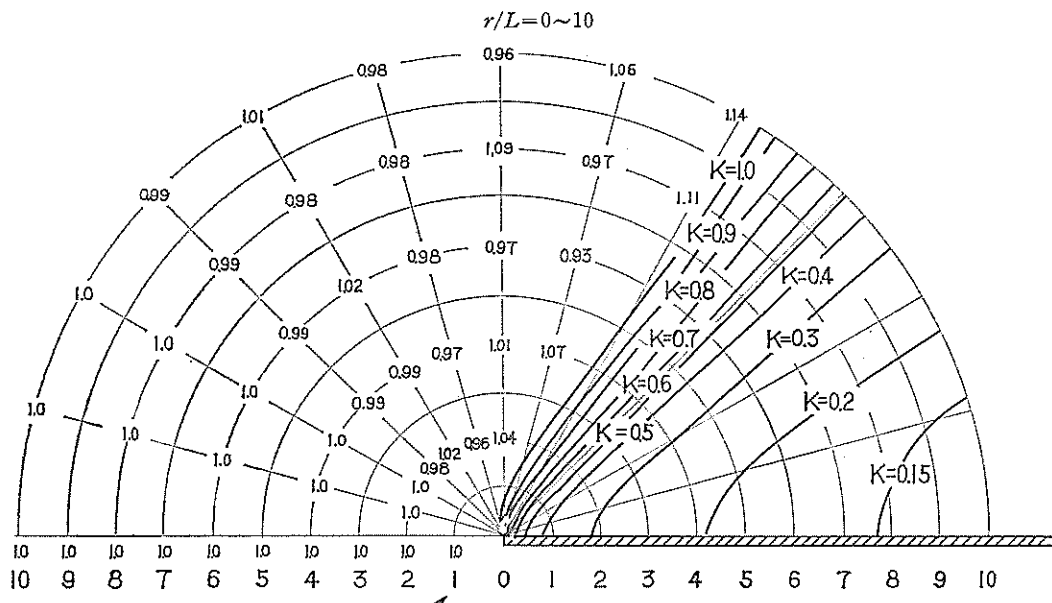


DIRECTION OF WAVE PROPAGATION

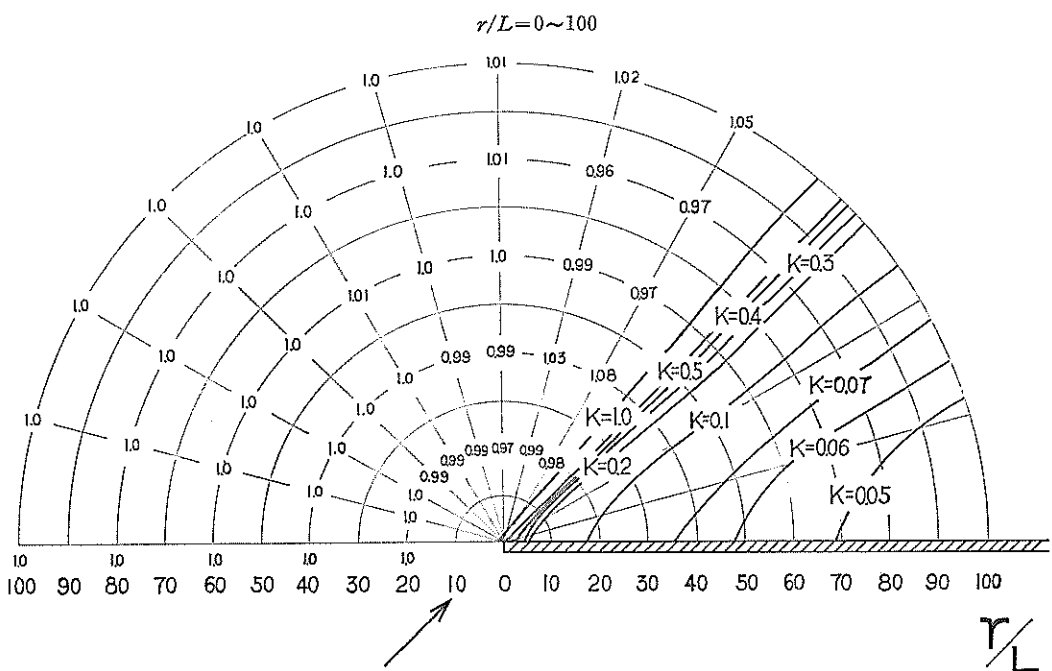
図-17 半無限防波堤による回折図

Diffraction diagram for a single break water

(direction of wave propagation  $\Theta = 45^\circ$ )



DIRECTION OF WAVE PROPAGATION

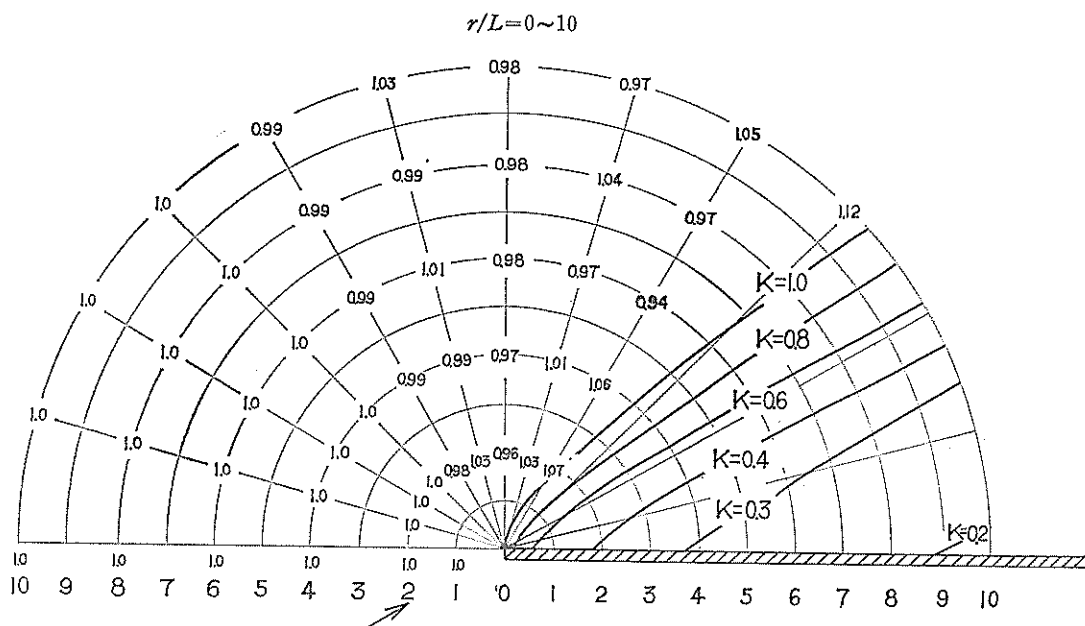


DIRECTION OF WAVE PROPAGATION

図-18 半無限防波堤による回折図

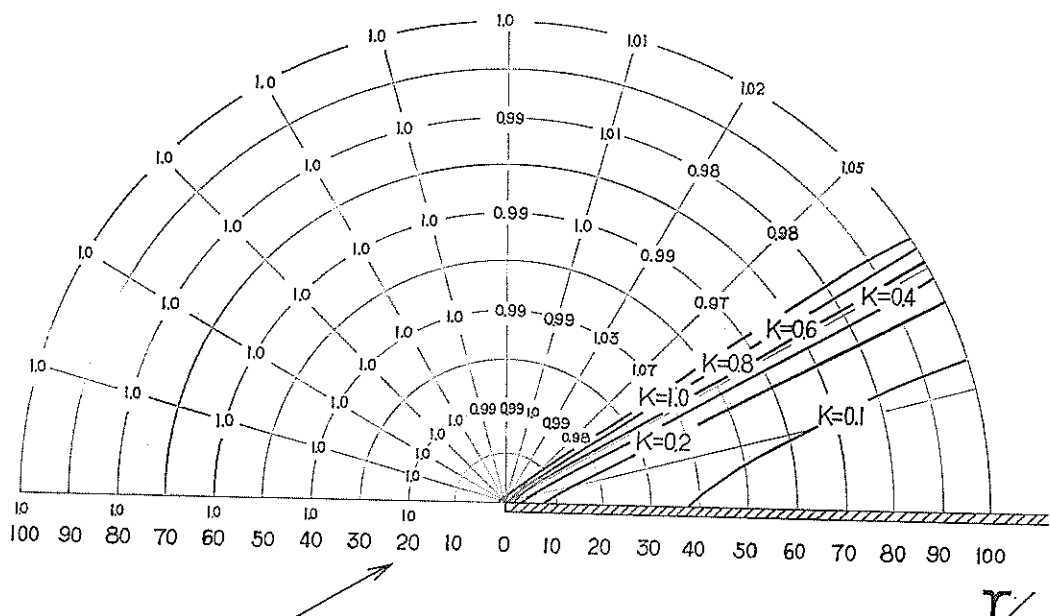
Diffraction diagram for a single break water

(direction of wave propagation  $\Theta=30^\circ$ )



DIRECTION OF WAVE PROPAGATION

$r/L=0\sim100$



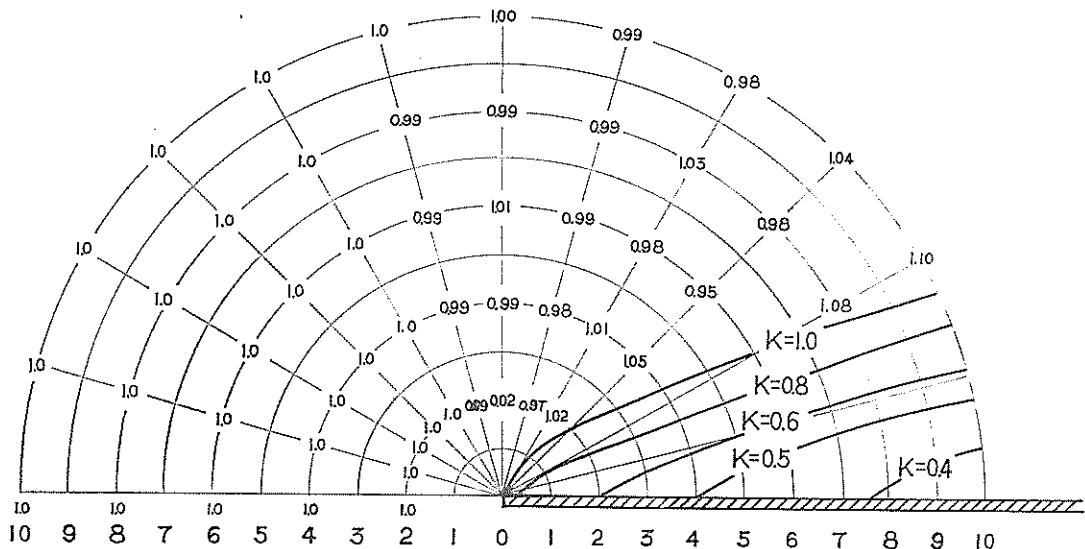
DIRECTION OF WAVE PROPAGATION

図-19 半無限防波堤による回折図

Diffraction diagram for a single break water

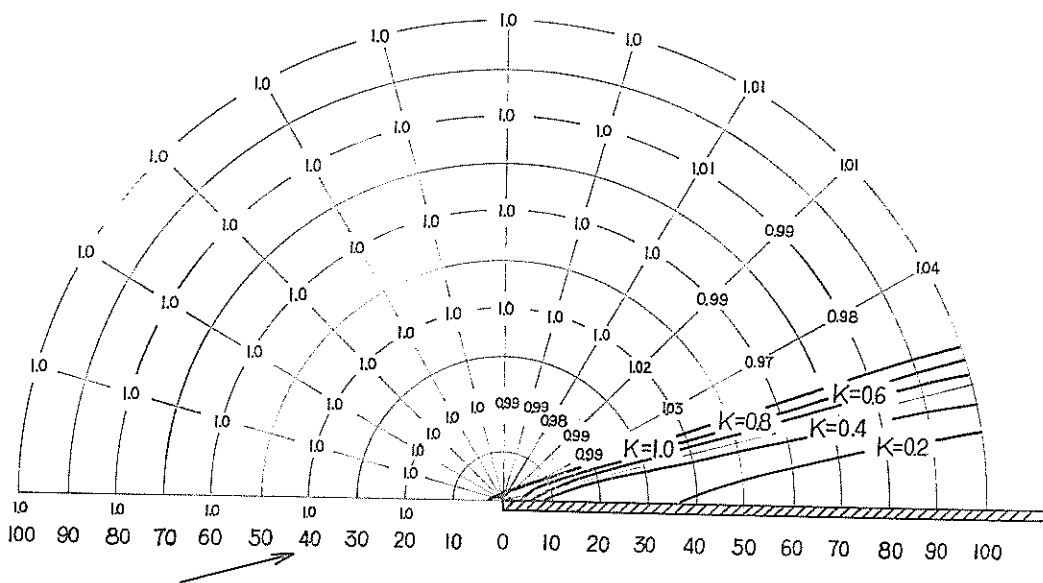
(direction of wave propagation  $\Theta=15^\circ$ )

$$r/L = 0 \sim 10$$



DIRECTION OF WAVE PROPAGATION

$$r/L = 0 \sim 100$$



DIRECTION OF WAVE PROPAGATION

図-20 防波堤開口部からの回折図 ( $\theta=90^\circ$ )

Diffration diagram for a break water gap

$$\frac{B}{L} = 0.5$$

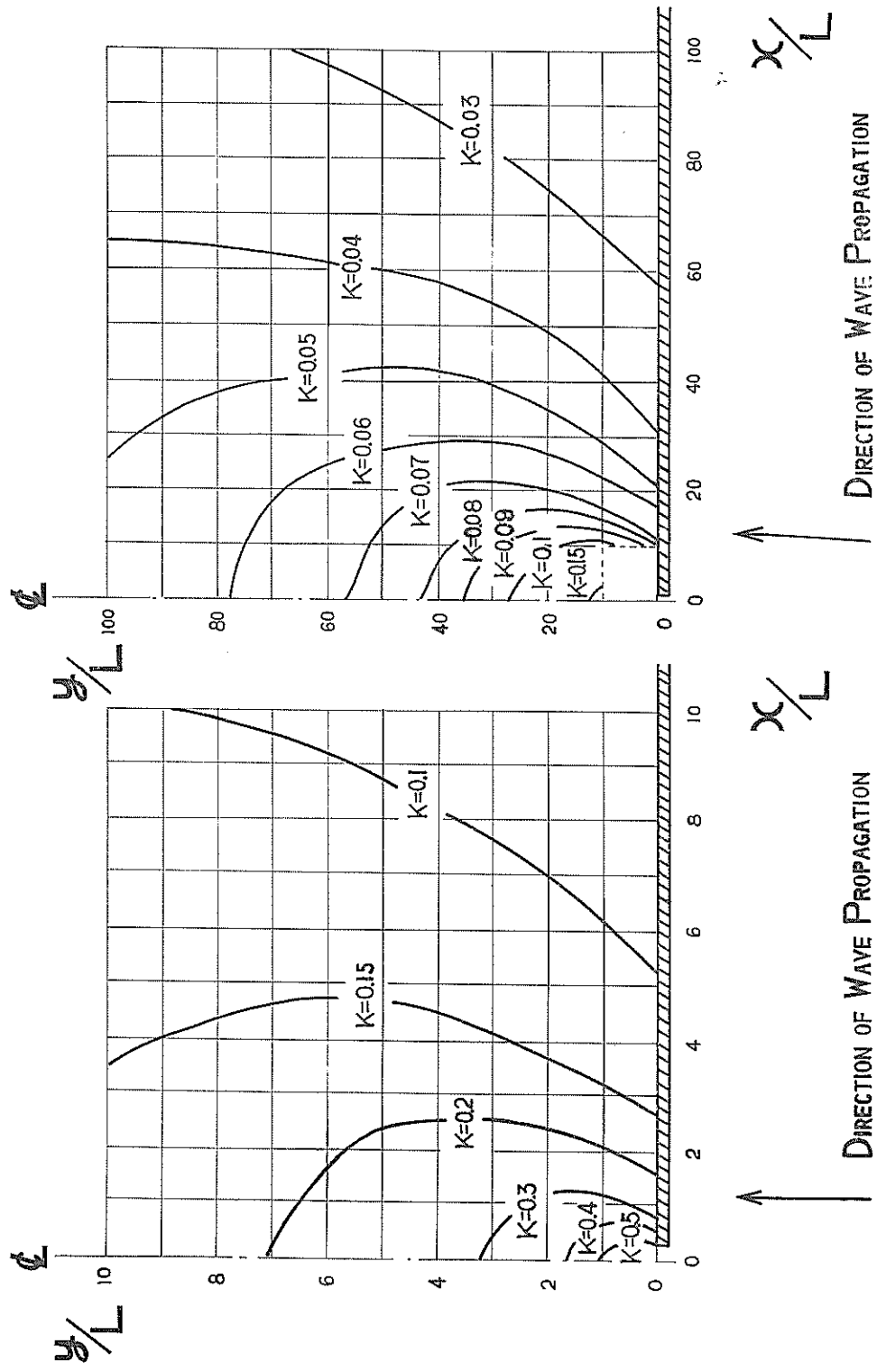


図-21 防波堤開口部からの回折図 ( $\theta=90^\circ$ )  
 Diffraction diagram for a break water gap

$$\frac{B}{L} = 0.6$$

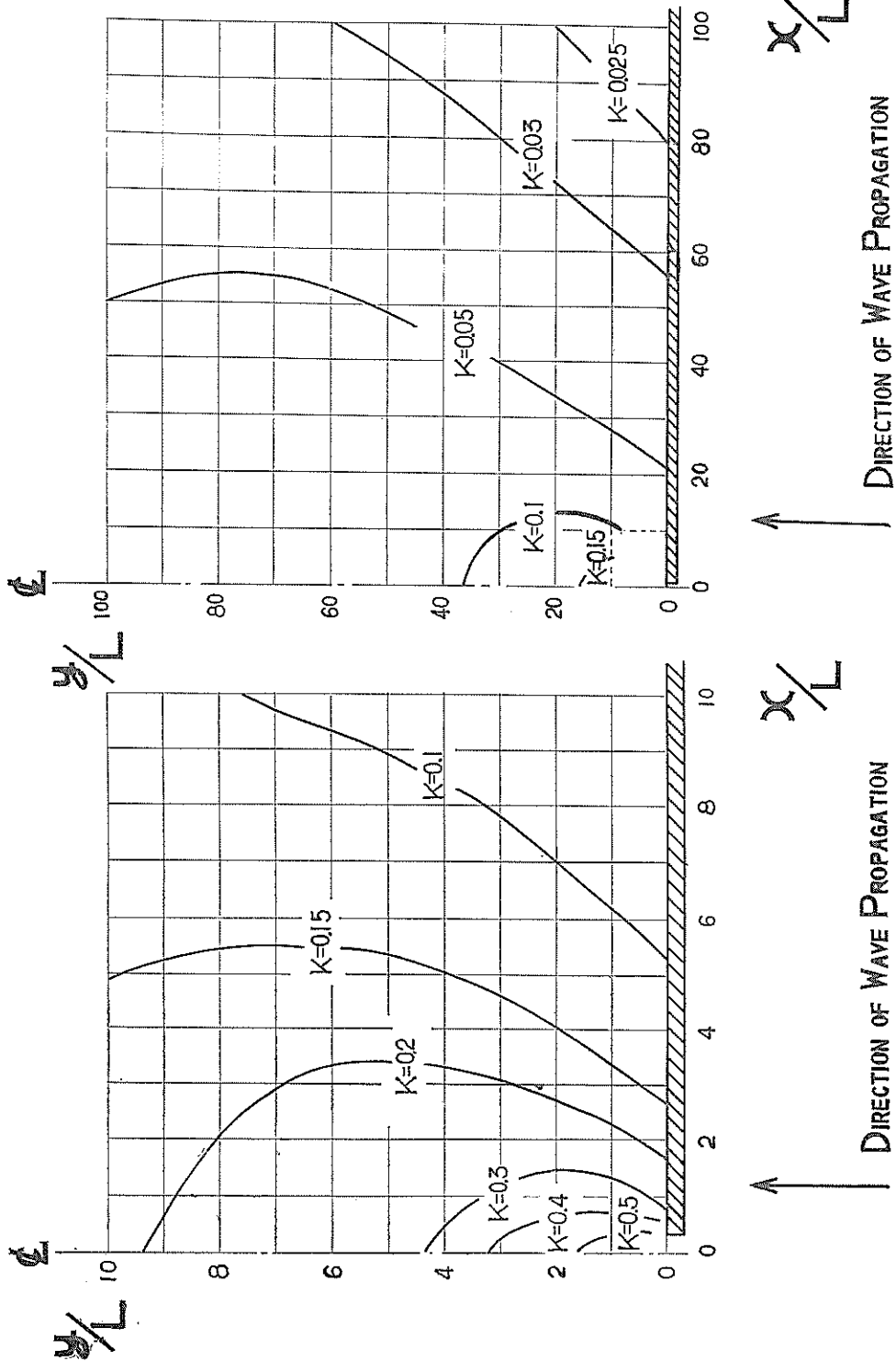


図-22 防波堤開口部からの回折図 ( $\Theta = 90^\circ$ )

Diffraction diagram for a break water gap

$$\frac{B}{L} = 0.8$$

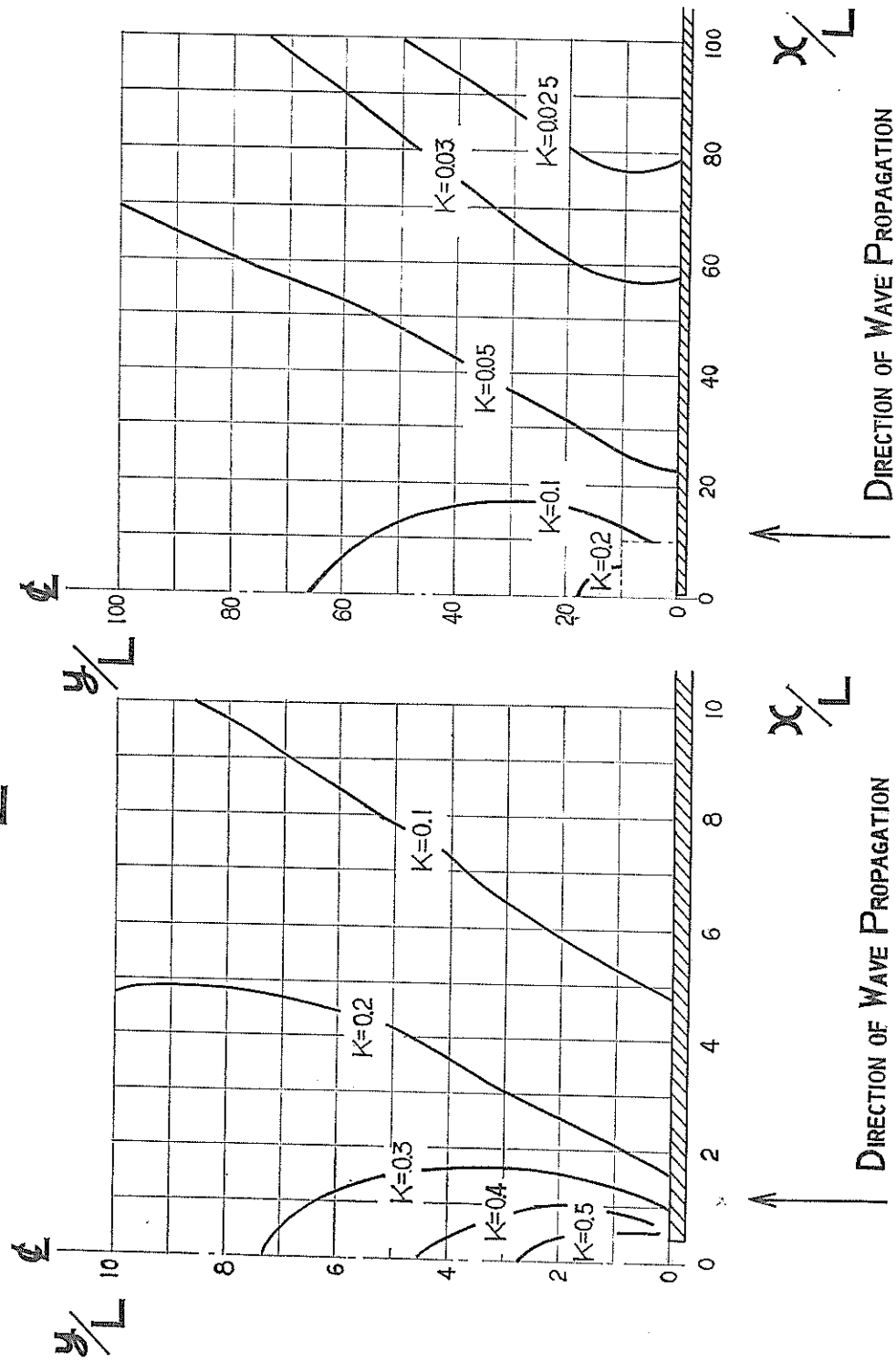


図-23 防波堤開口部からの回折図 ( $\Theta = 90^\circ$ )

Diffraction diagram for a break water gap

$$\frac{B}{L} = 1$$

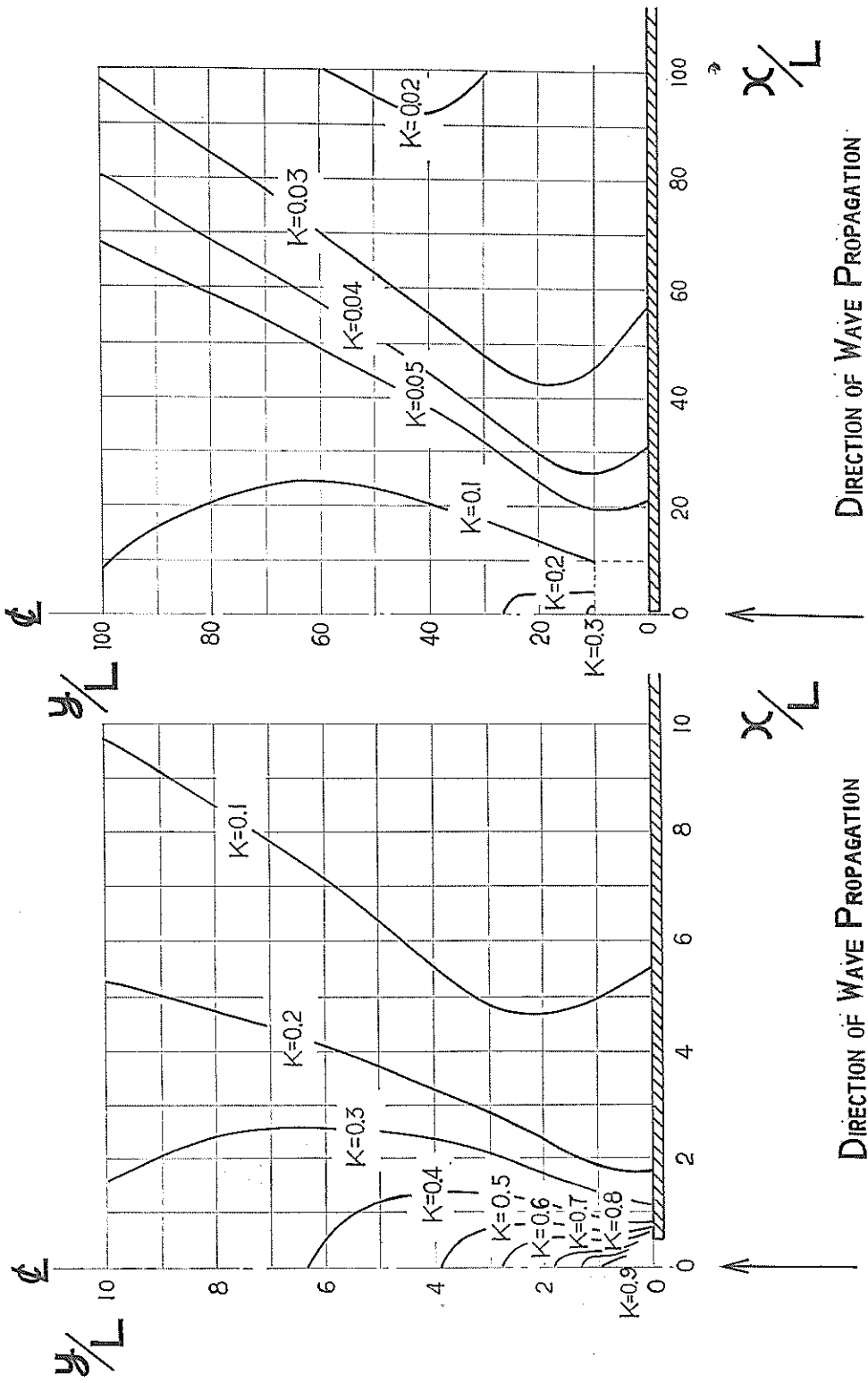


図-24 防波堤開口部からなる回折図 ( $\theta=90^\circ$ )

Diffraction diagram for a break water gap

$$\frac{B}{L} = 1.4$$

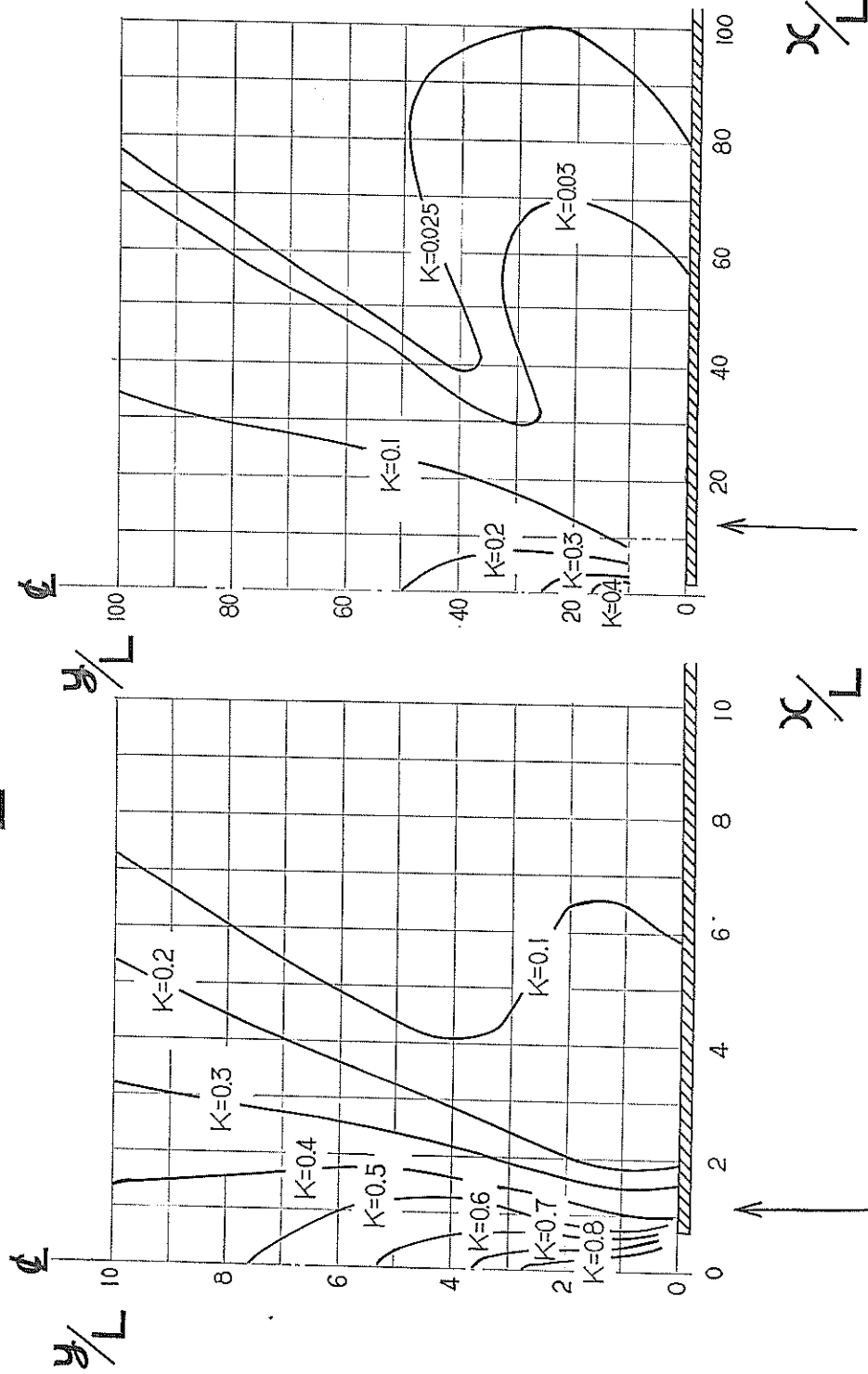
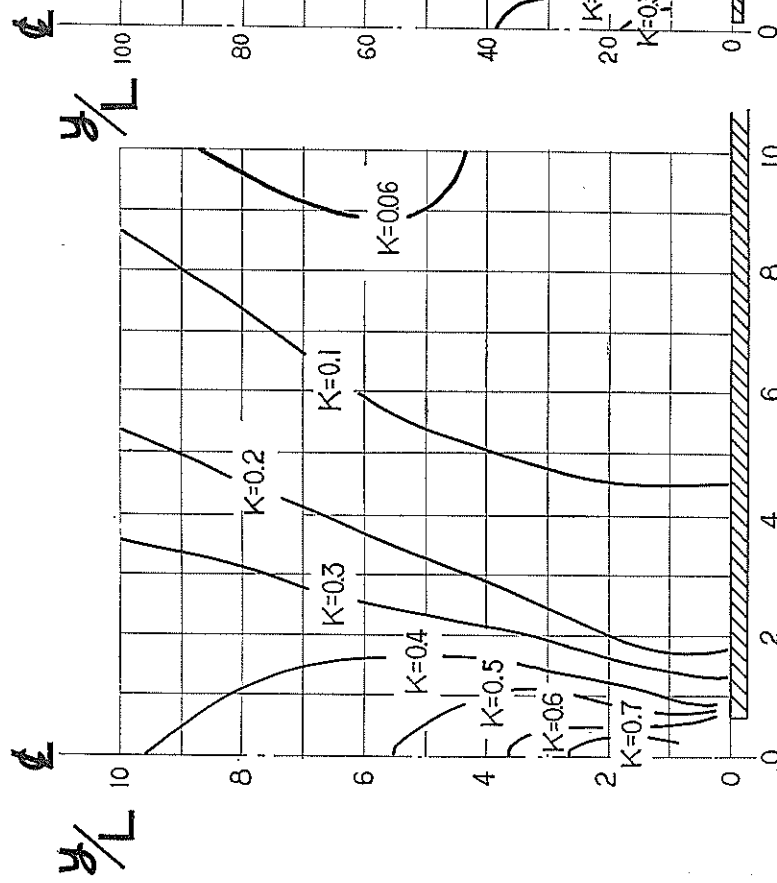


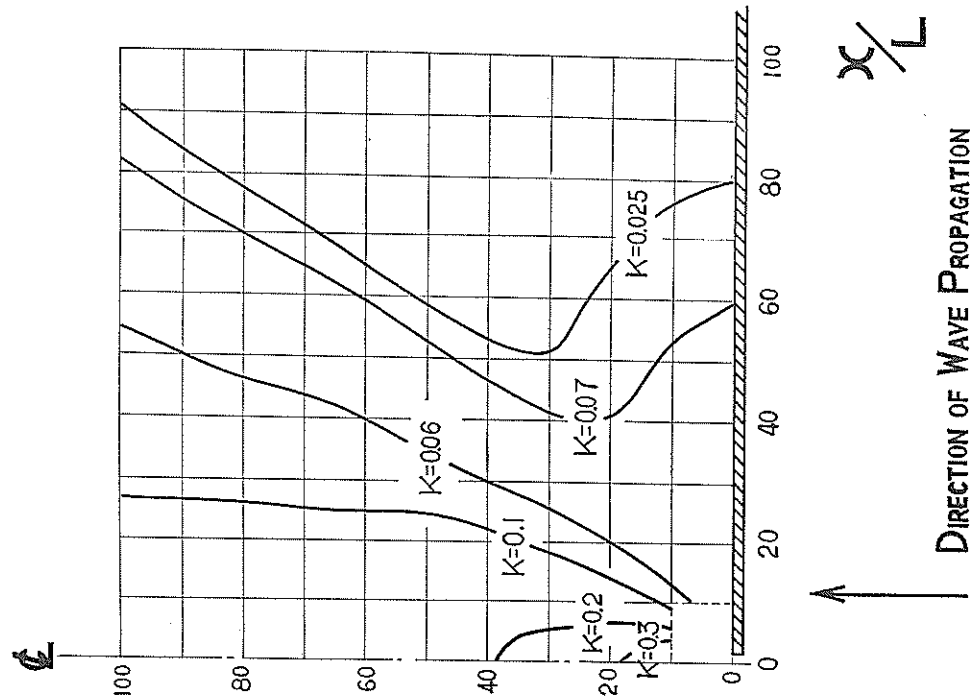
図-25 防波堤開口部からの回折図 ( $\theta = 90^\circ$ )

Diffraction diagram for a break water gap

$$\frac{B}{L} = 1/2$$



DIRECTION OF WAVE PROPAGATION



DIRECTION OF WAVE PROPAGATION

図-26 防波堤開口部からの回折図 ( $\theta=90^\circ$ )

Difraction diagram for a break water gap

$$\frac{B}{L} = 1.6$$

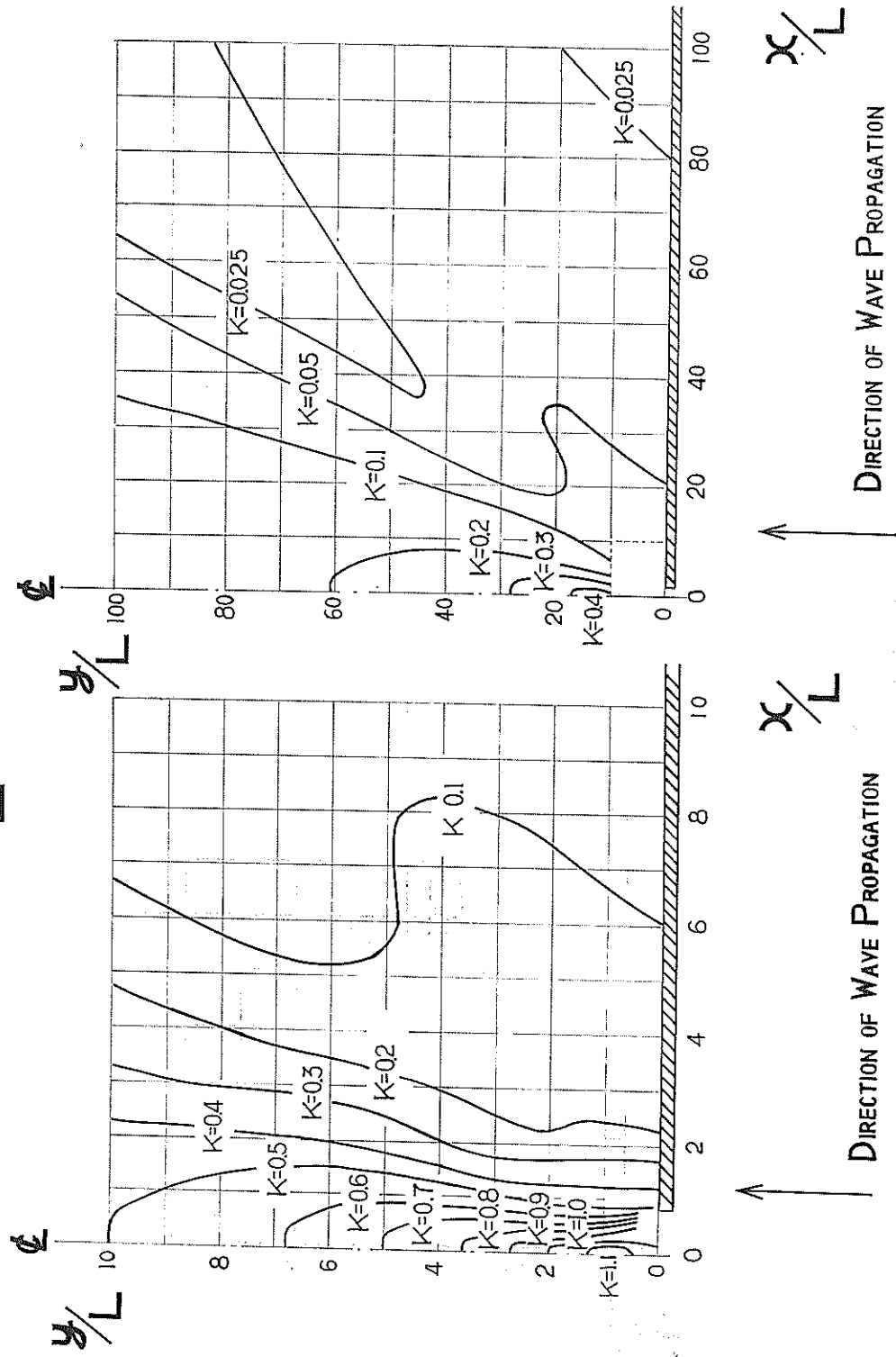


図-27 防波堤開口部からの回折図 ( $\Theta = 90^\circ$ )  
Diffraction diagram for a break water gap

$$\frac{B}{L} = 1.8$$

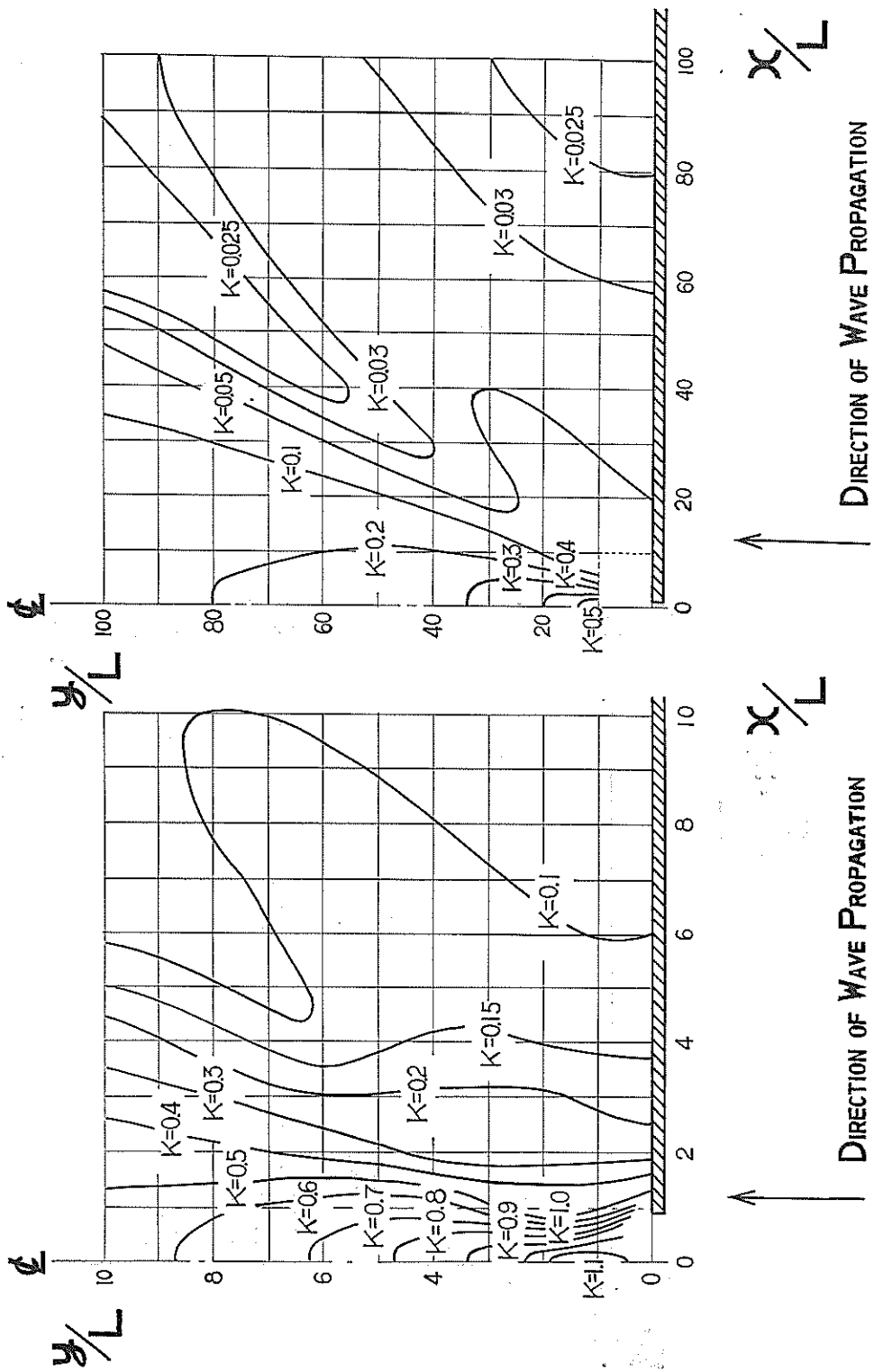
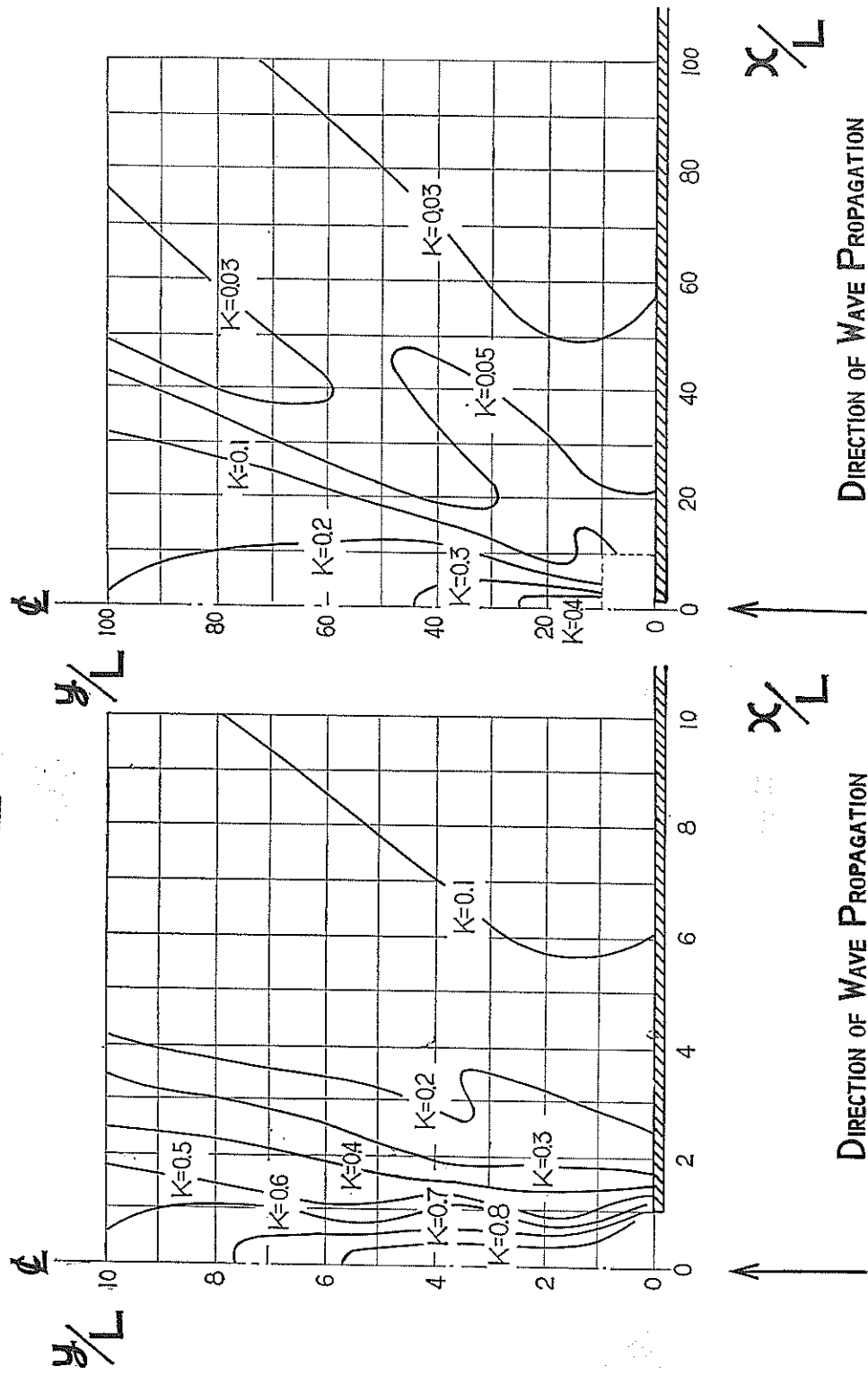


図-28 防波堤開口部からの回折図 ( $\theta = 90^\circ$ )

Diffraction diagram for a break water gap

$$\frac{B}{L} = 2$$



$$\frac{B}{L} = 2.2$$

図-29 防波堤開口部からの回折図 ( $\theta=90^\circ$ )  
Diffraction diagram for a break water gap

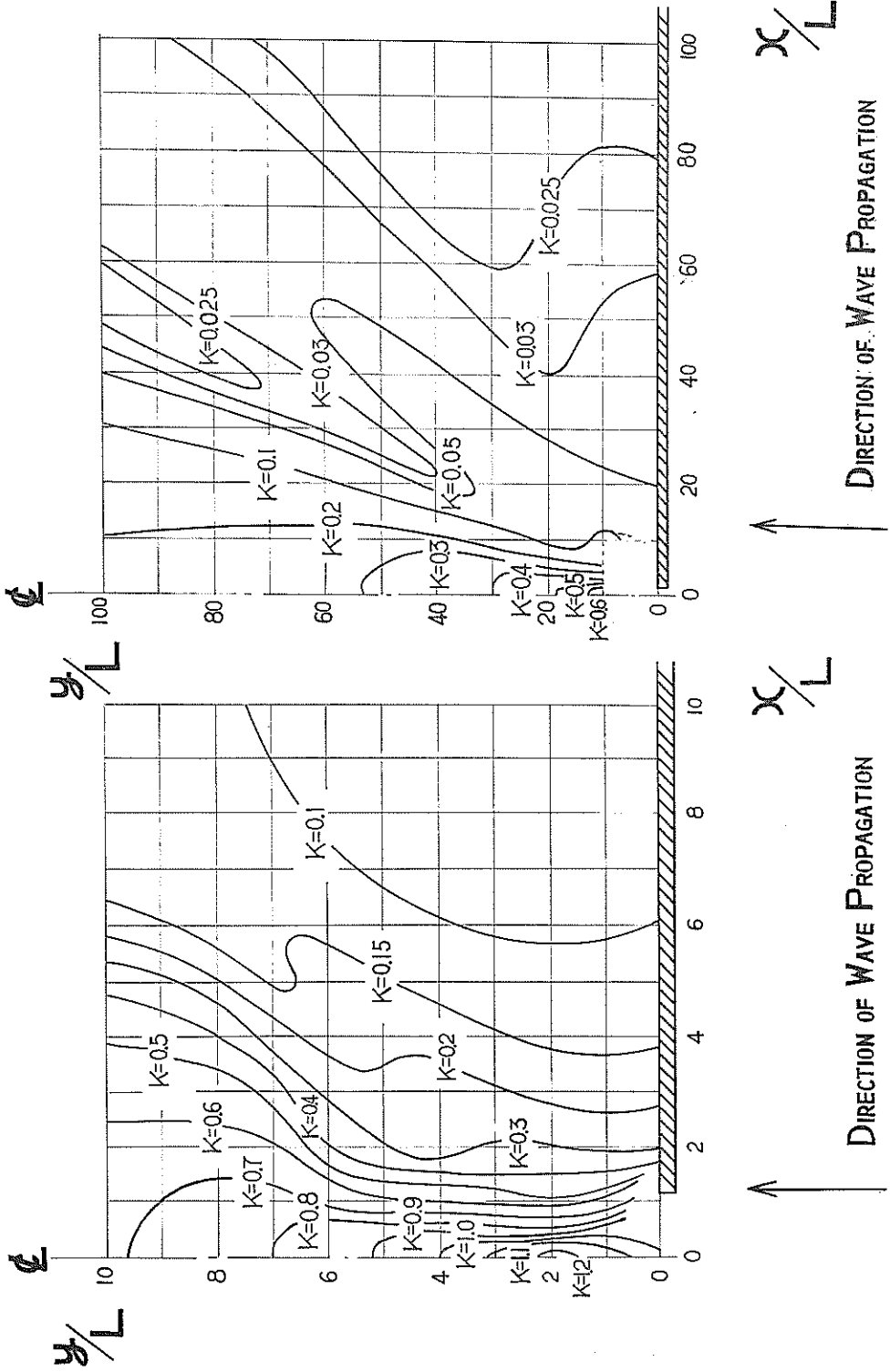


図-30 防波堤開口部からの回折図 ( $\theta = 90^\circ$ )

Diffraction diagram for a break water gap

$$\frac{B}{L} = 2.4$$

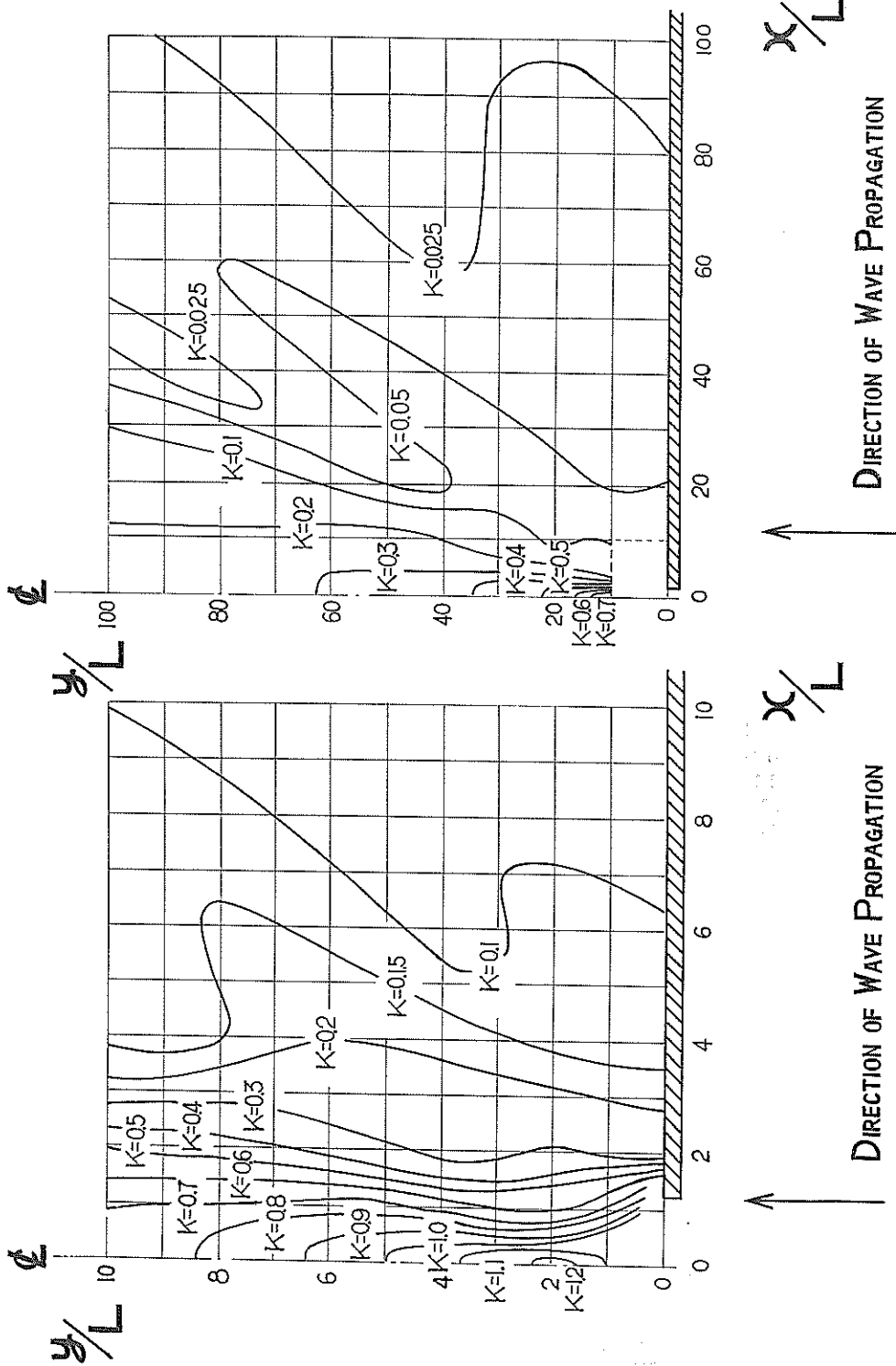


図-31 防波隔壁口端からの回折図 ( $\Theta = 90^\circ$ )

Diffraction diagram for a break water gap

$$\frac{B}{L} = 2.6$$

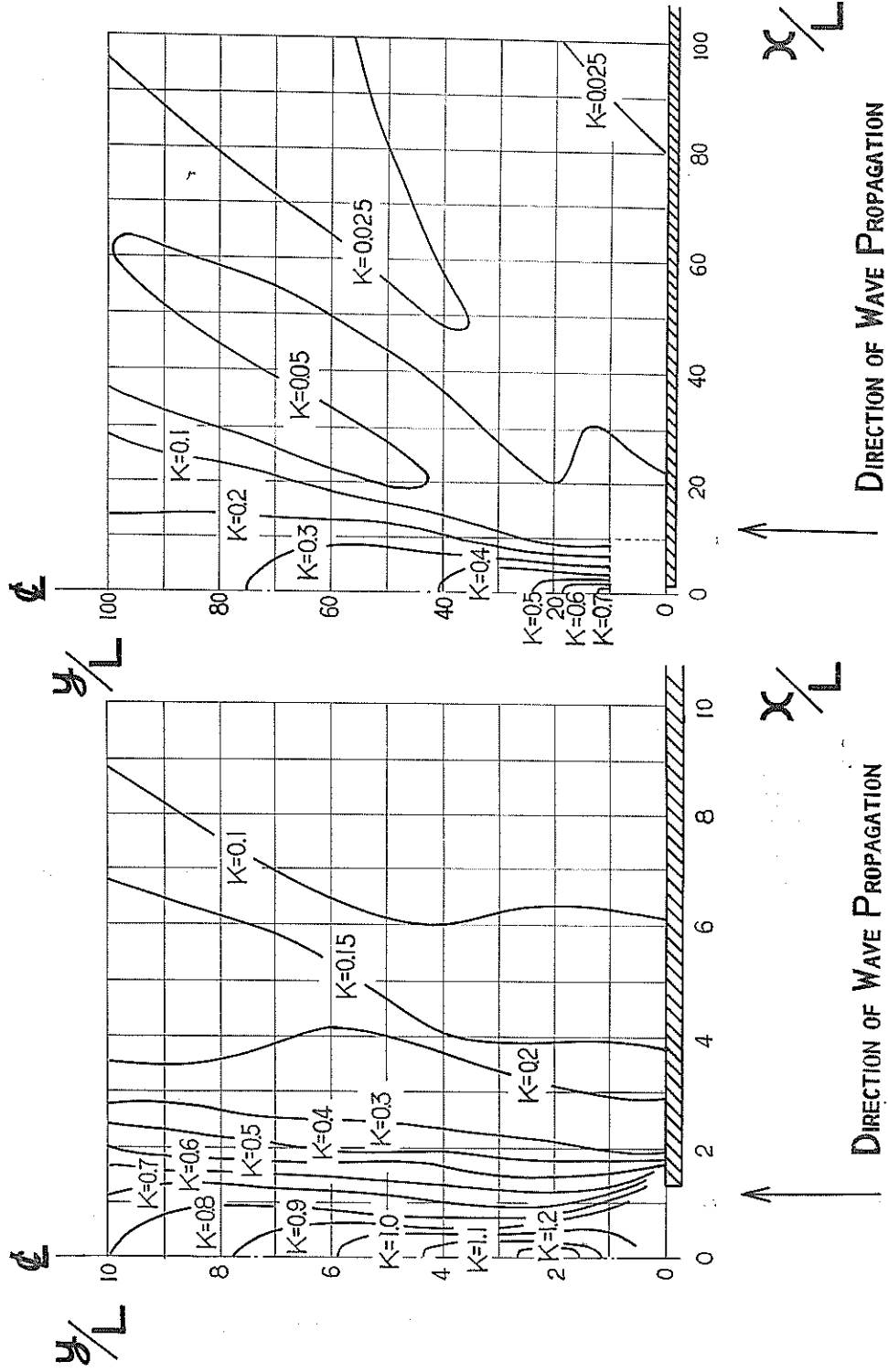
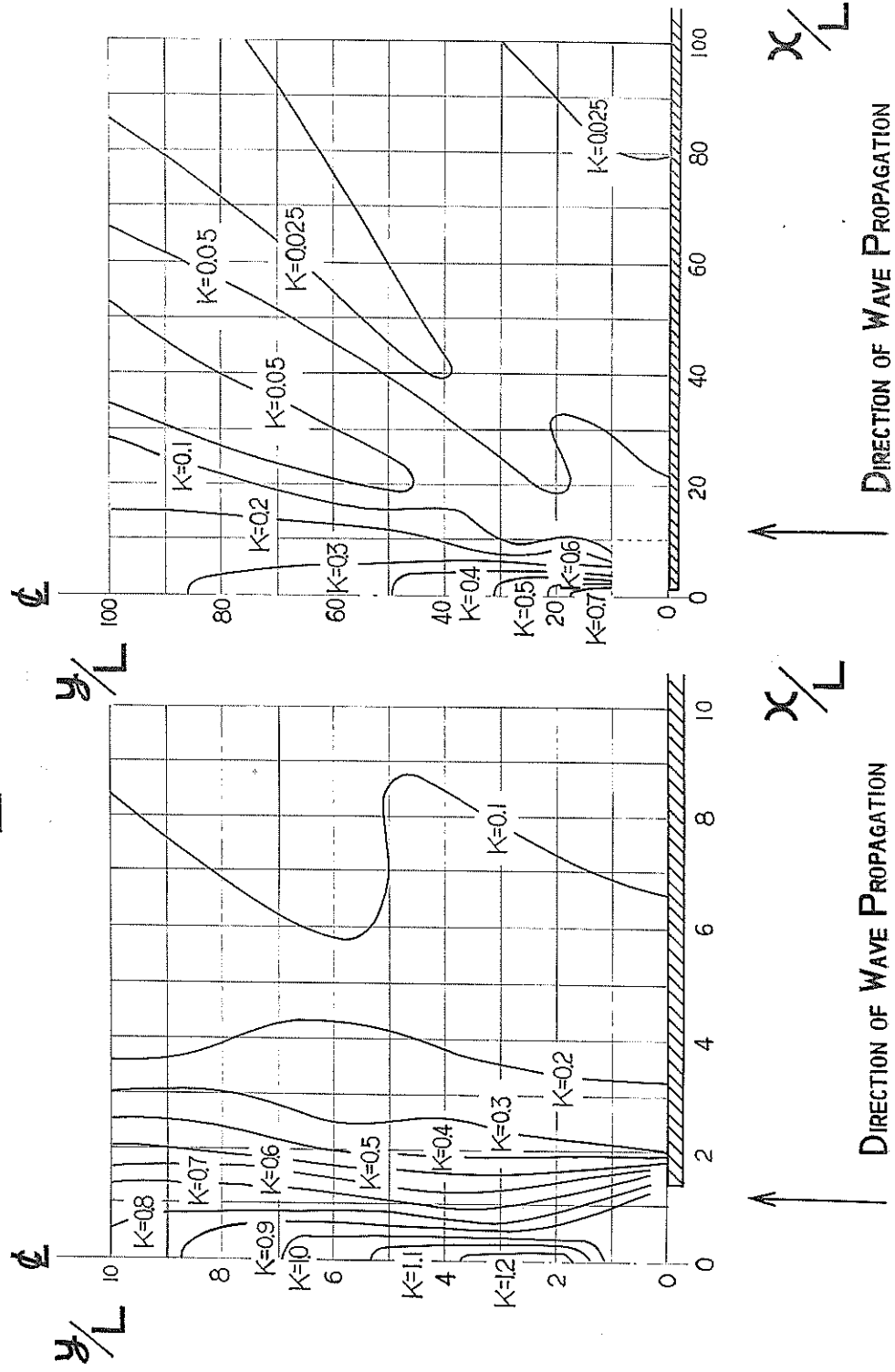


図-32 防波堤開口部からの回折図 ( $\theta=90^\circ$ )

Diffraction diagram for a break water gap

$$\frac{B}{L} = 2.8$$



$$\frac{B}{L} = 5$$

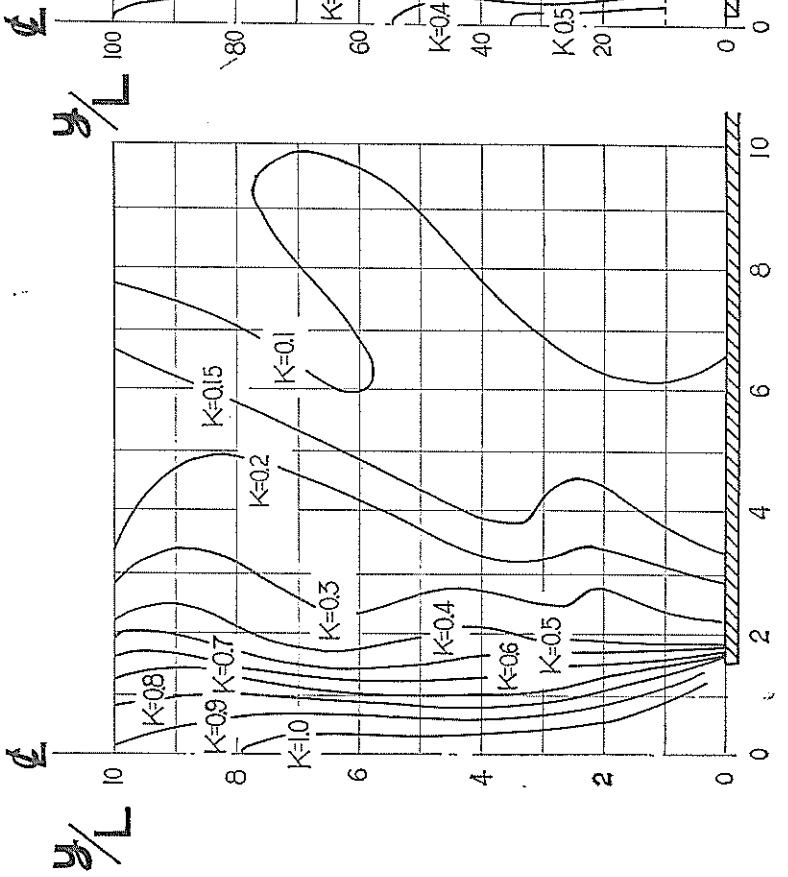
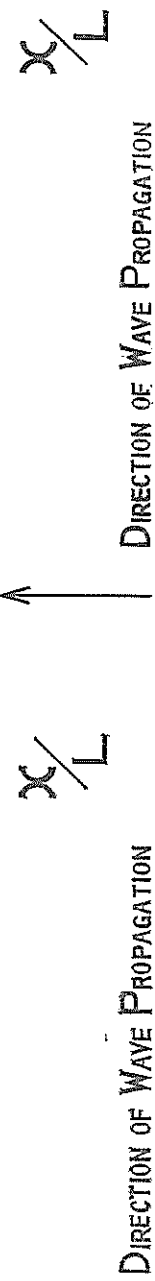


図-33 防波堤開口部からの回折図 ( $\theta = 90^\circ$ )

Diffraction diagram for a break water gap



$$\frac{B}{L} = 3.5$$

図-34 防波堤開口部からの回折図 ( $\theta = 90^\circ$ )

Diffraction diagram for a break water gap

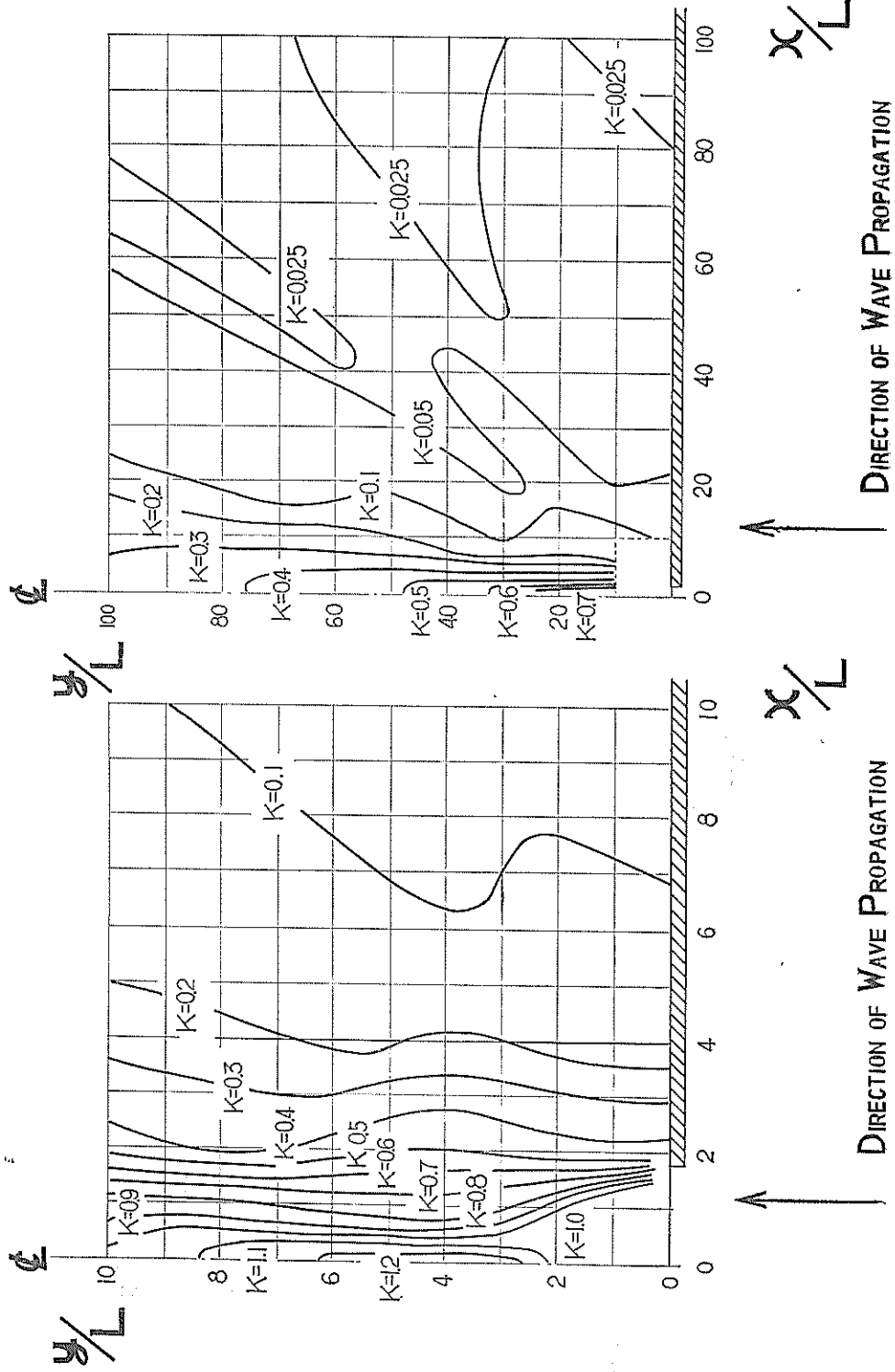


図-35 防波堤開口部からの回折図 ( $\theta = 90^\circ$ )  
 Diffraction diagram for a break water gap

$$\frac{B}{L} = 4$$

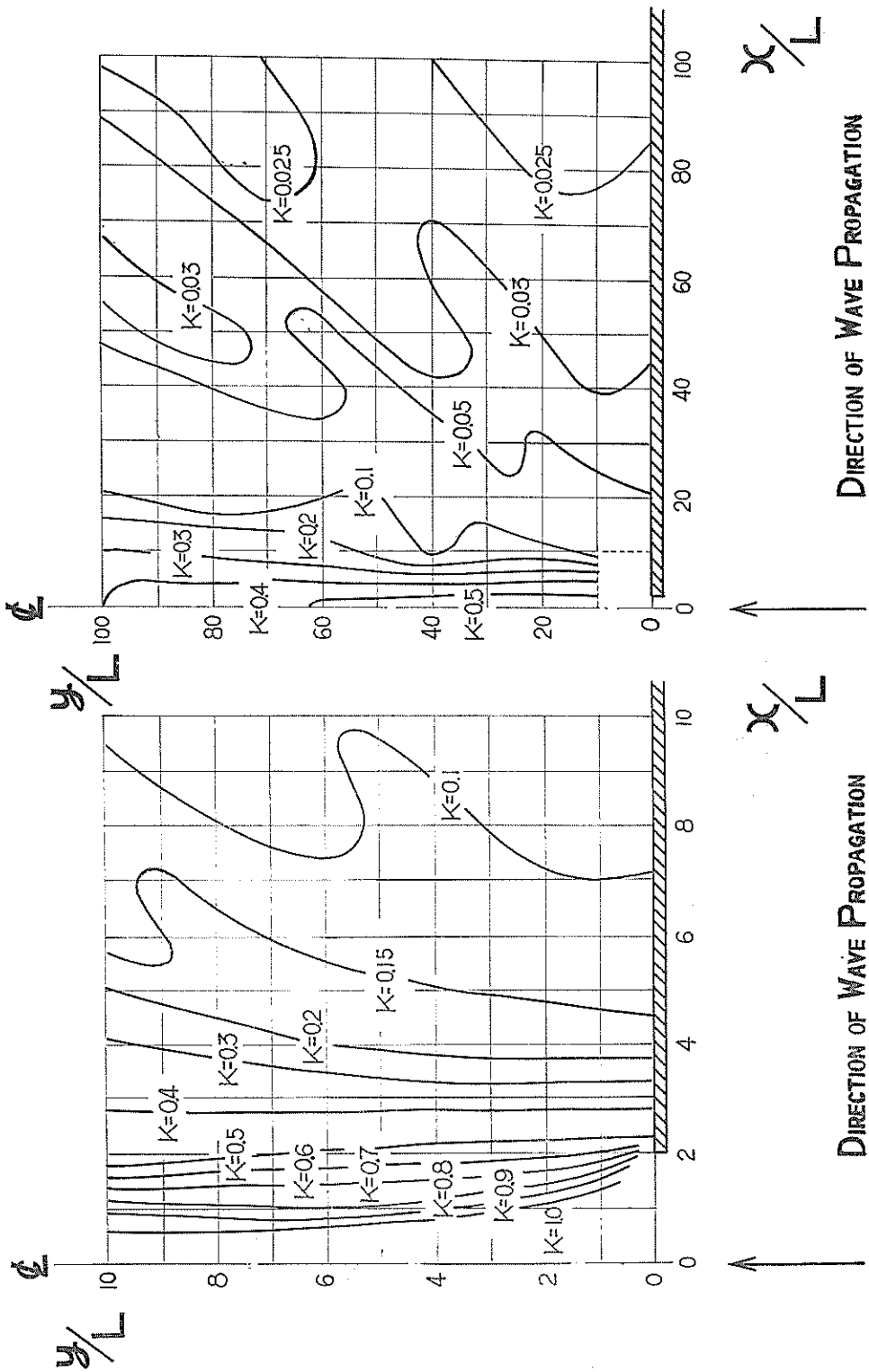
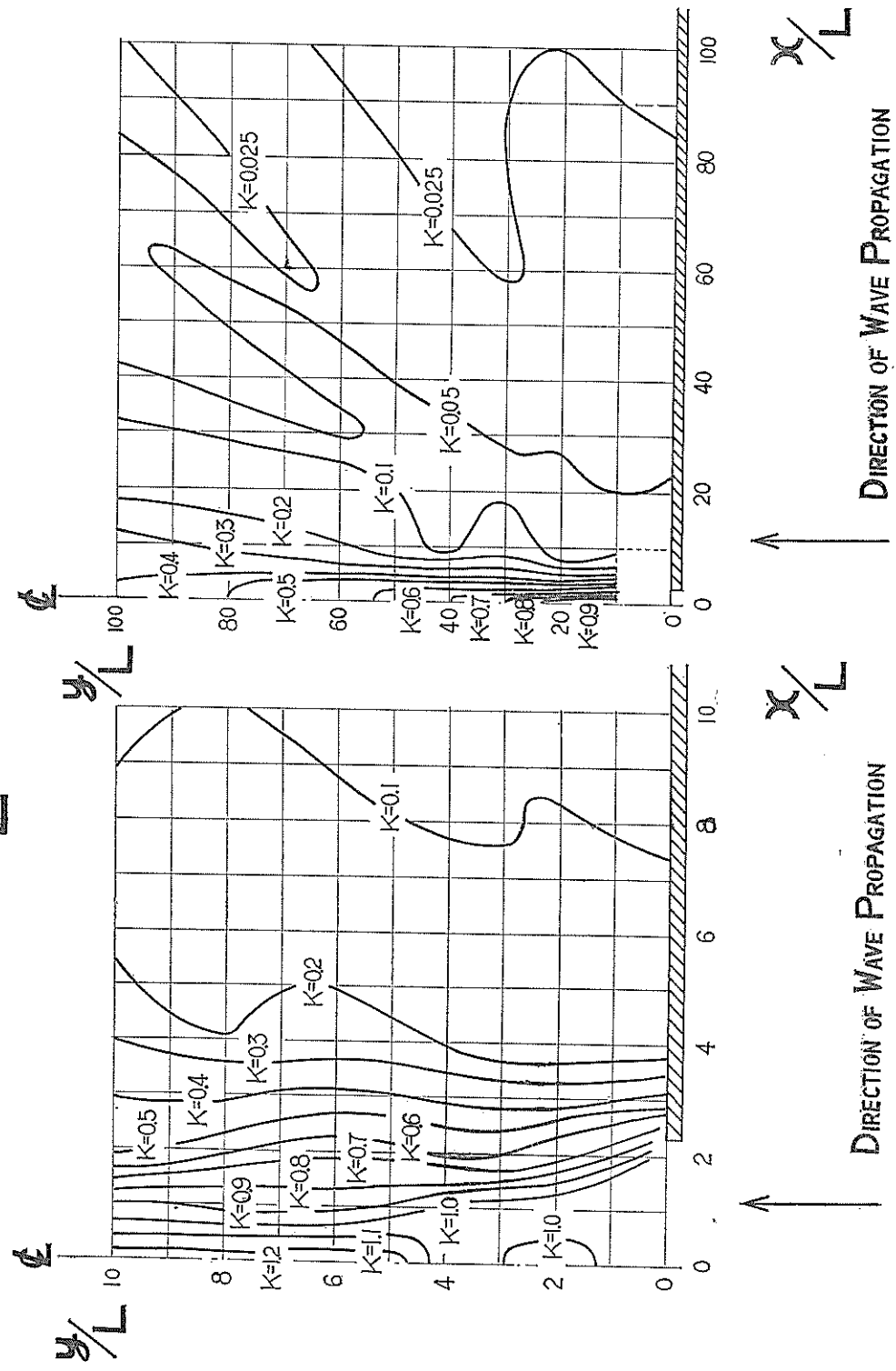


図-36 防波堤開口部からの回折図 ( $\theta = 90^\circ$ )

Diffraction diagram for a break water gap

$$\frac{B}{L} = 4.5$$



$\frac{B}{L} = 5$

図-37 防波堤開口部かうの回折図 ( $\theta=90^\circ$ )

Diffraction diagram for a break water gap

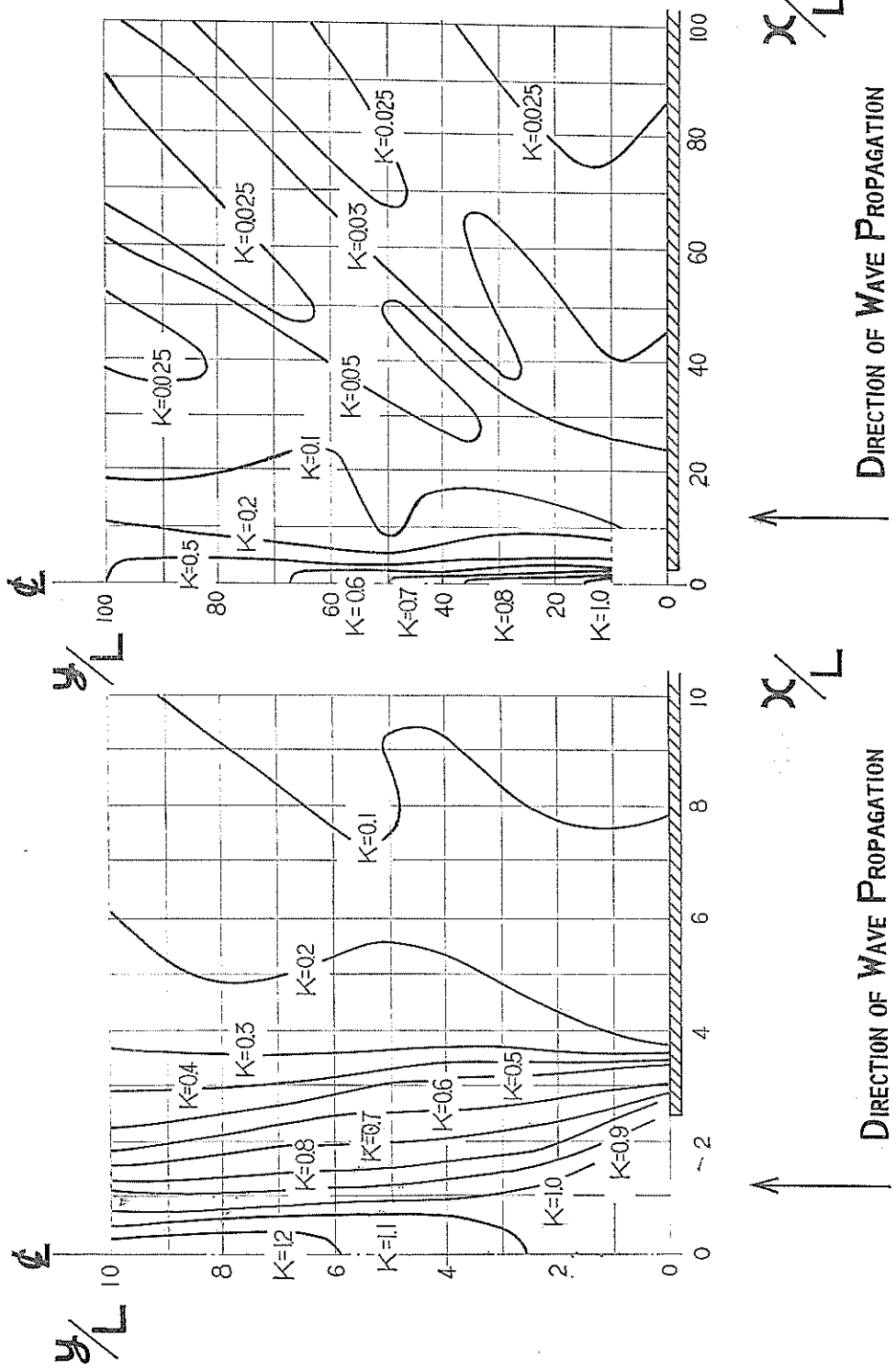
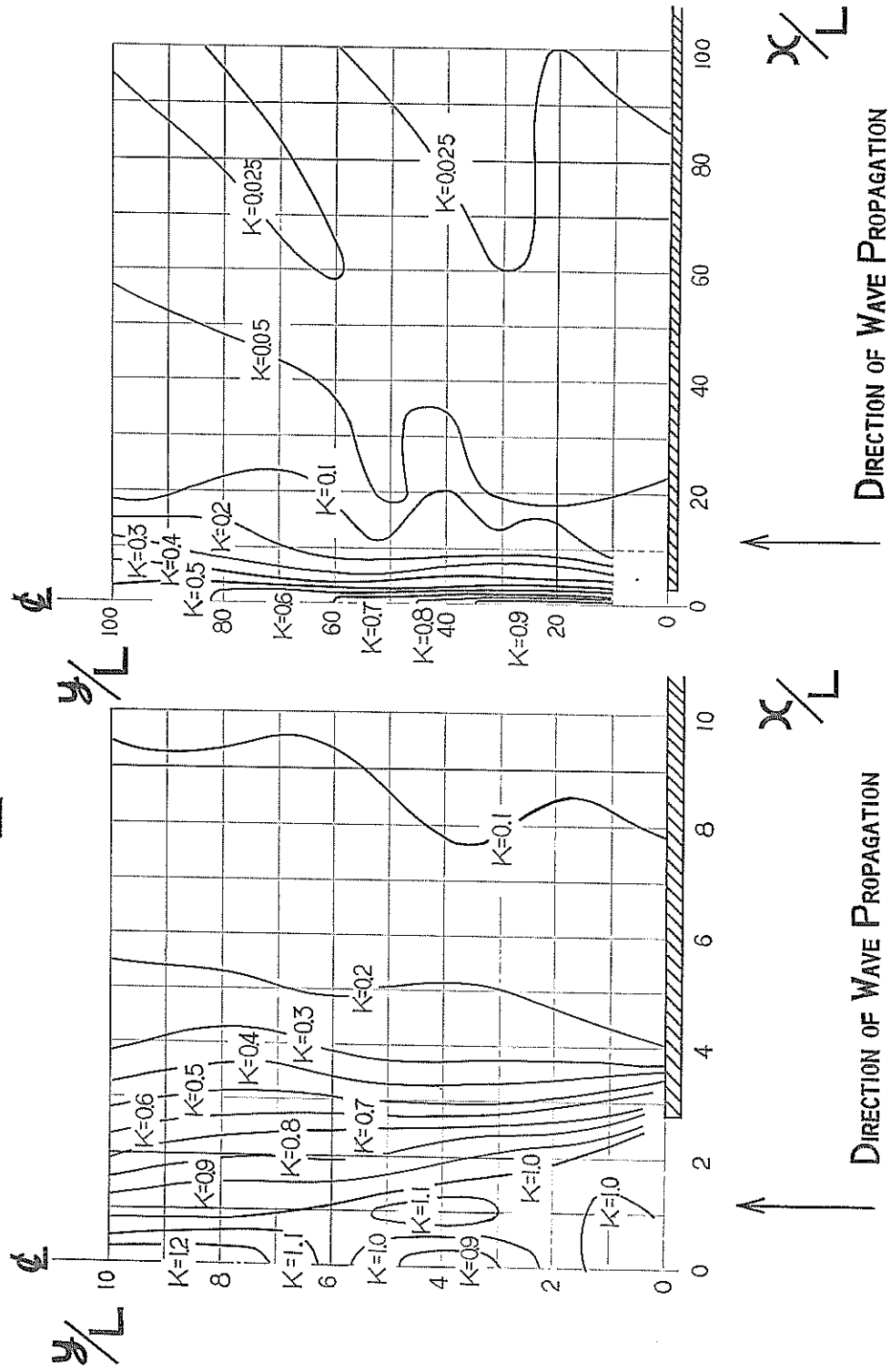


図-38 防波堤開口部かうの回折図 ( $\theta=90^\circ$ )

Diffraction diagram for a break water gap

$$\frac{B}{L} = 5.5$$



$$\frac{B}{L} = 6$$

図-39 防波堤開口部かうの回折図 ( $\theta=90^\circ$ )  
Diffraction diagram for a break water gap

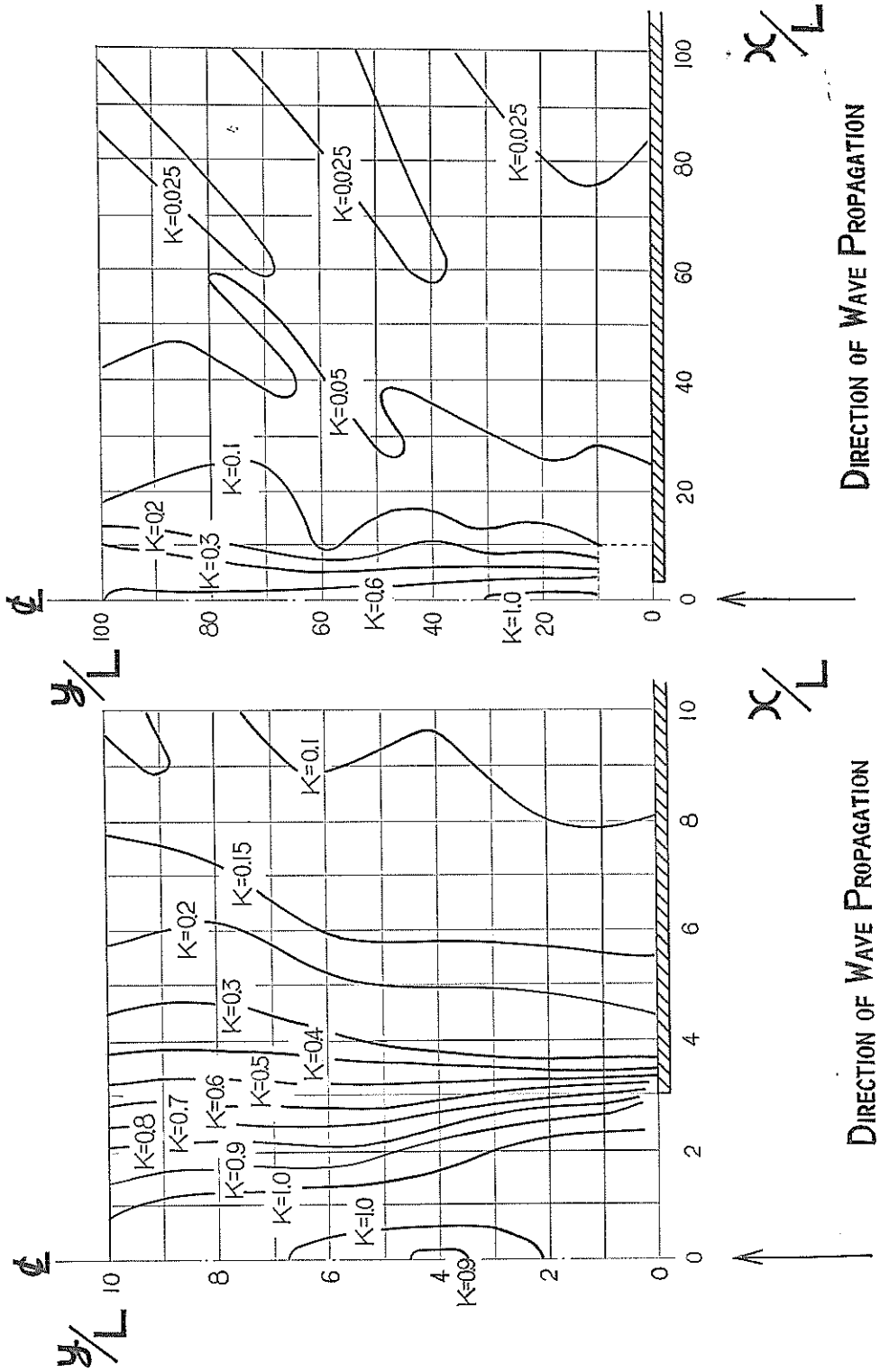


図-40 防波堤開口部からの回折図 ( $\theta = 90^\circ$ )

Diffraction diagram for a break water gap

$$\frac{B}{L} = 8$$

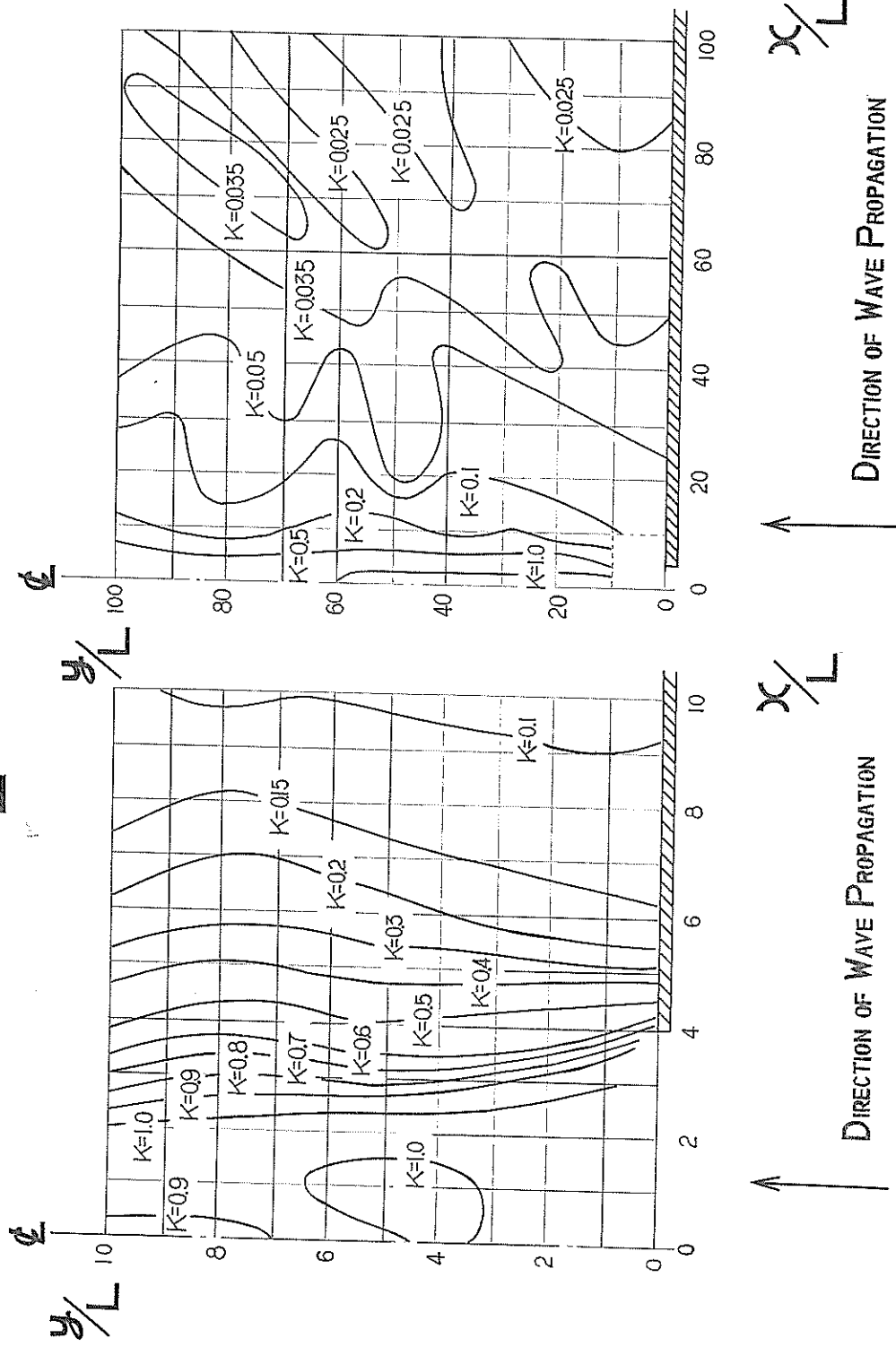
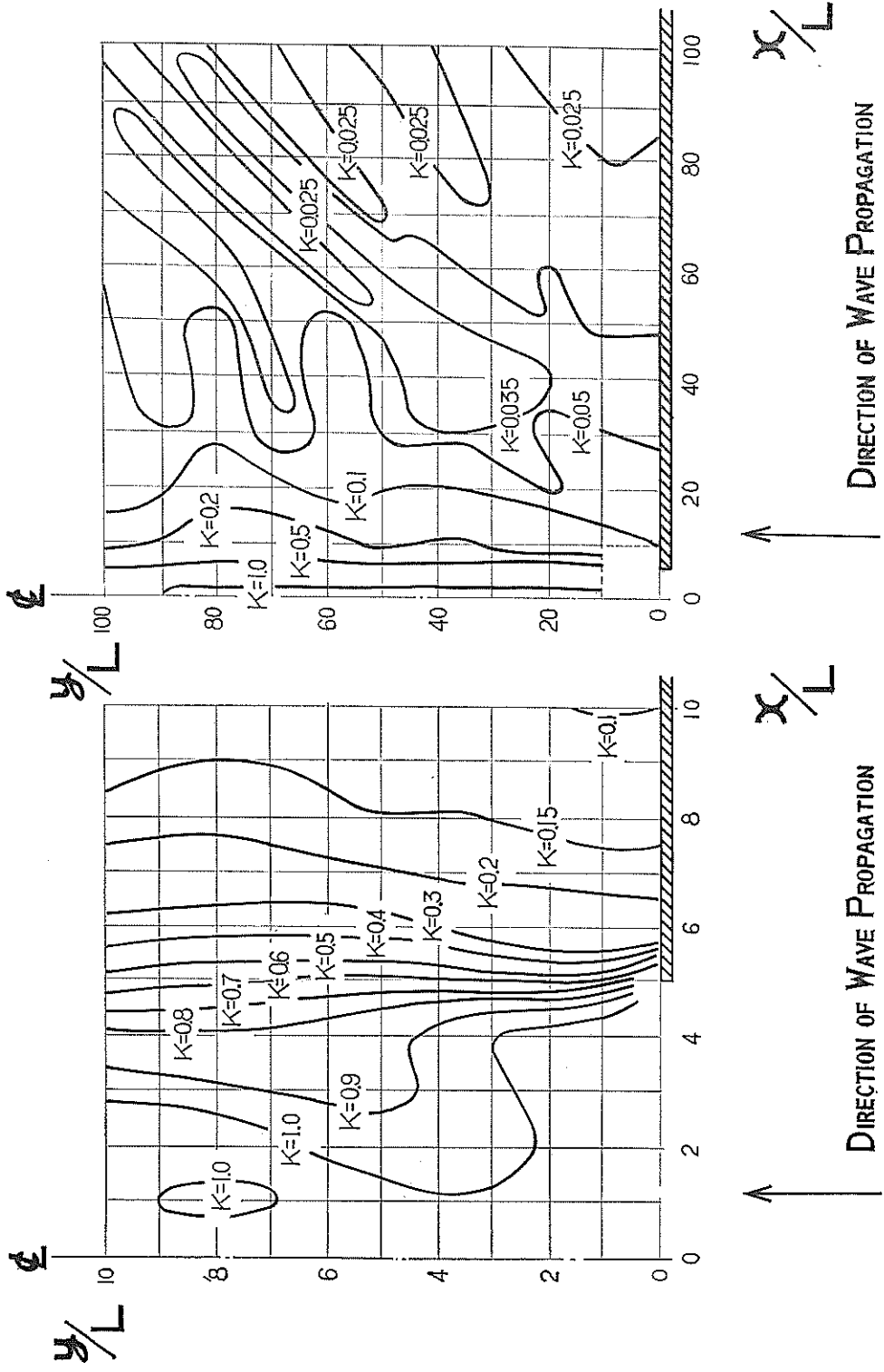


図-41 防波堤開口部からの回折図 ( $\Theta = 90^\circ$ )  
Diffraction diagram for a break water gap

$$\frac{B}{L} = 1.0$$



## 附録一1 理論式の誘導について

[1] 半無限直立防波堤に任意の角度で波が入射する場合の理論式

いま、座標系を附図-1 のように極座標で表わせば、Helmholz の方程式は (1-1) 式のようになる。

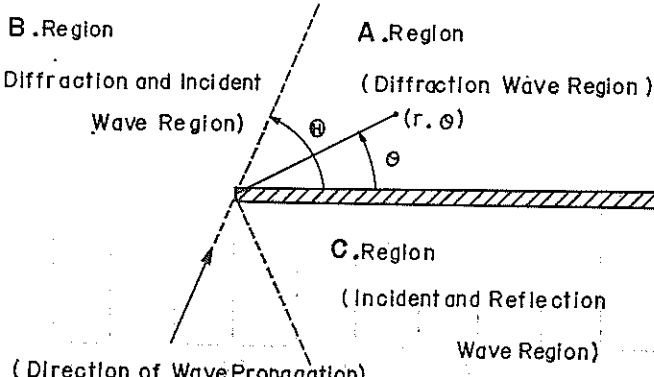
$$\frac{\partial^3 F(r, \theta)}{\partial r^3} + \frac{1}{r} \frac{\partial F(r, \theta)}{\partial r} + \frac{1}{r^2} \frac{\partial^2 F(r, \theta)}{\partial \theta^2} + k^2 F(r, \theta) = 0 \quad (1-1)$$

(1-1)式を、防波堤に沿う境界面で防波堤壁面に垂直な流体の分速度が 0 で、 $r$  が無限に大きく、 $\theta = 180^\circ$  のとき、 $F(r, \theta) = e^{-ikrcos(\theta-\Theta)}$  なる条件のもとに解けばつぎのようになる。ここに、 $\Theta$  は波の防波堤に対する入射角度である。

$$F(r, \theta) = e^{-ikrcos(\theta-\Theta)} \frac{1}{\sqrt{2}} e^{i\pi/4} \\ \times \int_{-\infty}^{2\sqrt{kr}/\pi \sin((\theta-\Theta)/2)} e^{-i\pi w^2/2} dw \\ + e^{-ikrcos(\theta-\Theta)} \frac{1}{\sqrt{2}} e^{i\pi/4} \\ \times \int_{-\infty}^{-2\sqrt{kr}/\pi \sin((\theta+\Theta)/2)} e^{-i\pi w^2/2} dw \quad (1-2)$$

(1-2)式で

$$\left\{ \begin{array}{l} u_1 = 2\sqrt{\frac{kr}{\pi}} \sin\left(\frac{\theta-\Theta}{2}\right) \\ u_2 = -2\sqrt{\frac{kr}{\pi}} \sin\left(\frac{\theta+\Theta}{2}\right) \\ f(u_1) = \frac{1}{\sqrt{2}} e^{i\pi/4} \int_{-\infty}^{u_1} e^{-i\pi w^2/2} dw \\ g(u_2) = \frac{1}{\sqrt{2}} e^{i\pi/4} \int_{-\infty}^{u_2} e^{-i\pi w^2/2} dw \end{array} \right. \quad (1-3)$$



附図-1 半無限直立防波堤に波が斜めに入射する場合の回折  
Diffraction from semi-infinite breakwater when waves propagate to breakwater with inclined angle

とおくと、つぎのようになる。

$$F(r, \theta) = f(u_1) e^{-ikrcos(\theta-\Theta)} + g(u_2) e^{-ikrcos(\theta+\Theta)} \quad (1-4)$$

ここに、 $u_1, u_2$  は④領域では共に負の符号を持ち、⑩の領域では  $u_1$  は正、 $u_2$  は負の符号を持ち、◎領域では共に正の符号を持つ。

ここで、 $f(-u_1), g(-u_2)$  をつぎのようにおけば、④領域、⑩領域の回折係数はそれぞれ (1-7)'式、(1-8)'式により求められる。

$$\left\{ \begin{array}{l} f(-u_1) = S_1 + iW_1 \\ g(-u_2) = S_2 + iW_2 \end{array} \right. \quad (1-5)$$

ここに、

$$\left\{ \begin{array}{l} S_i = \frac{1}{2} [1 - C(u_i) - S(u_i)] \\ W_i = \frac{1}{2} S(u_i) - C(u_i) \end{array} \right. \quad (i=1, 2) \quad (1-6)$$

である。

④領域（回折波領域）においては、 $u_1, u_2$  ともに負であるからつぎのようになる。

$$F(r, \theta) = e^{-ikrcos(\theta-\Theta)} f(-u_1) + e^{-ikrcos(\theta+\Theta)} g(-u_2) \\ = [S_1 \cos(krcos(\theta-\Theta)) + W_1 \sin(krcos(\theta-\Theta))] \\ + [S_2 \cos(krcos(\theta+\Theta)) + W_2 \sin(krcos(\theta+\Theta))] \\ + i[-S_1 \sin(krcos(\theta-\Theta)) + W_1 \cos(krcos(\theta-\Theta))] \\ - S_2 \sin(krcos(\theta+\Theta)) + W_2 \cos(krcos(\theta+\Theta))] \\ = R_{\text{④}} + iI_{\text{④}} \quad (1-7) \\ \therefore K = \sqrt{R_{\text{④}}^2 + I_{\text{④}}^2} \quad (1-7)'$$

⑩領域では  $u_1$  が正、 $u_2$  が負であるからつぎのようになる。

$$\left\{ \begin{array}{l} A.\text{Region} \\ (\text{Diffraction Wave Region}) \\ \theta \\ (r, \theta) \\ \Theta \\ B.\text{Region} \\ (\text{Diffraction and Incident Wave Region}) \\ C.\text{Region} \\ (\text{Incident and Reflection Wave Region}) \end{array} \right.$$

$$\begin{aligned}
F(r, \theta) &= e^{-ikr\cos(\theta-\Theta)} \{1 - f(-u_1)\} \\
&\quad + e^{-ikr\cos(\theta-\Theta)} g(-u_2) \\
&= \{\cos[kr\cos(\theta-\Theta)] - S_1 \cos[kr\cos(\theta-\Theta)] \\
&\quad - W_1 \sin[kr\cos(\theta-\Theta)] + S_2 \cos[kr\cos(\theta+\Theta)] \\
&\quad + W_2 \sin[kr\cos(\theta+\Theta)]\} + i\{-\sin[kr\cos(\theta-\Theta)] \\
&\quad + S_1 \sin[kr\cos(\theta-\Theta)] - W_1 \cos[kr\cos(\theta-\Theta)] \\
&\quad - S_2 \sin[kr\cos(\theta+\Theta)] + W_2 \cos[kr\cos(\theta+\Theta)]\} \\
&= R_{\textcircled{B}} + iI_{\textcircled{B}} \quad \dots \dots \dots \quad (1-8) \\
&\therefore K = \sqrt{R_{\textcircled{B}}^2 + I_{\textcircled{B}}^2} \quad \dots \dots \dots \quad (1-8)'
\end{aligned}$$

つぎに、◎領域（入射波反射波領域）においても同様な演算を行なえばつぎのようになる。この領域では  $u_1, u_2$  ともに正である。

$$\begin{aligned}
F(r, \theta) &= e^{-ikr\cos(\theta-\Theta)} \cdot \{1 - f(-u_1)\} \\
&\quad + e^{-ikr\cos(\theta-\Theta)} \cdot \{1 - g(-u_2)\} \\
&= \{\cos[kr\cos(\theta-\Theta)] + \cos[kr\cos(\theta+\Theta)] \\
&\quad - S_1 \cos[kr\cos(\theta-\Theta)] - S_2 \cos[kr\cos(\theta+\Theta)] \\
&\quad - W_1 \sin[kr\cos(\theta-\Theta)] - W_2 \sin[kr\cos(\theta+\Theta)] \\
&\quad + i\{-\sin[kr\cos(\theta-\Theta)] - \sin[kr\cos(\theta+\Theta)]\} \\
&\quad + S_1 \sin[kr\cos(\theta-\Theta)] + S_2 \sin[kr\cos(\theta+\Theta)] \\
&\quad - W_1 \cos[kr\cos(\theta-\Theta)] - W_2 \cos[kr\cos(\theta+\Theta)]\} \\
&= R_{\textcircled{O}} + iI_{\textcircled{O}} \quad \dots \dots \dots \quad (1-9) \\
&\therefore K = \sqrt{R_{\textcircled{O}}^2 + I_{\textcircled{O}}^2} \quad \dots \dots \dots \quad (1-9)'
\end{aligned}$$

[2] 防波堤開口部に直角に入射する場合の理論式  
Blue の重ね合わせの原理によれば、この場合の回折式は、附図-2 に示すようになる。この場合、原点は開

口部の中心点にとつている。

右防波堤に関する項にサフィックス 1 を、左防波堤に関する項にサフィックス 2 をつけて表わせば、2 つの領域でつぎのようになる。

$0 \leq x \leq B/2$  のとき

$$\begin{aligned}
F(x, y) &= e^{-iky} - e^{-iky} f(-u_1)_1 + e^{iky} g(-u_2)_1 \\
&\quad - e^{-iky} f(-u_1)_2 + e^{iky} g(-u_2)_2 \quad \dots \dots \quad (2-1)
\end{aligned}$$

$B/2 \leq x$  のとき

$$\begin{aligned}
F(x, y) &= e^{-iky} f(-u_1)_1 + e^{iky} g(-u_2)_1 - e^{-iky} f(-u_1)_2 \\
&\quad + e^{iky} g(-u_2)_2 \quad \dots \dots \dots \quad (2-2)
\end{aligned}$$

いま

$$\begin{cases} f(-u_1)_1 = S_{11} + iW_{11} \\ g(-u_2)_1 = S_{21} + iW_{21} \\ f(-u_1)_2 = S_{12} + iW_{12} \\ g(-u_2)_2 = S_{22} + iW_{22} \end{cases} \quad \dots \dots \dots \quad (2-3)$$

とおくと、回折係数はつぎのようになる。

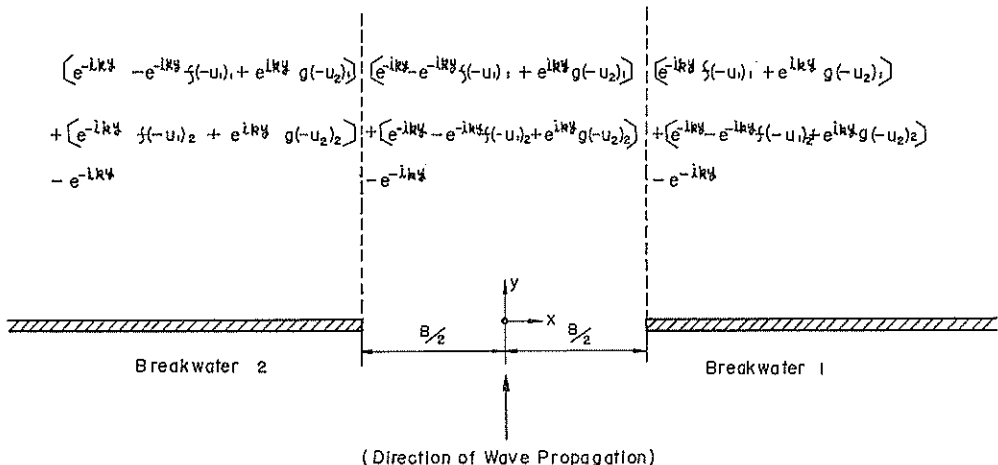
$0 \leq x \leq B/2$  のとき

$$\begin{aligned}
F(x, y) &= \{(1 - S_{11} + S_{21} + S_{12} + S_{22}) \cos ky \\
&\quad + (-W_{11} - W_{21} - W_{12} - W_{22}) \sin ky\} \\
&\quad + i\{(-1 + S_{11} + S_{21} + S_{12} + S_{22}) \sin ky \\
&\quad + (-W_{11} + W_{21} - W_{12} + W_{22}) \cos ky\} \\
&= R_1 + iI_1 \quad \dots \dots \dots \quad (2-4)
\end{aligned}$$

$$\therefore K = \sqrt{R_1^2 + I_1^2} \quad \dots \dots \dots \quad (2-5)$$

$B/2 \leq x$  のとき

$$F(x, y) = \{(S_{11} - S_{21} - S_{12} + S_{22}) \cos ky$$



(Direction of Wave Propagation)

附図-2 開口部に直角に入射する場合の回折式  
Diffraction equation from breakwater gap when waves propagate to breakwater at right angle

$$\begin{aligned}
& + (W_{11} - W_{21} - W_{12} + W_{22}) \sin ky \\
& + i \{ (-S_{11} + S_{21} + S_{12} + S_{22}) \sin ky \\
& + (W_{11} + W_{12} - W_{21} + W_{22}) \cos ky \} \\
= & R_2^2 + i I_2^2 \quad \dots \dots \dots \quad (2-6)
\end{aligned}$$

$$\therefore K = \sqrt{R_2^2 + I_2^2} \quad \dots \dots \dots \quad (2-7)$$

ここで、

$$S_{ij} = \frac{1}{2} \{ 1 - C(u_i)_j - S(u_i)_j \}$$

$$W_{ij} = \frac{1}{2} \{ S(u_i)_j - C(u_i)_j \}$$

(i, j = 1, 2)

であり、Fresnel 積分の上限値  $u_1$ ,  $u_2$  はつぎのようになる。

右防波堤 1 に関する  $u_{11}$ ,  $u_{21}$  は、

$$u_{11}^2 = \frac{4(r_1 - y)}{L} = 4 \left[ \sqrt{\left( \frac{x - B/2}{L} \right)^2 + \left( \frac{y}{L} \right)^2} - \frac{y}{L} \right]$$

$$u_{21}^2 = \frac{4(r_1 + y)}{L} = 4 \left[ \sqrt{\left( \frac{x - B/2}{L} \right)^2 + \left( \frac{y}{L} \right)^2} + \frac{y}{L} \right]$$

左防波堤 2 に関する  $u_{12}$ ,  $u_{22}$  は

$$u_{12} = \frac{4(r_2 - y)}{L} = 4 \left[ \sqrt{\left( \frac{x + B/2}{L} \right)^2 + \left( \frac{y}{L} \right)^2} - \frac{y}{L} \right]$$

$$u_{22} = \frac{4(r_2 + y)}{L} = 4 \left[ \sqrt{\left( \frac{x + B/2}{L} \right)^2 + \left( \frac{y}{L} \right)^2} + \frac{y}{L} \right]$$

である。

## 附録-2 Fresnel の積分表

$$C(x) = \int_0^x \cos \frac{\pi}{2} x^2 dx$$

$$S(x) = \int_0^x \sin \frac{\pi}{2} x^2 dx$$

(表-1-1～表-1-12)

表—1—

$x$	$C(x)$	$s(x)$	$x$	$C(x)$	$s(x)$	$x$	$C(x)$	$s(x)$	$x$	$C(x)$	$s(x)$	$x$	$C(x)$	$s(x)$
0.00	0.0000	0.0300	1.00	0.7799	0.4383	2.00	0.4383	0.3434	3.00	0.6057	0.4963	4.00	0.4994	0.4205
0.01	0.0100	0.0300	1.01	0.7797	0.4483	2.01	0.43982	0.3437	3.01	0.6052	0.5063	4.01	0.5094	0.4211
0.02	0.0200	0.0300	1.02	0.7795	0.4582	2.02	0.43982	0.3447	3.02	0.6038	0.5162	4.02	0.5132	0.4230
0.03	0.0300	0.0300	1.03	0.7795	0.4682	2.03	0.5161	0.3462	3.03	0.6015	0.5259	4.03	0.5277	0.4261
0.04	0.0400	0.0300	1.04	0.7774	0.4782	2.04	0.5278	0.3484	3.04	0.5982	0.5354	4.04	0.5365	0.4294
0.05	0.0500	0.0301	1.05	0.7759	0.4882	2.05	0.5374	0.3515	3.05	0.5941	0.5459	4.05	0.5452	0.4328
0.06	0.0600	0.0301	1.06	0.7741	0.4979	2.06	0.5468	0.3547	3.06	0.5891	0.5531	4.06	0.5528	0.4362
0.07	0.0700	0.0302	1.07	0.7723	0.5077	2.07	0.5560	0.3547	3.07	0.5833	0.5613	4.07	0.5596	0.4400
0.08	0.0800	0.0303	1.08	0.7599	0.5174	2.08	0.5648	0.3633	3.08	0.5767	0.5688	4.08	0.5656	0.4457
0.09	0.0900	0.0304	1.09	0.7669	0.5270	2.09	0.5734	0.3645	3.09	0.5695	0.5757	4.09	0.5701	0.4465
0.10	0.1000	0.0305	1.10	0.7634	0.5365	2.10	0.5816	0.3743	3.10	0.5616	0.5818	4.10	0.5737	0.4758
0.11	0.1100	0.0307	1.11	0.7604	0.5559	2.11	0.5894	0.3845	3.11	0.5531	0.5882	4.11	0.5760	0.4855
0.12	0.1200	0.0309	1.12	0.7567	0.5592	2.12	0.5962	0.3873	3.12	0.5442	0.5917	4.12	0.5771	0.4955
0.13	0.1300	0.0312	1.13	0.7526	0.5653	2.13	0.6036	0.3945	3.13	0.5349	0.5952	4.13	0.5761	0.5054
0.14	0.1400	0.0314	1.14	0.7482	0.5753	2.14	0.6100	0.4022	3.14	0.5253	0.5979	4.14	0.5753	0.5153
0.15	0.1500	0.0318	1.15	0.7433	0.5821	2.15	0.6164	0.4103	3.15	0.5153	0.5996	4.15	0.5725	0.5249
0.16	0.1600	0.0321	1.16	0.7385	0.5958	2.16	0.6212	0.4186	3.16	0.5056	0.6033	4.16	0.5685	0.5341
0.17	0.1700	0.0326	1.17	0.7332	0.5993	2.17	0.6259	0.4276	3.17	0.4954	0.6061	4.17	0.5633	0.5426
0.18	0.1800	0.0331	1.18	0.7276	0.6075	2.18	0.6300	0.4367	3.18	0.4855	0.5988	4.18	0.5570	0.5504
0.19	0.1899	0.0316	1.19	0.7217	0.6156	2.19	0.6335	0.4461	3.19	0.4758	0.5966	4.19	0.5499	0.5573
0.20	0.1999	0.0442	1.20	0.7154	0.6234	2.20	0.6363	0.4557	3.20	0.4663	0.5933	4.20	0.5151	0.5632
0.21	0.2099	0.0448	1.21	0.7069	0.6310	2.21	0.6384	0.4655	3.21	0.4572	0.5892	4.21	0.5322	0.5686
0.22	0.2199	0.0356	1.22	0.7021	0.6385	2.22	0.6399	0.4754	3.22	0.4486	0.5882	4.22	0.5236	0.5716
0.23	0.2298	0.0364	1.23	0.6950	0.6454	2.23	0.6407	0.4853	3.23	0.4409	0.5783	4.23	0.5139	0.5734
0.24	0.2398	0.0372	1.24	0.6877	0.6522	2.24	0.6408	0.4955	3.24	0.4331	0.5716	4.24	0.5040	0.5749
0.25	0.2498	0.0382	1.25	0.6801	0.6587	2.25	0.6409	0.5053	3.25	0.4263	0.6642	4.25	0.4940	0.5760
0.26	0.2597	0.0392	1.26	0.6722	0.6584	2.26	0.6388	0.5152	3.26	0.4203	0.5562	4.26	0.4861	0.5731
0.27	0.2696	0.0403	1.27	0.6641	0.6707	2.27	0.6368	0.5258	3.27	0.4153	0.5476	4.27	0.4747	0.5705
0.28	0.2796	0.0415	1.28	0.6563	0.6765	2.28	0.6340	0.5346	3.28	0.4111	0.5395	4.28	0.4655	0.5653
0.29	0.2895	0.0428	1.29	0.6473	0.6815	2.29	0.6300	0.5440	3.29	0.4079	0.5290	4.29	0.4571	0.5604
0.30	0.2994	0.0441	1.30	0.6390	0.6665	2.30	0.6266	0.5512	3.30	0.4057	0.5193	4.30	0.4494	0.5540
0.31	0.3093	0.0456	1.31	0.6293	0.6808	2.31	0.6218	0.5620	3.31	0.4045	0.5094	4.31	0.4428	0.5466
0.32	0.3192	0.0471	1.32	0.6205	0.6950	2.32	0.6164	0.5704	3.32	0.4043	0.4994	4.32	0.4371	0.5383
0.33	0.3290	0.0488	1.33	0.6112	0.6887	2.33	0.6105	0.5784	3.33	0.4052	0.4894	4.33	0.4327	0.5294
0.34	0.3399	0.0205	1.34	0.6014	0.7021	2.34	0.6040	0.5860	3.34	0.4071	0.4796	4.34	0.4295	0.5197
0.35	0.3497	0.0224	1.35	0.5923	0.7050	2.35	0.5970	0.5931	3.35	0.4100	0.4700	4.35	0.4276	0.5101
0.36	0.3595	0.0244	1.36	0.5826	0.7076	2.36	0.5900	0.5996	3.36	0.4130	0.4608	4.36	0.4270	0.5081
0.37	0.3693	0.0264	1.37	0.5722	0.7097	2.37	0.5818	0.6058	3.37	0.4148	0.4521	4.37	0.4279	0.4902
0.38	0.3790	0.0286	1.38	0.5633	0.7114	2.38	0.5729	0.6178	3.38	0.4246	0.4439	4.38	0.4301	0.4804
0.39	0.3878	0.0309	1.39	0.5531	0.7127	2.39	0.5647	0.6157	3.39	0.4211	0.4364	4.39	0.4336	0.4711
0.40	0.3975	0.0334	1.40	0.5433	0.7135	2.40	0.5550	0.6197	3.40	0.4386	0.4296	4.40	0.4383	0.4623
0.41	0.4072	0.0359	1.41	0.5331	0.7139	2.41	0.5456	0.6230	3.41	0.4446	0.4237	4.41	0.4443	0.4542
0.42	0.4168	0.0316	1.42	0.5231	0.7139	2.42	0.5359	0.6256	3.42	0.4451	0.4166	4.42	0.4512	0.4471
0.43	0.4264	0.0418	1.43	0.5131	0.7134	2.43	0.5261	0.6275	3.43	0.4464	0.4145	4.43	0.4591	0.4410
0.44	0.4359	0.0443	1.44	0.5032	0.7125	2.44	0.5161	0.6296	3.44	0.4473	0.4114	4.44	0.4678	0.4360
0.45	0.4455	0.0474	1.45	0.4933	0.7111	2.45	0.5067	0.6295	3.45	0.4485	0.4094	4.45	0.4727	0.4323
0.46	0.4549	0.0506	1.46	0.4833	0.7093	2.46	0.4961	0.6295	3.46	0.4495	0.4084	4.46	0.4768	0.4299
0.47	0.4646	0.0539	1.47	0.4737	0.7070	2.47	0.4862	0.6273	3.47	0.4506	0.4055	4.47	0.4867	0.4287
0.48	0.4743	0.0574	1.48	0.4641	0.7043	2.48	0.4768	0.6254	3.48	0.4513	0.4097	4.48	0.5167	0.4293
0.49	0.4831	0.0610	1.49	0.4546	0.7011	2.49	0.4668	0.6226	3.49	0.4523	0.4119	4.49	0.5165	0.4311
0.50	0.4925	0.0627	1.50	0.4453	0.6975	2.50	0.4570	0.6162	3.50	0.5326	0.4152	4.50	0.5262	0.4333
0.51	0.5016	0.0646	1.51	0.4361	0.6935	2.51	0.4473	0.6150	3.51	0.5410	0.4166	4.51	0.5350	0.4367
0.52	0.5107	0.0677	1.52	0.4274	0.6890	2.52	0.4386	0.6141	3.52	0.5501	0.4249	4.52	0.5432	0.4444
0.53	0.5197	0.0764	1.53	0.4185	0.6847	2.53	0.4313	0.6145	3.53	0.5574	0.4311	4.53	0.5505	0.4512
0.54	0.5294	0.0612	1.54	0.4104	0.6768	2.54	0.4239	0.6043	3.54	0.5656	0.4361	4.54	0.5648	0.4596
0.55	0.5377	0.0557	1.55	0.4014	0.6731	2.55	0.4161	0.6015	3.55	0.5713	0.4454	4.55	0.5619	0.4675
0.56	0.5466	0.0704	1.56	0.3937	0.6670	2.56	0.4094	0.5942	3.56	0.5767	0.4543	4.56	0.5656	0.4768
0.57	0.5553	0.0952	1.57	0.3864	0.6605	2.57	0.4033	0.5763	3.57	0.5811	0.4633	4.57	0.5683	0.4864
0.58	0.5640	0.1031	1.58	0.3794	0.6536	2.58	0.3970	0.5679	3.58	0.5845	0.4727	4.58	0.5694	0.4964
0.59	0.5726	0.1053	1.59	0.3724	0.6464	2.59	0.3930	0.5593	3.59	0.5868	0.4824	4.59	0.5690	0.5068
0.60	0.5811	0.1105	1.60	0.3655	0.6389	2.60	0.3898	0.5503	3.60	0.5880	0.4923	4.60	0.5672	0.5162
0.61	0.5895	0.1160	1.61	0.3595	0.6310	2.61	0.3856	0.5406	3.61	0.5880	0.5023	4.61	0.5641	0.5257
0.62	0.5979	0.1216	1.62	0.3535	0.6229	2.62	0.3831	0.5309	3.62	0.5863	0.5122	4.62	0.5595	0.5346
0.63	0.6059	0.1273	1.63	0.3484	0.6143	2.63	0.3818	0.5210	3.63	0.5846	0.5220	4.63	0.5538	0.5427
0.64	0.6140	0.1333	1.64	0.3433	0.6057	2.64	0.3805	0.5113	3.64	0.5815	0.5314	4.64	0.5469	0.5506
0.65	0.6219	0.1393	1.65	0.3384	0.5968	2.65	0.3808	0.5013	3.65	0.5773	0.5404	4.65	0.5391	0.5562
0.66	0.6287	0.1456	1.66	0.3313	0.5876	2.66	0.3792	0.4913	3.66	0.5711	0.5494	4.66	0.5304	0.5611
0.67	0.6374	0.1520	1.67	0.3232	0.6095	2.67	0.3828	0.4812	3.67	0.5655	0.5562	4.67	0.5211	0.5648
0.68	0.6450	0.1545	1.68	0.3283	0.6087	2.68	0.3853	0.4715	3.68	0.5584	0.5637	4.68	0.5114	0.5670
0.69	0.6524	0.1653	1.69	0.3243	0.4699	2.69	0.3895	0.4604	3.69	0.5497	0.5715	4.69	0.4939	0.5687
0.70	0.6597	0.1721	1.70	0.3233	0.5692	2.70	0.3925	0.4579	3.70	0.5410	0.5761	4.70	0.4914	0.5671
0.71	0.6668	0.1792	1.71	0.3224	0.5593	2.71	0.3973	0.4443	3.71	0.5320	0.5769	4.71	0.4817	0.5650
0.72	0.6737	0.1944	1.72	0.3217	0.5493	2.72	0.4023	0.4346	3.72	0.5233	0.5822	4.72	0.4723	0.5615
0.73	0.6805	0.1937	1.73	0.3211	0.5494	2.73	0.4092	0.4279	3.73	0.5130	0.5847	4.73	0.4636	0.5566
0.74	0.6871	0.2012												

表—1—2

x	C(x)	S(x)												
5.30	0.5616	0.4392	6.00	0.4995	0.4470	7.00	0.5455	0.4997	8.01	0.4948	0.4602	9.00	0.5354	0.4999
5.01	0.5628	0.4392	6.01	0.5095	0.4479	7.01	0.5448	0.4996	8.01	0.5097	0.4615	9.01	0.5340	0.5097
5.02	0.5605	0.5197	6.02	0.5191	0.4507	7.02	0.5411	0.5191	8.02	0.5190	0.4651	9.02	0.5299	0.5188
5.03	0.5557	0.5231	6.03	0.5281	0.4552	7.03	0.5159	0.5276	8.03	0.5270	0.4710	9.03	0.5234	0.5268
5.04	0.5514	0.5366	6.04	0.5354	0.4614	7.04	0.5290	0.5347	8.04	0.5334	0.4787	9.04	0.5150	0.5318
5.05	0.5449	0.5442	6.05	0.5424	0.4689	7.05	0.5206	0.4902	8.05	0.5373	0.4877	9.05	0.5055	0.5347
5.06	0.5373	0.5506	6.06	0.5473	0.4775	7.06	0.5112	0.4837	8.06	0.5394	0.4975	9.06	0.4955	0.5348
5.07	0.5248	0.5558	6.07	0.5503	0.4869	7.07	0.5014	0.4950	8.07	0.5387	0.5075	9.07	0.4859	0.5322
5.08	0.5195	0.5575	6.08	0.5622	0.4968	7.08	0.4911	0.5441	8.08	0.5356	0.5170	9.08	0.4775	0.5269
5.09	0.5098	0.5617	6.09	0.5517	0.5068	7.09	0.4819	0.5411	8.09	0.5301	0.5253	9.09	0.4709	0.5194
5.10	0.4998	0.5624	6.10	0.5495	0.5165	7.10	0.4733	0.5360	8.10	0.5224	0.5320	9.10	0.4666	0.5104
5.11	0.4898	0.5614	6.11	0.5451	0.5256	7.11	0.4646	0.5242	8.11	0.5139	0.5367	9.11	0.4651	0.5086
5.12	0.4892	0.5559	6.12	0.5394	0.5337	7.12	0.4605	0.5289	8.12	0.5042	0.5390	9.12	0.4666	0.4907
5.13	0.4710	0.5597	6.13	0.5242	0.5406	7.13	0.4569	0.5116	8.13	0.4943	0.5387	9.13	0.4704	0.4816
5.14	0.4627	0.5474	6.14	0.5233	0.5460	7.14	0.4555	0.5017	8.14	0.4847	0.5360	9.14	0.4676	0.4740
5.15	0.4553	0.5427	6.15	0.5147	0.5496	7.15	0.4563	0.4918	8.15	0.4761	0.5309	9.15	0.4652	0.4685
5.16	0.4491	0.5348	6.16	0.5044	0.5511	7.16	0.4592	0.4922	8.16	0.4691	0.5238	9.16	0.4647	0.4657
5.17	0.4443	0.5201	6.17	0.4947	0.5513	7.17	0.4603	0.4736	8.17	0.4641	0.5151	9.17	0.5047	0.4656
5.18	0.4479	0.5157	6.18	0.4851	0.5493	7.18	0.4711	0.4666	8.18	0.4615	0.5055	9.18	0.5143	0.4684
5.19	0.4391	0.5069	6.19	0.4757	0.5454	7.19	0.4794	0.4208	8.19	0.4616	0.4955	9.19	0.5225	0.4738
5.20	0.4339	0.4709	6.20	0.4670	0.5398	7.20	0.4887	0.4575	8.20	0.4634	0.4859	9.20	0.5291	0.4814
5.21	0.4403	0.4370	6.21	0.4600	0.5327	7.21	0.4986	0.4559	8.21	0.4687	0.4772	9.21	0.5332	0.4904
5.22	0.4344	0.4775	6.22	0.4553	0.5244	7.22	0.5066	0.4566	8.22	0.4736	0.4700	9.22	0.5345	0.5003
5.23	0.4475	0.4536	6.23	0.5112	0.5152	7.23	0.5181	0.4859	8.23	0.4841	0.4648	9.23	0.5330	0.5102
5.24	0.4519	0.4605	6.24	0.4949	0.5054	7.24	0.5266	0.4650	8.24	0.4936	0.4619	9.24	0.5286	0.5191
5.25	0.4610	0.4536	6.25	0.4943	0.4954	7.25	0.5338	0.4719	8.25	0.5036	0.4616	9.25	0.5219	0.5265
5.27	0.4773	0.4437	6.27	0.4551	0.4764	7.27	0.5426	0.4807	8.27	0.5221	0.4665	9.27	0.5037	0.5314
5.28	0.4879	0.4410	6.28	0.4600	0.4851	7.28	0.5437	0.4906	8.28	0.5274	0.4753	9.28	0.4936	0.5337
5.29	0.4979	0.4399	6.29	0.4677	0.4411	7.29	0.5426	0.5095	8.29	0.5348	0.4837	9.29	0.4894	0.5305
5.30	0.5074	0.4405	6.30	0.4760	0.4555	7.30	0.5393	0.5189	8.30	0.5577	0.4932	9.30	0.4763	0.5247
5.31	0.5175	0.4427	6.31	0.4882	0.4518	7.31	0.5339	0.5273	8.31	0.5562	0.5032	9.31	0.4702	0.5168
5.32	0.5256	0.4465	6.32	0.4951	0.4899	7.32	0.5267	0.5343	8.32	0.5360	0.5129	9.32	0.4667	0.5074
5.33	0.5352	0.4518	6.33	0.5050	0.4500	7.33	0.5182	0.5304	8.33	0.5314	0.5218	9.33	0.4660	0.4975
5.34	0.5427	0.4524	6.34	0.5141	0.4528	7.34	0.5077	0.5425	8.34	0.5247	0.5291	9.34	0.4692	0.4878
5.35	0.5470	0.4602	6.35	0.5243	0.4550	7.35	0.5027	0.5433	8.35	0.5163	0.5345	9.35	0.4731	0.4791
5.36	0.5536	0.4719	6.36	0.5322	0.4617	7.36	0.4989	0.5418	8.36	0.5067	0.5375	9.36	0.4803	0.4723
5.37	0.5572	0.4344	6.37	0.5391	0.4589	7.37	0.4976	0.5381	8.37	0.4968	0.5379	9.37	0.4892	0.4678
5.38	0.5539	0.4342	6.38	0.4944	0.4773	7.38	0.4714	0.5523	8.38	0.4870	0.5357	9.38	0.4990	0.4661
5.39	0.5559	0.5042	6.39	0.5483	0.4806	7.39	0.4688	0.5249	8.39	0.4782	0.5311	9.39	0.5089	0.4673
5.40	0.5572	0.5110	6.40	0.5490	0.4965	7.40	0.4601	0.5161	8.40	0.4700	0.5243	9.40	0.5180	0.4713
5.41	0.5539	0.5235	6.41	0.5482	0.5065	7.41	0.4575	0.5066	8.41	0.4655	0.5158	9.41	0.5256	0.4779
5.42	0.5471	0.5322	6.42	0.5400	0.5162	7.42	0.4573	0.4945	8.42	0.4627	0.5063	9.42	0.5309	0.4863
5.43	0.5428	0.5400	6.43	0.5426	0.5252	7.43	0.4593	0.4867	8.43	0.4626	0.4963	9.43	0.5335	0.4959
5.44	0.5354	0.5466	6.44	0.5360	0.5332	7.44	0.4635	0.4777	8.44	0.4697	0.4866	9.44	0.5332	0.5059
5.45	0.5269	0.5518	6.45	0.5292	0.5398	7.45	0.4697	0.4698	8.45	0.4605	0.4779	9.45	0.5300	0.5153
5.46	0.5176	0.5596	6.46	0.5205	0.5448	7.46	0.4776	0.4637	8.46	0.4764	0.4707	9.46	0.5212	0.5234
5.47	0.5078	0.5576	6.47	0.5113	0.5479	7.47	0.4867	0.4505	8.47	0.4850	0.4656	9.47	0.5163	0.5294
5.48	0.4978	0.5590	6.48	0.5011	0.5491	7.48	0.4964	0.4576	8.48	0.4966	0.4629	9.48	0.5069	0.5329
5.49	0.4879	0.5567	6.49	0.4912	0.5462	7.49	0.5049	0.4580	8.49	0.5095	0.4628	9.49	0.4970	0.5334
5.50	0.4734	0.5537	6.50	0.4910	0.5454	7.50	0.5160	0.4607	8.50	0.5142	0.4653	9.50	0.4873	0.5310
5.51	0.4676	0.5441	6.51	0.4729	0.5406	7.51	0.5247	0.4656	8.51	0.5226	0.4703	9.51	0.4798	0.5259
5.52	0.4616	0.5430	6.52	0.4684	0.5342	7.52	0.5320	0.4724	8.52	0.5216	0.4775	9.52	0.4721	0.5194
5.53	0.4549	0.5357	6.53	0.4593	0.5264	7.53	0.5376	0.4807	8.53	0.5347	0.4862	9.53	0.4677	0.5094
5.54	0.4474	0.5273	6.54	0.4594	0.5174	7.54	0.5413	0.4900	8.54	0.5370	0.4958	9.54	0.4666	0.4995
5.55	0.4486	0.5161	6.55	0.4523	0.5078	7.55	0.5422	0.4999	8.55	0.5308	0.5058	9.55	0.4653	0.4897
5.56	0.4434	0.5043	6.56	0.4519	0.4778	7.56	0.5419	0.5098	8.56	0.5339	0.5153	9.56	0.4728	0.4808
5.57	0.4429	0.4944	6.57	0.4531	0.4879	7.57	0.5374	0.5192	8.57	0.5285	0.5238	9.57	0.4797	0.4736
5.58	0.4412	0.4934	6.58	0.4560	0.4766	7.58	0.5318	0.5274	8.58	0.5212	0.5305	9.58	0.4885	0.4688
5.59	0.4471	0.4799	6.59	0.4624	0.4702	7.59	0.5244	0.5341	8.59	0.5123	0.5350	9.59	0.4982	0.4669
5.60	0.4517	0.4700	6.60	0.4651	0.4631	7.60	0.5156	0.5389	8.60	0.5025	0.5369	9.60	0.5081	0.4679
5.61	0.4574	0.4621	6.61	0.4773	0.4575	7.61	0.5050	0.5418	8.61	0.4925	0.5329	9.61	0.5173	0.4718
5.62	0.4652	0.4574	6.62	0.4666	0.4558	7.62	0.4920	0.5416	8.62	0.4831	0.5329	9.62	0.5249	0.4782
5.63	0.4736	0.4500	6.63	0.4904	0.4521	7.63	0.4823	0.5394	8.63	0.4795	0.5271	9.63	0.5302	0.4866
5.64	0.4828	0.4462	6.64	0.5004	0.4525	7.64	0.4773	0.5350	8.64	0.4697	0.5194	9.64	0.5328	0.4962
5.65	0.4976	0.4442	6.65	0.5161	0.4599	7.65	0.4667	0.5285	8.65	0.4647	0.5103	9.65	0.5324	0.5062
5.66	0.5056	0.4438	6.66	0.5250	0.4593	7.66	0.4628	0.5205	8.66	0.4632	0.5004	9.66	0.5290	0.5156
5.67	0.5125	0.4455	6.67	0.5302	0.4564	7.67	0.4601	0.5112	8.67	0.4645	0.4905	9.67	0.5230	0.5235
5.68	0.5191	0.4434	6.68	0.5393	0.4731	7.68	0.4586	0.5014	8.68	0.4684	0.4813	9.68	0.5149	0.5293
5.69	0.5377	0.4540	6.69	0.4927	0.5185	7.69	0.5356	0.4804	8.69	0.5332	0.5145	9.69	0.5054	0.5324
5.70	0.5345	0.4575	6.70	0.4567	0.4915	7.70	0.4628	0.4620	8.70	0.4927	0.4677	9.70	0.4955	0.5325
5.71	0.5459	0.4571	6.71	0.4547	0.5115	7.71	0.4667	0.4737	8.71	0.4921	0.4643	9.71	0.4860	0.5296
5.72	0.5500	0.4757	6.72	0.4540	0.5113	7.72	0.4755	0.4628	8.72	0.5020	0.4636	9.72	0.4777	0.5240
5.73	0.5535	0.4451	6.73	0.4525	0.5267	7.73	0.4846	0.4620	8.73	0.5118	0.4605	9.73	0.4716	0.5162
5.74	0.5592	0.4374	6.74	0.4527	0.5291	7.74	0.4938	0.4593	8.74	0.5207	0.4700	9.74	0.4680	0.5069
5.75	0.5551	0.5049	6.75	0.4502	0.5362	7.75	0.5038	0.4591	8.75	0.5282	0.4768	9.75	0.4675	0.4969</

表—1—3

$x$	$C(x)$	$S(x)$	$-x$	$C(x)$	$S(x)$	$x$	$C(x)$	$S(x)$	$-x$	$C(x)$	$S(x)$	$x$	$C(x)$	$S(x)$	$-x$	$C(x)$	$S(x)$
10.00	0.4999	0.4682	11.00	0.5289	0.4999	12.00	0.4999	0.4735	13.00	0.5245	0.5000	14.00	0.5000	0.4773	15.00	0.5000	0.4773
10.01	0.5097	0.4697	11.01	0.5278	0.5097	12.01	0.5097	0.4753	13.01	0.5225	0.5097	14.01	0.5096	0.4794	15.01	0.5096	0.4794
10.02	0.5146	0.4743	11.02	0.5223	0.5184	12.02	0.5181	0.4807	13.02	0.5166	0.5178	14.02	0.5175	0.4855	15.02	0.5175	0.4855
10.03	0.5236	0.4913	11.03	0.5147	0.5288	12.03	0.5239	0.4987	13.03	0.5093	0.5230	14.03	0.5220	0.4984	15.03	0.5223	0.5043
10.04	0.5301	0.4930	11.04	0.4956	0.5283	12.04	0.5266	0.4983	13.04	0.4986	0.5244	14.04	0.5223	0.5043	15.04	0.5223	0.5043
10.05	0.5337	0.5100	11.05	0.4956	0.5284	12.05	0.5251	0.5082	13.05	0.4886	0.5217	14.05	0.5183	0.5134	15.05	0.5183	0.5134
10.06	0.5301	0.5099	11.06	0.4865	0.5252	12.06	0.5203	0.5169	13.06	0.4812	0.5155	14.06	0.5108	0.5149	15.06	0.5108	0.5149
10.07	0.5255	0.5187	11.07	0.4783	0.5189	12.07	0.5126	0.5232	13.07	0.4766	0.5067	14.07	0.5013	0.5226	15.07	0.5013	0.5226
10.08	0.5194	0.5257	11.08	0.4732	0.5104	12.08	0.5031	0.5262	13.08	0.4756	0.4968	14.08	0.4915	0.5203	15.08	0.4915	0.5203
10.09	0.5095	0.5301	11.09	0.4713	0.5066	12.09	0.4932	0.5254	13.09	0.4792	0.4874	14.09	0.4834	0.5153	15.09	0.4834	0.5153
10.10	0.4996	0.5315	11.10	0.4743	0.4968	12.10	0.4843	0.5211	13.10	0.4860	0.4801	14.10	0.4784	0.5067	15.10	0.4784	0.5067
10.11	0.4898	0.5298	11.11	0.4777	0.4821	12.11	0.4774	0.5117	13.11	0.4951	0.4762	14.11	0.4777	0.4968	15.11	0.4777	0.4968
10.12	0.4810	0.5251	11.12	0.4851	0.4755	12.12	0.4741	0.5044	13.12	0.4950	0.4763	14.12	0.4812	0.4875	15.12	0.4812	0.4875
10.13	0.4742	0.5174	11.13	0.4944	0.4719	12.13	0.4744	0.4945	13.13	0.5141	0.4803	14.13	0.4884	0.4807	15.13	0.4884	0.4807
10.14	0.4649	0.5089	11.14	0.5084	0.4718	12.14	0.4783	0.4853	13.14	0.5240	0.4876	14.14	0.4978	0.4776	15.14	0.4978	0.4776
10.15	0.4687	0.4970	11.15	0.5133	0.4750	12.15	0.4853	0.4703	13.15	0.5240	0.4970	14.15	0.5077	0.4789	15.15	0.5077	0.4789
10.16	0.4706	0.4392	11.16	0.5075	0.4613	12.16	0.4945	0.4744	13.16	0.5232	0.5069	14.16	0.5160	0.4882	15.16	0.5160	0.4882
10.17	0.4755	0.4005	11.17	0.5266	0.4989	12.17	0.5084	0.4782	13.17	0.5184	0.5156	14.17	0.5212	0.4927	15.17	0.5212	0.4927
10.18	0.4829	0.4739	11.18	0.5202	0.4966	12.18	0.5137	0.4777	13.18	0.5106	0.5217	14.18	0.5223	0.5025	15.18	0.5223	0.5025
10.19	0.4929	0.4648	11.19	0.5263	0.5094	12.19	0.5210	0.4845	13.19	0.5000	0.5241	14.19	0.5190	0.5119	15.19	0.5190	0.5119
10.20	0.5014	0.4548	11.20	0.5217	0.5181	12.20	0.5253	0.4935	13.20	0.4912	0.4928	14.20	0.5120	0.5149	15.20	0.5120	0.5149
10.21	0.5116	0.4711	11.21	0.5145	0.5245	12.21	0.5258	0.5034	13.21	0.4829	0.5170	14.21	0.5027	0.5222	15.21	0.5027	0.5222
10.22	0.5201	0.4762	11.22	0.5050	0.5279	12.22	0.5227	0.5128	13.22	0.4775	0.5086	14.22	0.4928	0.5212	15.22	0.4928	0.5212
10.23	0.5266	0.4938	11.23	0.4951	0.5279	12.23	0.5162	0.5208	13.23	0.4760	0.4988	14.23	0.4884	0.5160	15.23	0.4884	0.5160
10.24	0.5303	0.4930	11.24	0.4857	0.5245	12.24	0.5074	0.5249	13.24	0.4785	0.4892	14.24	0.4790	0.5077	15.24	0.4790	0.5077
10.25	0.5379	0.5030	11.25	0.4780	0.5190	12.25	0.4975	0.5259	13.25	0.4887	0.4815	14.25	0.4778	0.4978	15.25	0.4778	0.4978
10.26	0.5284	0.5126	11.26	0.4733	0.5193	12.26	0.4880	0.5233	13.26	0.5034	0.5186	14.26	0.4809	0.4888	15.26	0.4809	0.4888
10.27	0.5229	0.5209	11.27	0.4713	0.4955	12.27	0.4812	0.5168	13.27	0.5036	0.4763	14.27	0.4878	0.4813	15.27	0.4878	0.4813
10.28	0.5057	0.5304	11.28	0.4737	0.4957	12.28	0.4758	0.5041	13.28	0.5126	0.4797	14.28	0.4971	0.4779	15.28	0.4971	0.4779
10.29	0.4957	0.5304	11.29	0.4787	0.4813	12.29	0.4742	0.4983	13.29	0.5196	0.4866	14.29	0.5070	0.4788	15.29	0.5070	0.4788
10.30	0.4957	0.5306	11.30	0.4863	0.4751	12.30	0.4767	0.4847	13.30	0.5236	0.4958	14.30	0.5155	0.4880	15.30	0.5155	0.4880
10.31	0.4862	0.5276	11.31	0.4862	0.4721	12.31	0.4827	0.4807	13.31	0.5232	0.5058	14.31	0.5209	0.4923	15.31	0.5209	0.4923
10.32	0.4792	0.5218	11.32	0.5062	0.4726	12.32	0.4913	0.4757	13.32	0.5189	0.5167	14.32	0.5221	0.5021	15.32	0.5221	0.5021
10.33	0.4724	0.5137	11.33	0.5153	0.4765	12.33	0.5011	0.4782	13.33	0.5112	0.5211	14.33	0.5190	0.5115	15.33	0.5190	0.5115
10.34	0.4695	0.5042	11.34	0.5226	0.4853	12.34	0.5108	0.4766	13.34	0.5017	0.5238	14.34	0.5121	0.5186	15.34	0.5121	0.5186
10.35	0.4698	0.4942	11.35	0.4827	0.5036	12.35	0.4818	0.5024	13.35	0.4914	0.5228	14.35	0.4928	0.5220	15.35	0.4928	0.5220
10.36	0.4733	0.4849	11.36	0.4927	0.5021	12.36	0.5241	0.4908	13.36	0.4835	0.5171	14.36	0.5027	0.5210	15.36	0.5027	0.5210
10.37	0.4795	0.4771	11.37	0.5254	0.5117	12.37	0.5257	0.5096	13.37	0.4770	0.5089	14.37	0.4884	0.5158	15.37	0.4884	0.5158
10.38	0.4879	0.4718	11.38	0.5197	0.5199	12.38	0.5235	0.5103	13.38	0.4762	0.4991	14.38	0.4791	0.5076	15.38	0.4791	0.5076
10.39	0.4976	0.4695	11.39	0.5155	0.5255	12.39	0.5179	0.5185	13.39	0.4787	0.4695	14.39	0.4780	0.4975	15.39	0.4780	0.4975
10.40	0.5075	0.4705	11.40	0.5014	0.5279	12.40	0.5095	0.5238	13.40	0.4888	0.4617	14.40	0.4813	0.4882	15.40	0.4813	0.4882
10.41	0.5166	0.4743	11.41	0.4919	0.5267	12.41	0.4997	0.5256	13.41	0.4936	0.4771	14.41	0.4888	0.4812	15.41	0.4888	0.4812
10.42	0.5240	0.4811	11.42	0.4831	0.5222	12.42	0.4900	0.5216	13.42	0.5035	0.4765	14.42	0.4978	0.4870	15.42	0.4978	0.4870
10.43	0.5288	0.4898	11.43	0.4764	0.5188	12.43	0.4818	0.5180	13.43	0.5126	0.4801	14.43	0.4976	0.4793	15.43	0.4976	0.4793
10.44	0.5305	0.4996	11.44	0.4727	0.5056	12.44	0.4763	0.5097	13.44	0.5198	0.4871	14.44	0.5194	0.4897	15.44	0.5194	0.4897
10.45	0.5290	0.5094	11.45	0.4725	0.4956	12.45	0.4744	0.5000	13.45	0.5233	0.4963	14.45	0.5210	0.4932	15.45	0.5210	0.4932
10.46	0.5243	0.5153	11.46	0.4757	0.4662	12.46	0.4764	0.4902	13.46	0.5224	0.4863	14.46	0.5166	0.4868	15.46	0.5166	0.4868
10.47	0.5171	0.5251	11.47	0.4785	0.4786	12.47	0.4819	0.4820	13.47	0.5096	0.5234	14.47	0.5222	0.4871	15.47	0.5222	0.4871
10.48	0.4959	0.4701	11.48	0.4959	0.5272	12.48	0.4901	0.5233	13.48	0.5142	0.4814	14.48	0.5094	0.4865	15.48	0.5094	0.4865
10.49	0.5058	0.4707	11.49	0.4865	0.5239	12.49	0.4819	0.5177	13.49	0.5200	0.4869	14.49	0.5213	0.4953	15.49	0.5213	0.4953
10.50	0.4845	0.5210	11.50	0.5103	0.4744	12.50	0.5097	0.4765	13.50	0.5238	0.4958	14.50	0.4916	0.5203	15.50	0.4916	0.5203
10.51	0.4870	0.5228	11.51	0.5187	0.4798	12.51	0.5100	0.4820	13.51	0.5220	0.4762	14.51	0.4836	0.5185	15.51	0.4836	0.5185
10.52	0.4733	0.5151	11.52	0.5233	0.4878	12.52	0.5235	0.4902	13.52	0.4777	0.5277	14.52	0.4739	0.5058	15.52	0.4739	0.5058
10.53	0.4703	0.5057	11.53	0.5277	0.4874	12.53	0.5254	0.5000	13.53	0.4766	0.4978	14.53	0.4753	0.4959	15.53	0.4753	0.4959
10.54	0.4771	0.4938	11.54	0.5260	0.5073	12.54	0.5234	0.5197	13.54	0.4716	0.4833	14.54	0.4734	0.4958	15.54	0.4734	0.4958
10.55	0.4731	0.4963	11.55	0.5223	0.5162	12.55	0.5179	0.5170	13.55	0.4862	0.4770	14.55	0.4801	0.4801	15.55	0.4801	0.4801
10.56	0.4791	0.4733	11.56	0.5159	0.5231	12.56	0.5096	0.5234	13.56	0.4953	0.4770	14.56	0.4907	0.4871	15.56	0.4907	0.4871
10.57	0.4873	0.4727	11.57	0.5059	0.5269	12.57	0.4999	0.5253	13.57	0.5053	0.4771	14.57	0.5094	0.4806	15.57	0.5094	0.4806
10.58	0.4959	0.4701	11.58	0.5079	0.4739	12.58	0.5187	0.5071	13.58	0.5142	0.4814	14.58	0.5172	0.4865	15.58	0.5172	0.4865
10.59	0.4873	0.4721	11.59	0.5173	0.4995	12.59	0.4848	0.4803	13.59	0.4944	0.5223	14.59	0.4802	0.5223	15.59		

表—1—4

x	C(x)	S(x)	x	C(x)	S(x)	x	C(x)	S(x)	x	C(x)	S(x)	x	C(x)	S(x)
15.30	0.5212	0.5000	16.00	0.5003	0.49601	17.00	0.5187	0.5000	18.00	0.5300	0.4823	19.00	0.5168	0.5000
15.01	0.5199	0.5096	16.01	0.4996	0.4926	17.01	0.5161	0.5095	18.01	0.5095	0.4851	19.01	0.5139	0.5094
15.02	0.5125	0.5171	16.02	0.5164	0.4993	17.02	0.5090	0.5164	18.02	0.5160	0.4925	19.02	0.5062	0.5194
15.03	0.5033	0.5209	16.03	0.5198	0.4988	17.03	0.4994	0.5187	18.03	0.5175	0.5022	19.03	0.5063	0.5163
15.04	0.4933	0.5201	16.04	0.5173	0.5065	17.04	0.4990	0.5158	18.04	0.5139	0.5113	19.04	0.5078	0.5114
15.05	0.4950	0.5149	16.05	0.5110	0.5161	17.05	0.4953	0.5084	18.05	0.5054	0.5168	19.05	0.5035	0.5026
15.06	0.4799	0.5168	16.06	0.5024	0.5197	17.06	0.4914	0.4987	18.06	0.4955	0.5171	19.06	0.4849	0.4924
15.07	0.4772	0.4966	16.07	0.4920	0.5164	17.07	0.4846	0.4898	18.07	0.4871	0.5120	19.07	0.4816	0.4856
15.08	0.4830	0.4974	16.08	0.4860	0.5125	17.08	0.4922	0.4931	18.08	0.4827	0.5031	19.08	0.5012	0.4834
15.09	0.4906	0.4311	16.09	0.4805	0.5035	17.09	0.5020	0.4815	18.09	0.4837	0.4933	19.09	0.5104	0.4869
15.10	0.5003	0.4749	16.10	0.4813	0.4936	17.10	0.5112	0.4851	18.10	0.4899	0.4856	19.10	0.5159	0.4851
15.11	0.5099	0.4414	16.11	0.4867	0.4854	17.11	0.5172	0.4929	18.11	0.4942	0.4824	19.11	0.5159	0.3049
15.12	0.5173	0.4890	16.12	0.4955	0.4868	17.12	0.5148	0.5027	18.12	0.5080	0.4848	19.12	0.5103	0.5131
15.13	0.5209	0.4972	16.13	0.5164	0.4810	17.13	0.5144	0.5118	18.13	0.5155	0.4919	19.13	0.5011	0.5166
15.14	0.5198	0.5071	16.14	0.5137	0.4860	17.14	0.5063	0.5175	18.14	0.5175	0.5016	19.14	0.4816	0.5163
15.15	0.5143	0.5154	16.15	0.5187	0.4946	17.15	0.5059	0.5182	18.15	0.5138	0.5108	19.15	0.4834	0.5070
15.16	0.5057	0.5202	16.16	0.5192	0.5044	17.16	0.4876	0.5138	18.16	0.5058	0.5165	19.16	0.4836	0.4973
15.17	0.4858	0.5206	16.17	0.5160	0.5132	17.17	0.4923	0.5055	18.17	0.4960	0.5170	19.17	0.4880	0.4885
15.18	0.4869	0.5163	16.18	0.5063	0.5166	17.18	0.4820	0.4956	18.18	0.4874	0.5121	19.18	0.4967	0.4837
15.19	0.4808	0.5095	16.19	0.4965	0.5193	17.19	0.4866	0.4970	18.19	0.4826	0.5034	19.19	0.5055	0.4887
15.20	0.4771	0.4937	16.20	0.4875	0.5152	17.20	0.4954	0.4821	18.20	0.4837	0.4936	19.20	0.5140	0.4911
15.21	0.4820	0.4893	16.21	0.4817	0.5071	17.21	0.5053	0.4823	18.21	0.4848	0.4858	19.21	0.5166	0.5006
15.22	0.4890	0.4822	16.22	0.4806	0.4973	17.22	0.5136	0.4875	18.22	0.4941	0.4826	19.22	0.5133	0.5099
15.23	0.4984	0.4742	16.23	0.4844	0.4882	17.23	0.5181	0.4963	18.23	0.5067	0.4849	19.23	0.5053	0.5157
15.24	0.5092	0.4808	16.24	0.4921	0.4821	17.24	0.5174	0.5062	18.24	0.5155	0.4920	19.24	0.4995	0.5159
15.25	0.5161	0.4867	16.25	0.5019	0.4805	17.25	0.5117	0.5143	18.25	0.5174	0.5017	19.25	0.4872	0.5105
15.26	0.5204	0.4957	16.26	0.5112	0.4839	17.26	0.5027	0.5182	18.26	0.5137	0.5108	19.26	0.4835	0.5014
15.27	0.5201	0.5056	16.27	0.5170	0.4915	17.27	0.4929	0.5170	18.27	0.5056	0.5165	19.27	0.4887	0.4918
15.28	0.5152	0.5142	16.28	0.5165	0.5012	17.28	0.4851	0.5109	18.28	0.4957	0.5169	19.28	0.4929	0.4939
15.29	0.5070	0.5196	16.29	0.4764	0.5166	17.29	0.4817	0.5016	18.29	0.4872	0.5118	19.29	0.5027	0.4837
15.30	0.4971	0.5206	16.30	0.4942	0.5172	17.30	0.4835	0.4919	18.30	0.4820	0.5030	19.30	0.5115	0.4881
15.31	0.4879	0.5169	16.31	0.4965	0.5195	17.31	0.4900	0.4845	18.31	0.4840	0.4932	19.31	0.5162	0.4968
15.32	0.4815	0.5094	16.32	0.4903	0.5168	17.32	0.4995	0.4816	18.32	0.4903	0.4856	19.32	0.5151	0.5066
15.33	0.4792	0.4997	16.33	0.4881	0.5097	17.33	0.5043	0.4840	18.33	0.4997	0.4826	19.33	0.5086	0.5140
15.34	0.4817	0.4902	16.34	0.4805	0.5062	17.34	0.5043	0.4910	18.34	0.5092	0.4853	19.34	0.4991	0.5164
15.35	0.4884	0.4828	16.35	0.4881	0.4906	17.35	0.5187	0.4918	18.35	0.5157	0.4927	19.35	0.4889	0.5130
15.36	0.4977	0.4746	16.36	0.4844	0.4834	17.36	0.5153	0.5100	18.36	0.5172	0.5024	19.36	0.4883	0.5049
15.37	0.5075	0.4807	16.37	0.4993	0.4806	17.37	0.5079	0.5165	18.37	0.5131	0.5114	19.37	0.4883	0.4950
15.38	0.5156	0.4864	16.38	0.4949	0.4827	17.38	0.4982	0.5182	18.38	0.5047	0.5167	19.38	0.4900	0.4870
15.39	0.5201	0.4952	16.39	0.4963	0.4894	17.39	0.4890	0.5116	18.39	0.4949	0.5165	19.39	0.4993	0.4836
15.40	0.5200	0.5051	16.40	0.5194	0.4968	17.40	0.4830	0.5068	18.40	0.4867	0.5110	19.40	0.5088	0.4861
15.41	0.5153	0.5138	16.41	0.5175	0.5085	17.41	0.4920	0.4969	18.41	0.4828	0.5020	19.41	0.5151	0.4937
15.42	0.5071	0.5194	16.42	0.5113	0.5160	17.42	0.4942	0.4880	18.42	0.4848	0.4823	19.42	0.5160	0.5035
15.43	0.4973	0.5204	16.43	0.5107	0.5193	17.43	0.4958	0.4826	18.43	0.4913	0.4851	19.43	0.5111	0.5120
15.44	0.4891	0.5168	16.44	0.4924	0.5176	17.44	0.5043	0.4823	18.44	0.5009	0.4828	19.44	0.5022	0.5162
15.45	0.4816	0.5093	16.45	0.4883	0.5113	17.45	0.5129	0.4871	18.45	0.5102	0.4861	19.45	0.4925	0.5146
15.46	0.4794	0.4997	16.46	0.4804	0.5021	17.46	0.5146	0.5177	18.46	0.5161	0.4939	19.46	0.4855	0.5076
15.47	0.4820	0.4901	16.47	0.4823	0.4923	17.47	0.5173	0.5056	18.47	0.5168	0.5038	19.47	0.4883	0.4979
15.48	0.4887	0.4828	16.48	0.4884	0.4866	17.48	0.5118	0.5181	18.48	0.5120	0.5124	19.48	0.4879	0.4890
15.49	0.4930	0.4795	16.49	0.4976	0.4809	17.49	0.5029	0.5180	18.49	0.5032	0.5169	19.49	0.4964	0.4881
15.50	0.4910	0.4410	16.50	0.5074	0.4922	17.50	0.4921	0.5168	18.50	0.4934	0.5159	19.50	0.5062	0.4449
15.51	0.5158	0.4959	16.51	0.5152	0.4962	17.51	0.4933	0.5107	18.51	0.4958	0.5097	19.51	0.5138	0.4972
15.52	0.5201	0.4958	16.52	0.5191	0.4973	17.52	0.4819	0.5114	18.52	0.4828	0.5003	19.52	0.5163	0.5008
15.53	0.5197	0.5057	16.53	0.5179	0.5071	17.53	0.4948	0.5048	18.53	0.4855	0.4908	19.53	0.5129	0.5100
15.54	0.5063	0.5195	16.54	0.5120	0.5150	17.54	0.5046	0.5045	18.54	0.5034	0.4843	19.54	0.5048	0.5156
15.55	0.4964	0.5201	16.55	0.5103	0.5190	17.55	0.5001	0.4819	18.55	0.5027	0.4831	19.55	0.4999	0.5155
15.56	0.4874	0.5161	16.56	0.5121	0.5179	17.56	0.5098	0.4946	18.56	0.5116	0.4874	19.56	0.4869	0.5097
15.57	0.4813	0.5082	16.57	0.5081	0.5031	17.57	0.5162	0.4919	18.57	0.5166	0.4958	19.57	0.4837	0.5004
15.58	0.4813	0.4987	16.58	0.5181	0.4811	17.58	0.5180	0.5016	18.58	0.5162	0.5057	19.58	0.4865	0.4909
15.59	0.4796	0.4955	16.59	0.4820	0.4933	17.59	0.5173	0.5105	18.59	0.5154	0.5081	19.59	0.4942	0.4848
15.60	0.4828	0.4891	16.60	0.4878	0.4852	17.60	0.5067	0.5168	18.60	0.5011	0.5171	19.60	0.5040	0.4843
15.61	0.4899	0.4823	16.61	0.4967	0.4811	17.61	0.4959	0.5178	18.61	0.4915	0.5188	19.61	0.5124	0.4895
15.62	0.4955	0.4796	16.62	0.5066	0.4820	17.62	0.4880	0.5135	18.62	0.4848	0.5077	19.62	0.5162	0.4986
15.63	0.5091	0.4818	16.63	0.5147	0.4877	17.63	0.4827	0.5051	18.63	0.4833	0.5040	19.63	0.5140	0.5082
15.64	0.5166	0.4833	16.64	0.5118	0.4967	17.64	0.4926	0.5053	18.64	0.4870	0.4889	19.64	0.5067	0.5148
15.65	0.5202	0.4975	16.65	0.5180	0.5065	17.65	0.4877	0.4868	18.65	0.4953	0.4836	19.65	0.4969	0.5159
15.66	0.5190	0.5073	16.66	0.5123	0.5146	17.66	0.4965	0.5023	18.66	0.5051	0.4837	19.66	0.4883	0.5112
15.67	0.5132	0.5154	16.67	0.5187	0.5188	17.67	0.5063	0.5031	18.67	0.5133	0.4893	19.67	0.4890	0.5023
15.68	0.5044	0.5198	16.68	0.5135	0.5179	17.68	0.5153	0.4980	18.68	0.5170	0.4984	19.68	0.4856	0.4926
15.69	0.4945	0.5195	16.69	0.4854	0.5123	17.69	0.5179	0.4872	18.69	0.5154	0.4920	19.69	0.4926	0.4859
15.70	0.5154	0.5170	16.70	0.4841	0.5033	17.70	0.5162	0.5079	18.70	0.4983	0.5169	19.70	0.5203	0.4840
15.71	0.4807	0.5062	16.71	0.4821	0.4935	17.71	0.5095	0.5152	18.71	0.4981	0.5137	19.71	0.5151	0.4873
15.72	0.4801	0.4963	16.72	0.4874	0.4958	17.72	0.5001	0.5180	18.72	0.				

表—1—5

x	C(x)	S(x)															
20.00	0.5000	0.4841	21.00	0.5152	0.5000	22.00	0.5000	0.4855	23.00	0.5138	0.5000	24.00	0.5000	0.4867	25.00	0.5000	0.4867
20.01	0.5093	0.4471	21.01	0.5120	0.5093	22.01	0.5092	0.4889	23.01	0.5104	0.5091	24.01	0.5091	0.4893	25.01	0.5091	0.4893
20.02	0.5151	0.4951	21.02	0.5034	0.5147	22.02	0.5142	0.4973	23.02	0.5017	0.5137	24.02	0.5132	0.4992	25.02	0.5132	0.4992
20.03	0.5151	0.5049	21.03	0.4949	0.5139	22.03	0.5127	0.5070	23.03	0.4922	0.5114	24.03	0.5102	0.5085	25.03	0.5102	0.5085
20.04	0.5093	0.5129	21.04	0.4867	0.5073	22.04	0.5053	0.5134	23.04	0.4866	0.5034	24.04	0.5016	0.5131	25.04	0.5016	0.5131
20.05	0.5000	0.5159	21.05	0.4851	0.4976	22.05	0.4955	0.5137	23.05	0.4877	0.4937	24.05	0.4922	0.5107	25.05	0.4922	0.5107
20.06	0.4936	0.5128	21.06	0.4867	0.4869	22.06	0.4878	0.5077	23.06	0.4950	0.4871	24.06	0.4870	0.5024	25.06	0.4870	0.5024
20.07	0.4889	0.5048	21.07	0.4967	0.4850	22.07	0.4857	0.4981	23.07	0.5046	0.4871	24.07	0.4889	0.4928	25.07	0.4889	0.4928
20.08	0.4830	0.4950	21.08	0.5082	0.4873	22.08	0.4902	0.4894	23.08	0.5121	0.4935	24.08	0.4968	0.4872	25.08	0.4968	0.4872
20.09	0.4908	0.4471	21.09	0.5143	0.4951	22.09	0.4993	0.4856	23.09	0.5134	0.5032	24.09	0.5065	0.4885	25.09	0.5065	0.4885
20.10	0.5002	0.4442	21.10	0.5113	0.5069	22.10	0.5088	0.4885	23.10	0.5079	0.5113	24.10	0.5126	0.4961	25.10	0.5126	0.4961
20.11	0.5095	0.4474	21.11	0.5082	0.5126	22.11	0.5140	0.4967	23.11	0.4985	0.5137	24.11	0.5118	0.5098	25.11	0.5118	0.5098
20.12	0.5151	0.4954	21.12	0.4987	0.5153	22.12	0.5129	0.5064	23.12	0.4989	0.5092	24.12	0.5046	0.5126	25.12	0.5046	0.5126
20.13	0.5149	0.5053	21.13	0.4867	0.5110	22.13	0.5055	0.5132	23.13	0.4962	0.5001	24.13	0.4948	0.5121	25.13	0.4948	0.5121
20.14	0.5089	0.5131	21.14	0.4851	0.5024	22.14	0.4960	0.5138	23.14	0.4897	0.4989	24.14	0.4879	0.5053	25.14	0.4879	0.5053
20.15	0.4895	0.5158	21.15	0.4866	0.4927	22.15	0.4881	0.5080	23.15	0.4983	0.4864	24.15	0.4876	0.4955	25.15	0.4876	0.4955
20.16	0.4902	0.5124	21.16	0.4941	0.4868	22.16	0.4857	0.4985	23.16	0.5078	0.4887	24.16	0.4941	0.4882	25.16	0.4941	0.4882
20.17	0.4884	0.5042	21.17	0.5039	0.4855	22.17	0.4900	0.4897	23.17	0.5138	0.4968	24.17	0.5033	0.4874	25.17	0.5033	0.4874
20.18	0.4853	0.4944	21.18	0.5120	0.4910	22.18	0.4989	0.4857	23.18	0.5121	0.5065	24.18	0.5115	0.4935	25.18	0.5115	0.4935
20.19	0.4915	0.4867	21.19	0.5151	0.5004	22.19	0.5088	0.4883	23.19	0.5047	0.5124	24.19	0.5128	0.5032	25.19	0.5128	0.5032
20.20	0.5010	0.4443	21.20	0.5111	0.5076	22.20	0.5139	0.4964	23.20	0.4950	0.5128	24.20	0.5071	0.5111	25.20	0.5071	0.5111
20.21	0.5101	0.4474	21.21	0.5032	0.5147	22.21	0.5129	0.5062	23.21	0.4887	0.5062	24.21	0.4975	0.6124	25.21	0.4975	0.6124
20.22	0.5153	0.4963	21.22	0.4934	0.5135	22.22	0.5059	0.5130	23.22	0.4868	0.5164	24.22	0.4893	0.5076	25.22	0.4893	0.5076
20.23	0.5145	0.5061	21.23	0.4665	0.5065	22.23	0.4962	0.5138	23.23	0.4925	0.4885	24.23	0.4870	0.4981	25.23	0.4870	0.4981
20.24	0.5091	0.5135	21.24	0.4865	0.4768	22.24	0.4882	0.5081	23.24	0.5021	0.4865	24.24	0.5019	0.4887	25.24	0.5019	0.4887
20.25	0.4985	0.5156	21.25	0.4905	0.4868	22.25	0.4898	0.4966	23.25	0.5100	0.4913	24.25	0.5013	0.4869	25.25	0.5013	0.4869
20.26	0.4898	0.5117	21.26	0.4947	0.4653	22.26	0.4900	0.4898	23.26	0.5137	0.5006	24.26	0.5093	0.4914	25.26	0.5093	0.4914
20.27	0.4846	0.5031	21.27	0.5040	0.4861	22.27	0.4987	0.4857	23.27	0.5046	0.5096	24.27	0.5131	0.5007	25.27	0.5131	0.5007
20.28	0.4855	0.4938	21.28	0.5145	0.4962	22.28	0.5088	0.4884	23.28	0.5004	0.5136	24.28	0.5090	0.5095	25.28	0.5090	0.5095
20.29	0.4925	0.4362	21.29	0.5137	0.5060	22.29	0.5139	0.4965	23.29	0.4914	0.5104	24.29	0.4999	0.4931	25.29	0.4999	0.4931
20.30	0.5022	0.4445	21.30	0.5073	0.5132	22.30	0.5128	0.5063	23.30	0.4865	0.5024	24.30	0.4909	0.5094	25.30	0.4909	0.5094
20.31	0.5110	0.4389	21.31	0.4973	0.5147	22.31	0.5058	0.5131	23.31	0.4884	0.4928	24.31	0.4869	0.5006	25.31	0.4869	0.5006
20.32	0.5155	0.4976	21.32	0.4868	0.5098	22.32	0.4960	0.5137	23.32	0.4962	0.4869	24.32	0.4902	0.4913	25.32	0.4902	0.4913
20.33	0.5139	0.5073	21.33	0.4851	0.5067	22.33	0.4881	0.5079	23.33	0.5060	0.4877	24.33	0.5021	0.4870	25.33	0.5021	0.4870
20.34	0.5068	0.5141	21.34	0.4979	0.4913	22.34	0.4859	0.4983	23.34	0.5126	0.4949	24.34	0.5083	0.4899	25.34	0.5083	0.4899
20.35	0.4970	0.5156	21.35	0.4959	0.4857	22.35	0.4903	0.4896	23.35	0.5126	0.5087	24.35	0.5126	0.4984	25.35	0.5126	0.4984
20.36	0.4885	0.5105	21.36	0.5057	0.4862	22.36	0.4993	0.4858	23.36	0.5064	0.5120	24.36	0.5105	0.5078	25.36	0.5105	0.5078
20.37	0.4845	0.5016	21.37	0.5133	0.4928	22.37	0.5087	0.4887	23.37	0.4967	0.5132	24.37	0.5021	0.5129	25.37	0.5021	0.5129
20.38	0.4866	0.4920	21.38	0.5147	0.5024	22.38	0.5139	0.4970	23.38	0.4867	0.5076	24.38	0.4869	0.5084	25.38	0.4869	0.5084
20.39	0.4941	0.4856	21.39	0.5104	0.5110	22.39	0.5125	0.5067	23.39	0.4865	0.4940	24.39	0.4872	0.5026	25.39	0.4872	0.5026
20.40	0.5039	0.4384	21.40	0.5002	0.5148	22.40	0.5052	0.5132	23.40	0.4913	0.4895	24.40	0.4890	0.4930	25.40	0.4890	0.4930
20.41	0.5121	0.4902	21.41	0.4915	0.5122	22.41	0.4954	0.5135	23.41	0.5000	0.4864	24.41	0.4869	0.4873	25.41	0.4869	0.4873
20.42	0.5156	0.4994	21.42	0.4868	0.5189	22.42	0.4878	0.5073	23.42	0.5056	0.4903	24.42	0.5066	0.4887	25.42	0.5066	0.4887
20.43	0.5128	0.5049	21.43	0.4862	0.4944	22.43	0.4860	0.4977	23.43	0.5076	0.4992	24.43	0.5129	0.4965	25.43	0.5129	0.4965
20.44	0.5050	0.5149	21.44	0.4947	0.4871	22.44	0.4908	0.4892	23.44	0.5016	0.5085	24.44	0.5115	0.5062	25.44	0.5115	0.5062
20.45	0.4951	0.5148	21.45	0.4974	0.4854	22.45	0.4900	0.4884	23.45	0.5021	0.5134	24.45	0.5040	0.5124	25.45	0.5040	0.5124
20.46	0.4873	0.5059	21.46	0.5113	0.4850	22.46	0.5092	0.4892	23.46	0.4890	0.5074	24.46	0.4884	0.5058	25.46	0.4884	0.5058
20.47	0.4845	0.4995	21.47	0.5121	0.4900	22.47	0.5110	0.4912	23.47	0.4869	0.5032	24.47	0.4873	0.4974	25.47	0.4873	0.4974
20.48	0.4884	0.4970	21.48	0.5133	0.5060	22.48	0.5114	0.5084	23.48	0.4911	0.4898	24.48	0.4938	0.4866	25.48	0.4938	0.4866
20.49	0.4897	0.4885	21.49	0.5064	0.5131	22.49	0.5114	0.5032	23.49	0.4911	0.5137	24.49	0.4957	0.5023	25.49	0.4957	0.5023
20.50	0.4987	0.4846	21.50	0.4971	0.5144	22.50	0.4864	0.5056	23.50	0.5093	0.4903	24.50	0.5127	0.5021	25.50	0.5127	0.5021
20.51	0.5107	0.4499	21.51	0.4856	0.5125	22.51	0.4945	0.4871	23.51	0.4968	0.5130	24.51	0.4898	0.5128	25.51	0.4898	0.5128
20.52	0.5155	0.5074	21.52	0.4960	0.4688	22.52	0.4929	0.4878	23.52	0.5020	0.5133	24.52	0.5071	0.5126	25.52	0.5071	0.5126
20.53	0.5113	0.5106	21.53	0.4904	0.4869	22.53	0.4917	0.4880	23.53	0.5069	0.5116	24.53	0.5055	0.5117	25.53	0.5055	0.5117
20.54	0.5026	0.5193	21.54	0.4863	0.4868	22.54	0.4954	0.5011	23.54	0.4972	0.5132	24.54	0.4988	0.5123	25.54	0.4988	0.5123
20.55	0.4929	0.5134	21.55	0.4867	0.4852	22.55	0.5010	0.4881	23.55	0.4890	0.5003	24.55	0.4884	0.5058	25.55	0.4884	0.5058
20.56	0.4861	0.5067	21.56	0.4963	0.4868	22.56	0.5100	0.4910	23.56	0.4869	0.5074	24.56	0.4873	0.4976	25.56	0.4873	0.4976
20.57	0.4881	0.4939	21.57	0.5133	0.4938	22.57	0.5010	0.5005	23.57	0.4957	0.4872	24.57	0.5023	0.4873	25.57	0.5023	0.4873
20.58	0.4822	0.4941	21.58	0.5084	0.5117	22.58	0.5016	0.5106	23.58	0.5128	0.4987	24.58	0.5127	0.5098	25.58	0.5127	0.5098
20.59	0.4987	0.4846	21.59	0.4971	0.5144	22.59	0.4865	0.4921	23.59	0.5008	0.5134	24.59	0.4903	0.4984	25.59	0.4903	0.4984
20.60	0.5083	0.4369	21.60	0.4887	0.5094	22.60	0.4869	0.5052	23.60	0.5135	0.4991						

表一-12

$x$	$C(x)$	$D(x)$												
55.00	0.5058	0.5100	56.00	0.5003	0.4943	57.00	0.5056	0.5000	58.00	0.5000	0.4945	59.00	0.5054	0.5000
55.01	0.4991	0.5157	56.01	0.4956	0.5011	57.01	0.4988	0.5054	58.01	0.5053	0.5014	59.01	0.4995	0.5052
55.02	0.4955	0.4992	56.02	0.4979	0.5053	57.02	0.4955	0.4976	58.02	0.4974	0.5048	59.02	0.4954	0.4971
55.03	0.5026	0.4948	56.03	0.4952	0.4969	57.03	0.5033	0.4956	58.03	0.4960	0.4962	59.03	0.5040	0.4968
55.04	0.5007	0.5034	56.04	0.5039	0.4999	57.04	0.5035	0.5023	58.04	0.5006	0.4971	59.04	0.5023	0.5047
55.05	0.4959	0.5041	56.05	0.5013	0.5086	57.05	0.4959	0.5025	58.05	0.5017	0.5052	59.05	0.4987	0.5008
55.06	0.4956	0.4953	56.06	0.4943	0.5024	57.06	0.4966	0.4946	58.06	0.4945	0.5003	59.06	0.5007	0.4987
55.07	0.5092	0.4974	56.07	0.4986	0.4945	57.07	0.5056	0.4999	58.07	0.5011	0.4986	59.07	0.5049	0.5022
55.08	0.5017	0.5055	56.08	0.5057	0.4997	57.08	0.4982	0.5055	58.08	0.5049	0.5024	59.08	0.4965	0.5041
55.09	0.4993	0.5108	56.09	0.4992	0.5056	57.09	0.4949	0.4977	58.09	0.4965	0.5042	59.09	0.4970	0.4995
55.10	0.5001	0.4942	56.10	0.4940	0.4982	57.10	0.5033	0.4955	58.10	0.4968	0.4955	59.10	0.5051	0.4984
55.11	0.5057	0.5110	56.11	0.5023	0.4951	57.11	0.5036	0.5042	58.11	0.5001	0.4981	59.11	0.5001	0.5053
55.12	0.4891	0.5055	56.12	0.5003	0.5057	57.12	0.4951	0.5026	58.12	0.5006	0.5054	59.12	0.4998	0.5095
55.13	0.4949	0.4972	56.13	0.4955	0.5035	57.13	0.4980	0.4966	58.13	0.4966	0.4992	59.13	0.5029	0.4994
55.14	0.5015	0.4954	56.14	0.4974	0.4949	57.14	0.5056	0.4998	58.14	0.5022	0.4950	59.14	0.5036	0.4930
55.15	0.5019	0.5042	56.15	0.5034	0.4984	57.15	0.4985	0.5055	58.15	0.5003	0.5024	59.15	0.4951	0.5023
55.16	0.4892	0.5132	56.16	0.5005	0.5056	57.16	0.4949	0.4977	58.16	0.4956	0.5033	59.16	0.4992	0.5047
55.17	0.4976	0.4947	56.17	0.4964	0.4994	57.17	0.5033	0.4955	58.17	0.4979	0.4994	59.17	0.5053	0.5007
55.18	0.5056	0.4985	56.18	0.5017	0.4986	57.18	0.5036	0.5042	58.18	0.5058	0.4992	59.18	0.4978	0.5049
55.19	0.5006	0.5057	56.19	0.5050	0.5027	57.19	0.4951	0.5026	58.19	0.4993	0.5054	59.19	0.4959	0.4985
55.20	0.4992	0.4996	56.20	0.4964	0.5044	57.20	0.4986	0.4966	58.20	0.4949	0.4980	59.20	0.5005	0.4971
55.21	0.5013	0.4994	56.21	0.4961	0.4956	57.21	0.5056	0.4999	58.21	0.5032	0.4996	59.21	0.5015	0.5052
55.22	0.5095	0.5028	56.22	0.5050	0.4973	57.22	0.4984	0.5055	58.22	0.5030	0.5043	59.22	0.4986	0.5098
55.23	0.4970	0.5049	56.23	0.5016	0.5054	57.23	0.4949	0.4977	58.23	0.4950	0.5022	59.23	0.5016	0.4949
55.24	0.4957	0.4962	56.24	0.4984	0.5006	57.24	0.5034	0.4956	58.24	0.4991	0.4946	59.24	0.5005	0.5030
55.25	0.5045	0.4963	56.25	0.5006	0.4984	57.25	0.5035	0.5033	58.25	0.5054	0.5005	59.25	0.4958	0.5034
55.26	0.5029	0.5150	56.26	0.5015	0.5016	57.26	0.4950	0.5025	58.26	0.4981	0.5051	59.26	0.4979	0.5050
55.27	0.4986	0.5020	56.27	0.4973	0.5050	57.27	0.4987	0.4966	58.27	0.4955	0.5053	59.27	0.5003	0.4998
55.28	0.4999	0.4943	56.28	0.4950	0.4964	57.28	0.5056	0.5000	58.28	0.5082	0.4965	59.28	0.4990	0.5093
55.29	0.5058	0.4999	56.29	0.5004	0.4964	57.29	0.4988	0.5054	58.29	0.5023	0.5050	59.29	0.4992	0.4975
55.30	0.4992	0.5157	56.30	0.5026	0.5050	57.30	0.4950	0.4976	58.30	0.4966	0.5004	59.30	0.5037	0.4961
55.31	0.4965	0.4993	56.31	0.4940	0.5016	57.31	0.5035	0.4997	58.31	0.5005	0.4946	59.31	0.5036	0.5087
55.32	0.5026	0.4949	56.32	0.4949	0.4984	57.32	0.5034	0.5044	58.32	0.5051	0.5019	59.32	0.4980	0.5012
55.33	0.5046	0.5134	56.33	0.5060	0.5006	57.33	0.4984	0.5023	58.33	0.4969	0.5045	59.33	0.5004	0.4987
55.34	0.4980	0.5040	56.34	0.4981	0.5054	57.34	0.4989	0.4985	58.34	0.4965	0.4958	59.34	0.5030	0.5019
55.35	0.4968	0.4952	56.35	0.4951	0.4973	57.35	0.5059	0.5002	58.35	0.5046	0.4977	59.35	0.4957	0.5082
55.36	0.5072	0.4976	56.36	0.5037	0.4957	57.36	0.4949	0.5054	58.36	0.5009	0.5054	59.36	0.4969	0.4956
55.37	0.5015	0.5156	56.37	0.5035	0.5044	57.37	0.4951	0.4974	58.37	0.4966	0.4995	59.37	0.5031	0.4983
55.38	0.4893	0.5105	56.38	0.4945	0.5023	57.38	0.5037	0.4959	58.38	0.5019	0.4949	59.38	0.5001	0.5034
55.39	0.5005	0.4943	56.39	0.4948	0.5048	57.39	0.5032	0.5045	58.39	0.5035	0.5031	59.39	0.4988	0.4986
55.40	0.5056	0.5114	56.40	0.5056	0.4996	57.40	0.4980	0.5020	58.40	0.4958	0.5035	59.40	0.5039	0.4995
55.41	0.4977	0.5152	56.41	0.4942	0.5056	57.41	0.4992	0.4945	58.41	0.4977	0.4950	59.41	0.5035	0.5011
55.42	0.5092	0.4968	56.42	0.4947	0.4981	57.42	0.5055	0.5005	58.42	0.5054	0.4991	59.42	0.4951	0.5022
55.43	0.5010	0.4958	56.43	0.5029	0.4952	57.43	0.4982	0.5053	58.43	0.4994	0.5054	59.43	0.4998	0.4987
55.44	0.5034	0.5146	56.44	0.5042	0.5033	57.44	0.4953	0.4971	58.44	0.4948	0.4980	59.44	0.5035	0.5010
55.45	0.4899	0.5126	56.45	0.4954	0.5033	57.45	0.5039	0.4961	58.45	0.5032	0.4956	59.45	0.4976	0.5048
55.46	0.4983	0.5143	56.46	0.4976	0.4979	57.46	0.5029	0.5047	58.46	0.5034	0.5033	59.46	0.4962	0.5063
55.47	0.5057	0.4993	56.47	0.5055	0.4988	57.47	0.4987	0.5017	58.47	0.4950	0.5022	59.47	0.5047	0.4974
55.48	0.4997	0.5157	56.48	0.5051	0.5025	57.48	0.4979	0.5049	58.48	0.4965	0.5042	59.48	0.5011	0.5032
55.49	0.4974	0.4997	56.49	0.4945	0.4989	57.49	0.5035	0.5049	58.49	0.5054	0.5007	59.49	0.4987	0.4993
55.50	0.5022	0.4927	56.50	0.5022	0.4948	57.50	0.4979	0.5051	58.50	0.4974	0.5050	59.50	0.5020	0.4951
55.51	0.5048	0.5131	56.51	0.5047	0.5032	57.51	0.5055	0.4967	58.51	0.4957	0.4967	59.51	0.5041	0.5038
55.52	0.4961	0.5202	56.52	0.4963	0.5063	57.52	0.5042	0.5046	58.52	0.5048	0.5057	59.52	0.4955	0.5209
55.53	0.4965	0.4955	56.53	0.4947	0.4952	57.53	0.5029	0.5049	58.53	0.5030	0.5019	59.53	0.4965	0.4989
55.54	0.5051	0.4973	56.54	0.5034	0.4940	57.54	0.4946	0.5013	58.54	0.4966	0.5006	59.54	0.5033	0.5001
55.55	0.5017	0.5156	56.55	0.5040	0.5056	57.55	0.5030	0.5045	58.55	0.5009	0.4986	59.55	0.5063	0.5031
55.56	0.4934	0.5036	56.56	0.4946	0.4947	57.56	0.5045	0.5013	58.56	0.5049	0.5023	59.56	0.4956	0.4969
55.57	0.5002	0.4943	56.57	0.5014	0.4986	57.57	0.5056	0.5049	58.57	0.5047	0.5042	59.57	0.5047	0.4968
55.58	0.5056	0.5012	56.58	0.5030	0.5025	57.58	0.4979	0.5049	58.58	0.4965	0.5042	59.58	0.5018	0.5060
55.59	0.4976	0.5053	56.59	0.4965	0.5048	57.59	0.5050	0.5043	58.59	0.5031	0.4982	59.59	0.4967	0.5003
55.60	0.4952	0.4969	56.60	0.4964	0.4957	57.60	0.5020	0.5051	58.60	0.5003	0.5054	59.60	0.5013	0.4966
55.61	0.5033	0.4958	56.61	0.5050	0.4975	57.61	0.4985	0.5008	58.61	0.4947	0.4989	59.61	0.5049	0.5028
55.62	0.5035	0.5045	56.62	0.5012	0.5065	57.62	0.5006	0.4945	58.62	0.5025	0.4952	59.62	0.4960	0.5039
55.63	0.4974	0.5126	56.63	0.4984	0.5008	57.63	0.5052	0.5010	58.63	0.5040	0.5037	59.63	0.4979	0.4951
55.64	0.4983	0.4995	56.64	0.5004	0.4988	57.64	0.4970	0.5046	58.64	0.4954	0.5028	59.64	0.5003	0.4990
55.65	0.5057	0.4993	56.65	0.5053	0.5019	57.65	0.4962	0.4960	58.65	0.4989	0.4988	59.65	0.4990	0.5052
55.66	0.4997	0.4987	56.66	0.4977	0.5084	57.66	0.5048	0.4973	58.66	0.5050	0.5000	59.66	0.4953	0.4975
55.67	0.4946	0.4987	56.67	0.4946	0.4961	57.67	0.5015	0.5013	58.67	0.4967	0.5052	59.67	0.5038	0.4963
55.68	0.5023	0.4948	56.68	0.5047	0.4969	57.68	0.5049	0.5053	58.68	0.4953	0.4978	59.68	0.5024	0.5048
55.69	0.5047	0.4961	56.69	0.5021	0.5052	57.69	0.5012	0.4964	58.69	0.5029	0.4963	59.69	0.5028	0.5045
55.70	0.4948	0.5043	56.70	0.5032	0.4966	57.70	0.5025	0.5048	58.70	0.5048	0.5047	59.70	0.5008	0.4967
55.71	0.4967	0.5171	56.71	0.5040	0.4973	57.71	0.4967	0.5045	58.71	0.5031	0.5014	59.71	0.5018	0.49

# 港湾技研資料 No. 21

1965年11月

編集兼発行人 運輸省港湾技術研究所

発行所 運輸省港湾技術研究所  
横須賀市長瀬3丁目1番1号

印刷所 株式会社 白泉社  
東京都港区麻布霞町7